

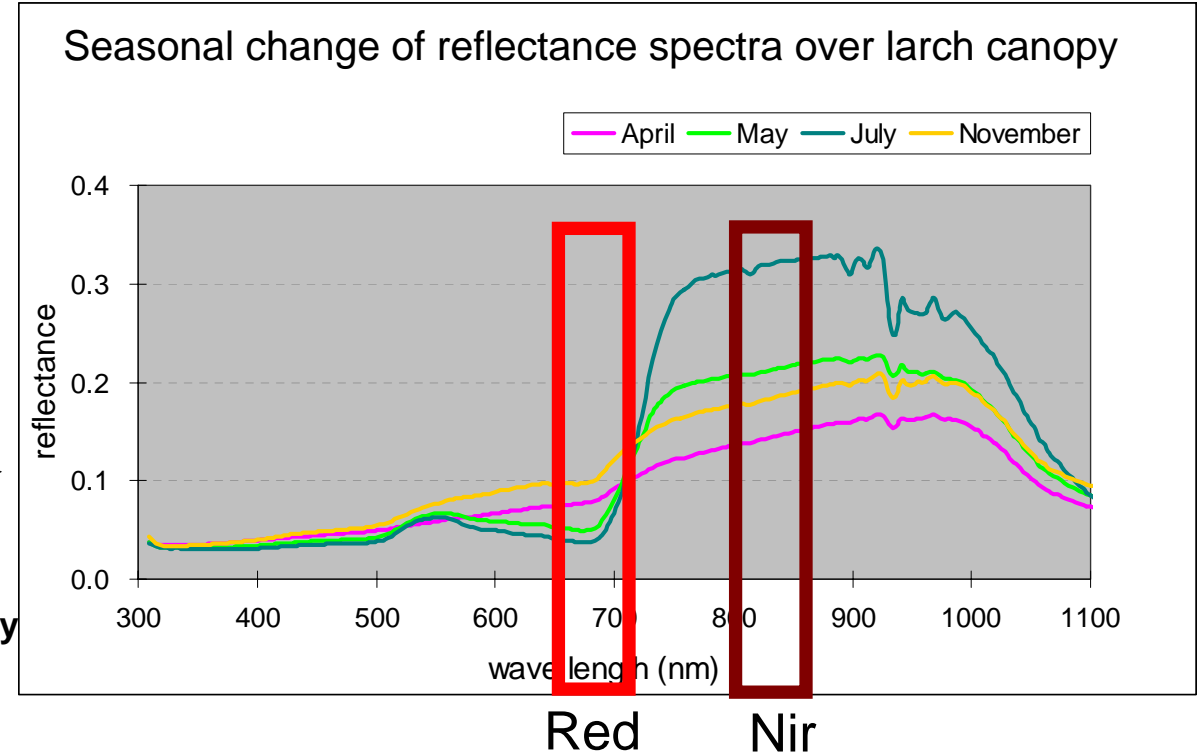
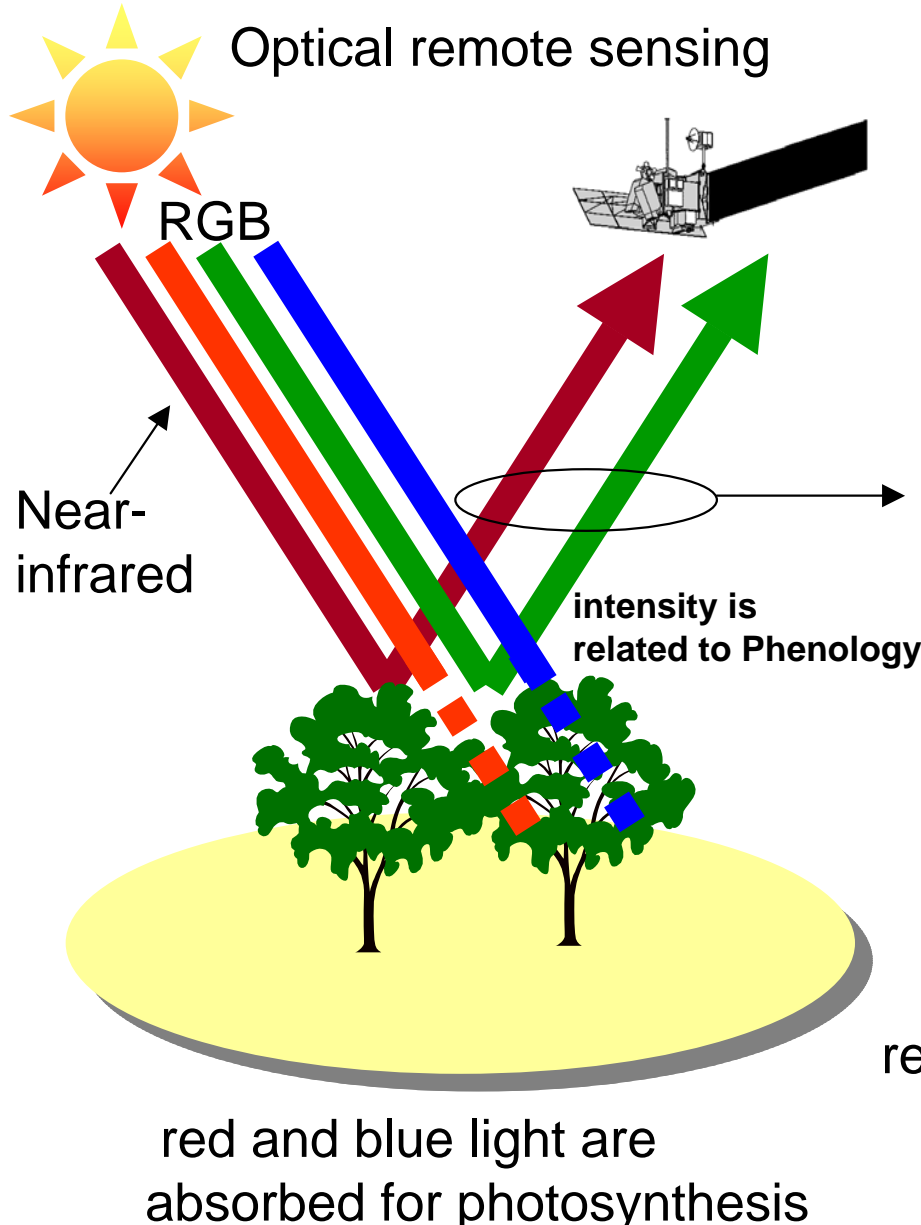
***Introduction of Three-dimensional digital
analysis of aerial photographs and
Phenology monitoring camera system***

Hiroyuki Oguma
National Institute for Environmental Studies

On site scale remote sensing;

- 1. Phenology monitoring by spectral observation***
- 2. Three-dimensional digital analysis of aerial photographs***

Reflectance of vegetation canopy



NDVI: Normalized Difference Vegetation Index
$$= (R_{\text{nir}} - R_{\text{red}}) / (R_{\text{nir}} + R_{\text{red}})$$

related to the content of chlorophyll, LAI and fAPAR

Spectrum measurement by Hemispherical Spectro-radiometer and camera

- development of a new algorithm
- verification of vegetation products obtained from earth observation satellite



MS-131 (2000 ~ 2002)



MS-700 (2003 ~)



CCD video camera



ADFC (automatic digital fish-eye camera)



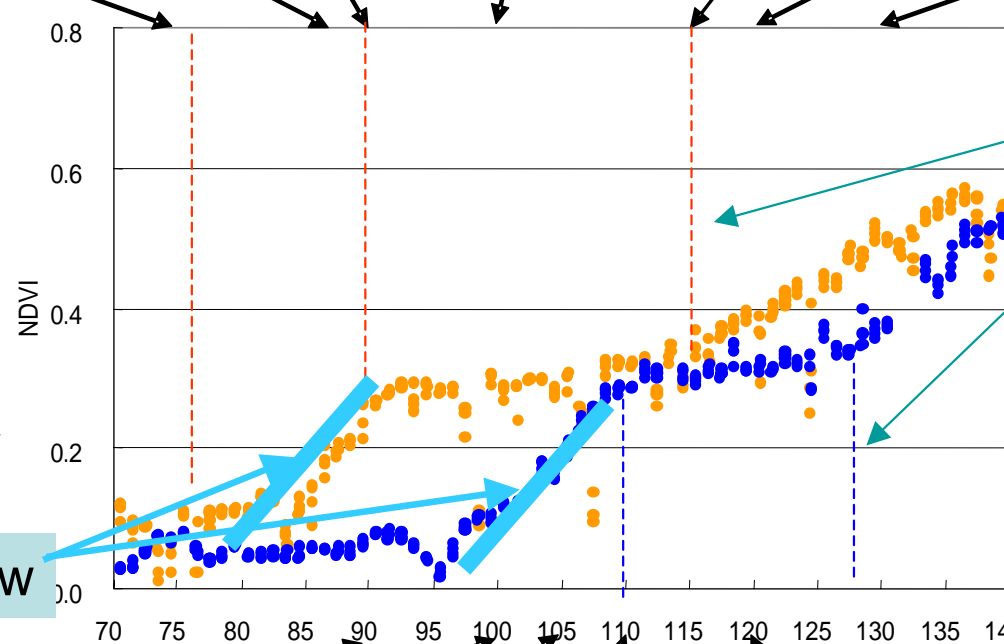


2002



NDVI

Thawing of snow

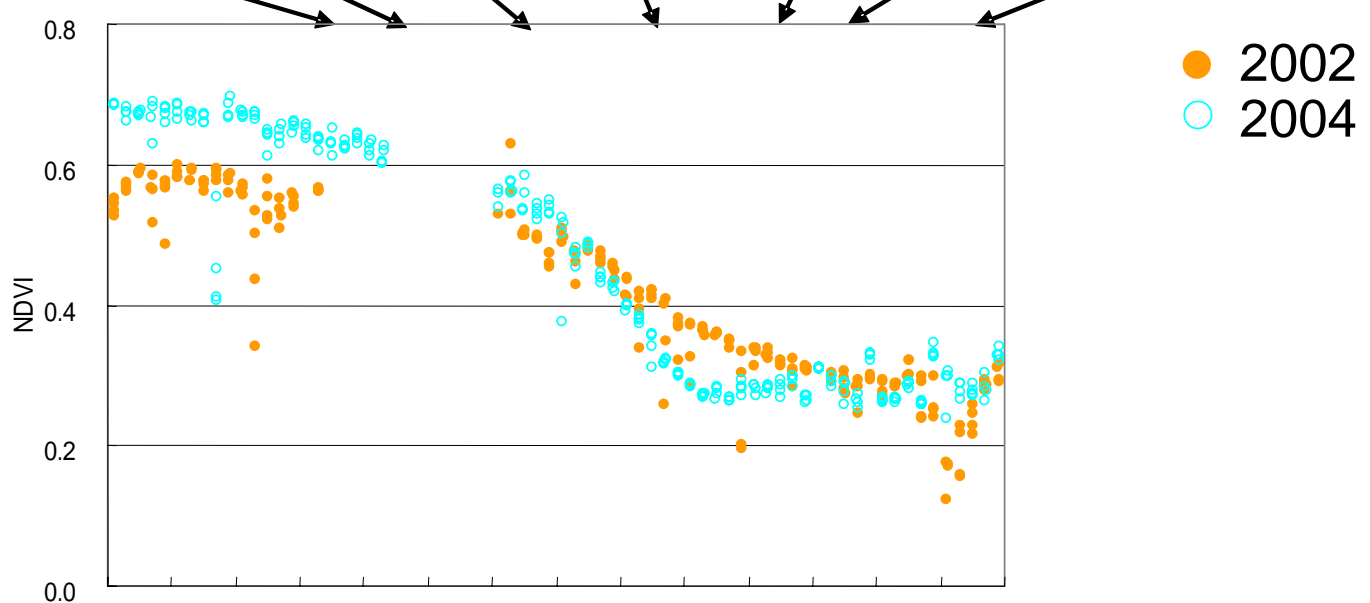


2003

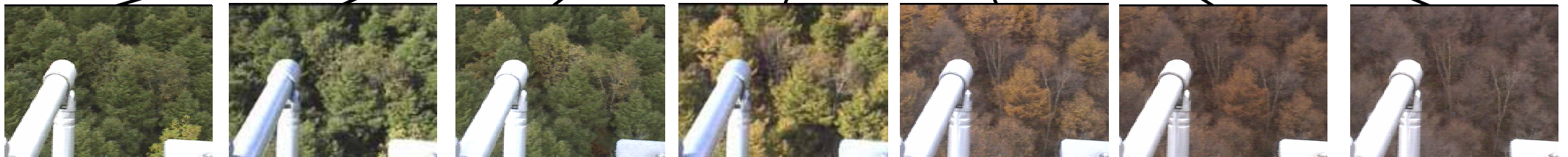




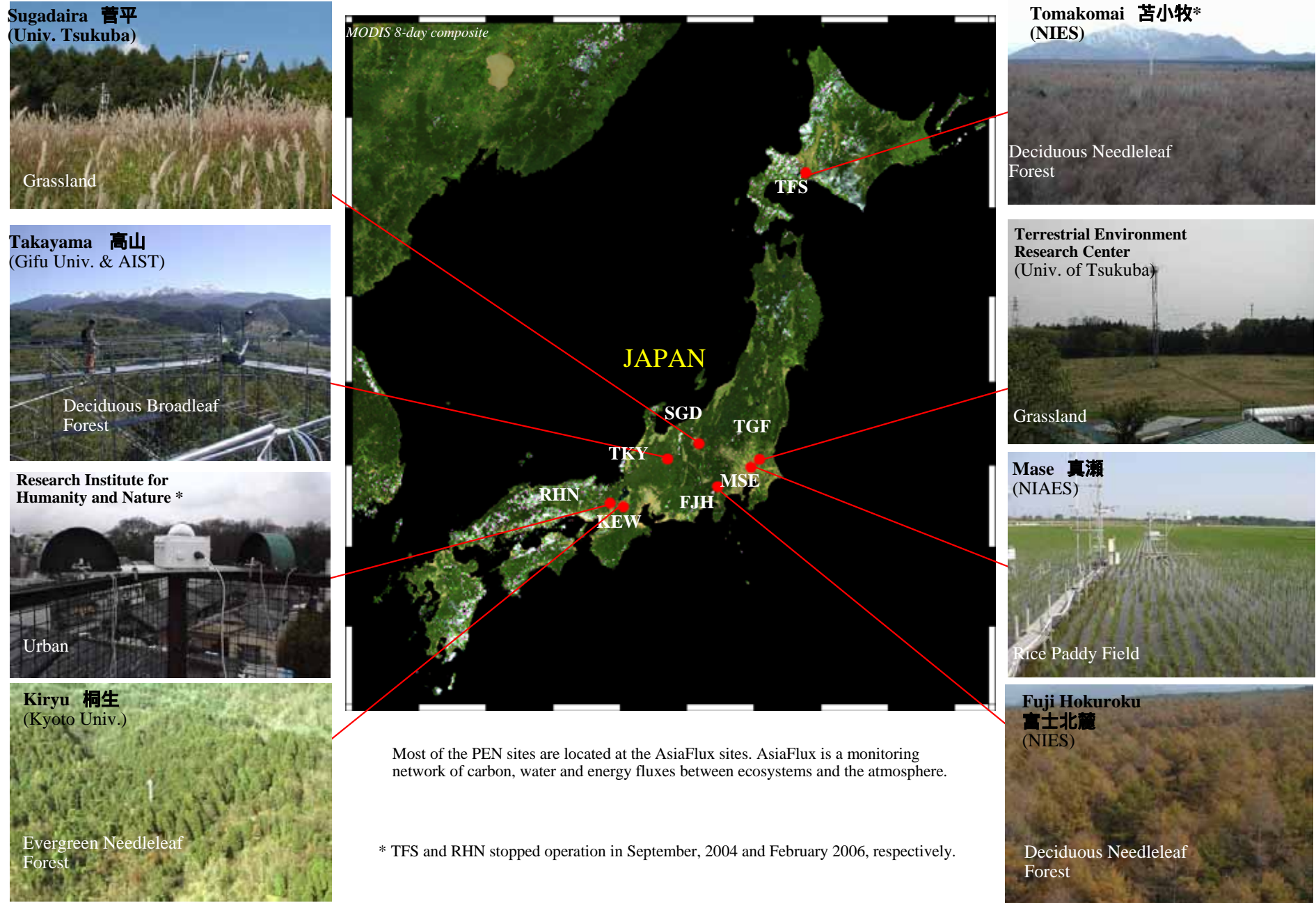
2002



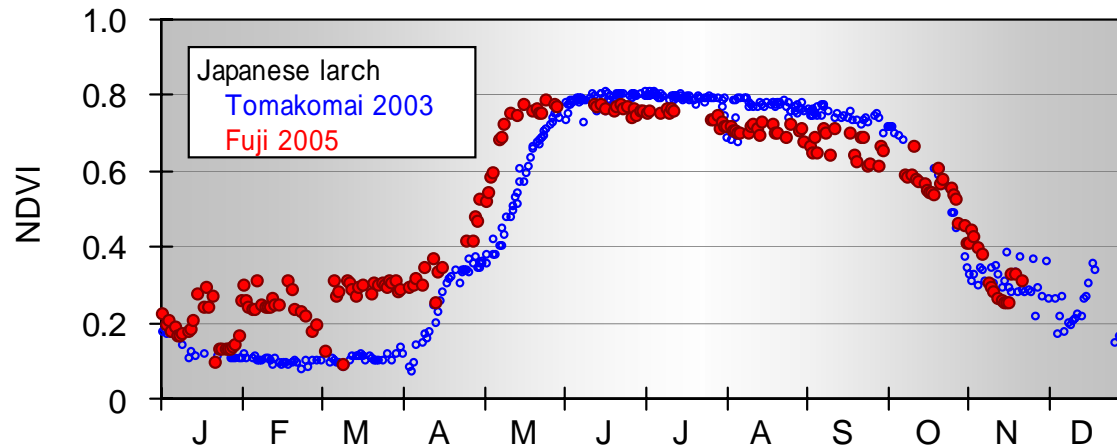
2003



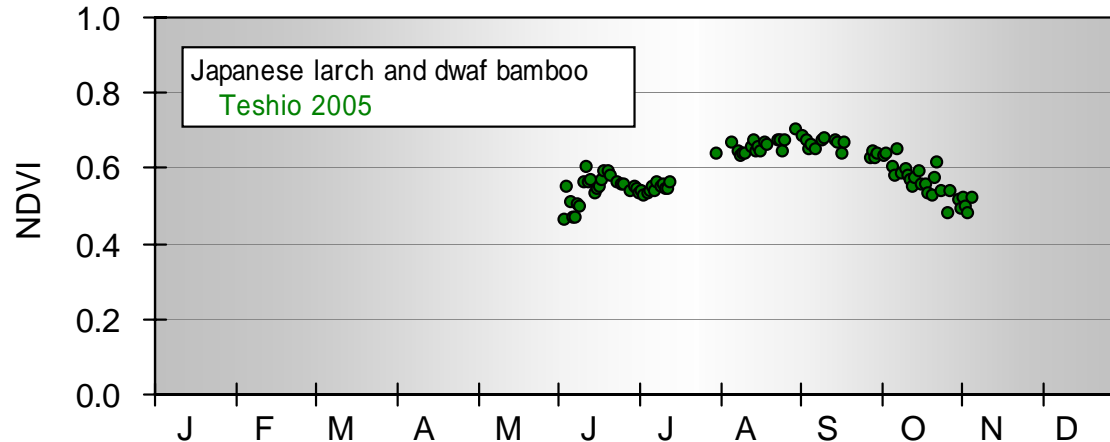
PEN Phenological Eyes Network



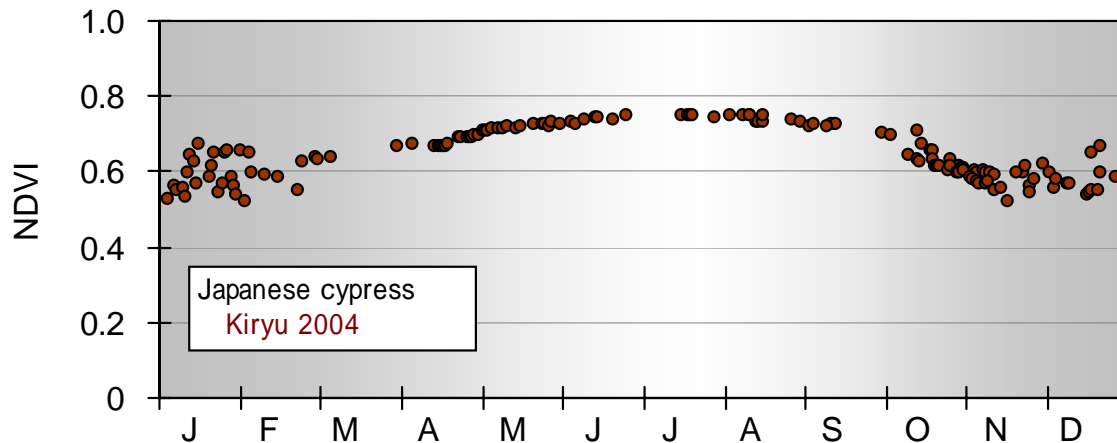
Seasonal variation in NDVI at the PEN site



Japanese
larch

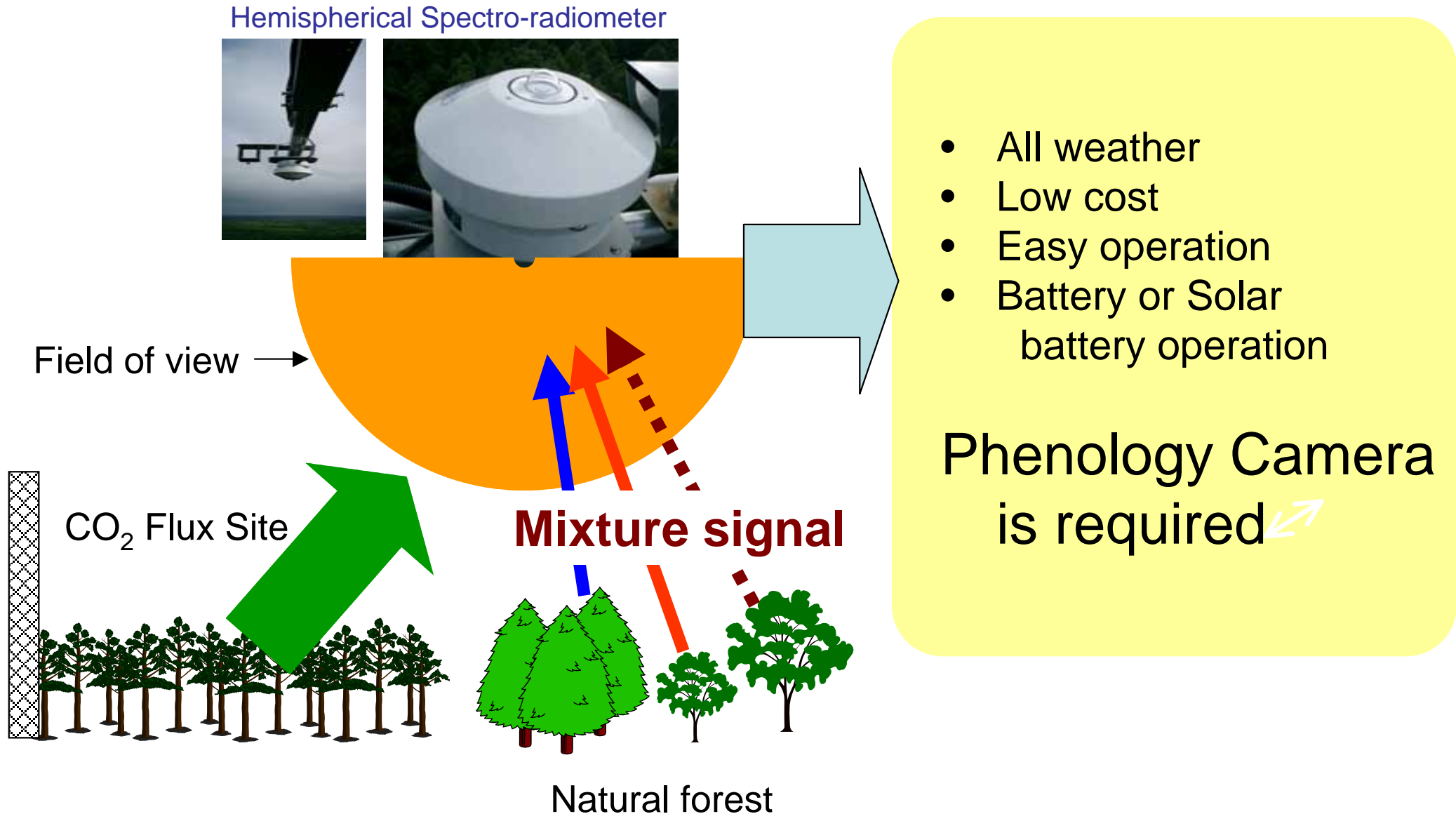


Japanese
Larch and
dwarf bamboo



Japanese
cypress

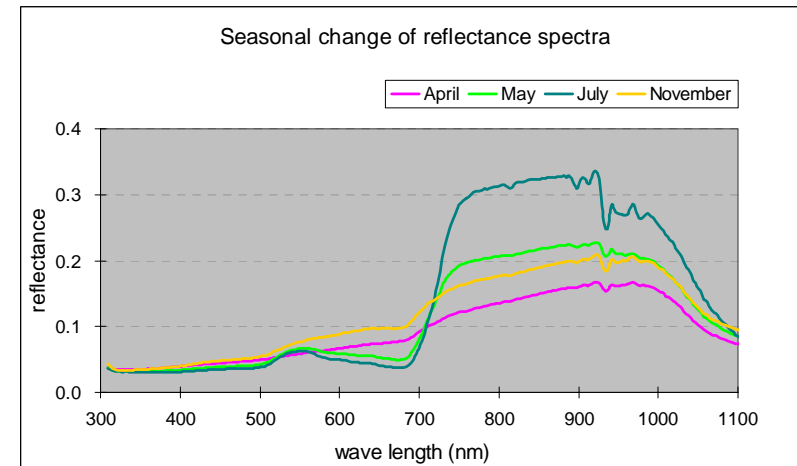
Development of Spectral Imager



Multi Spectral Phenology Camera (Prototype)



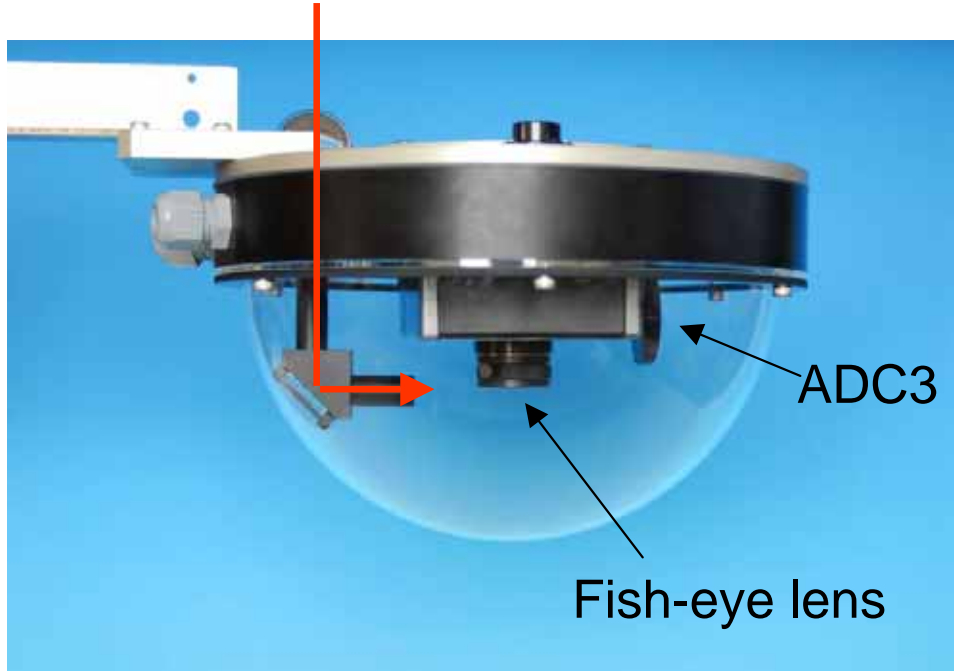
Tetracam ADC3



Normal digital camera



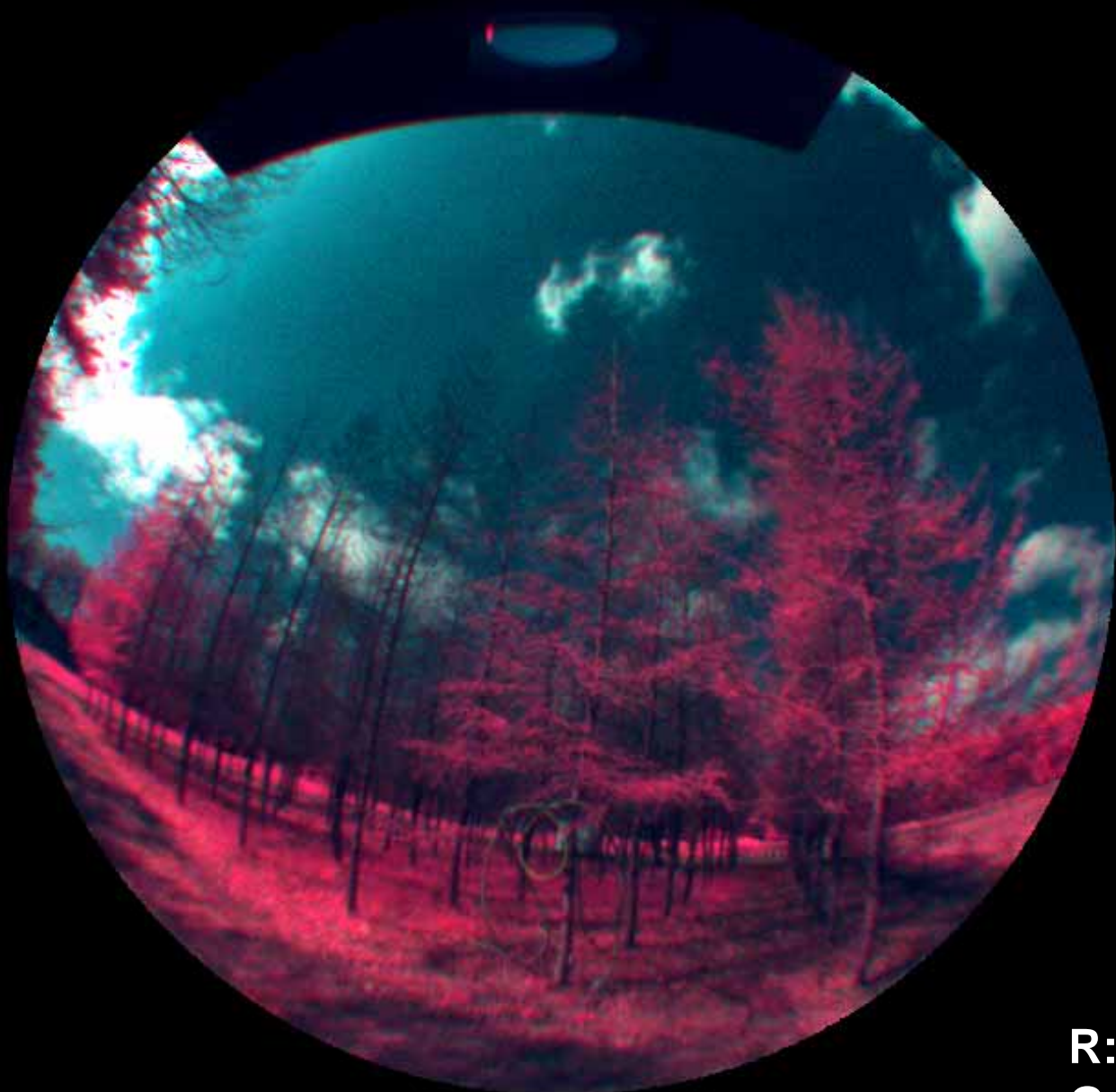
Tetracam ADC3



Fish-eye lens

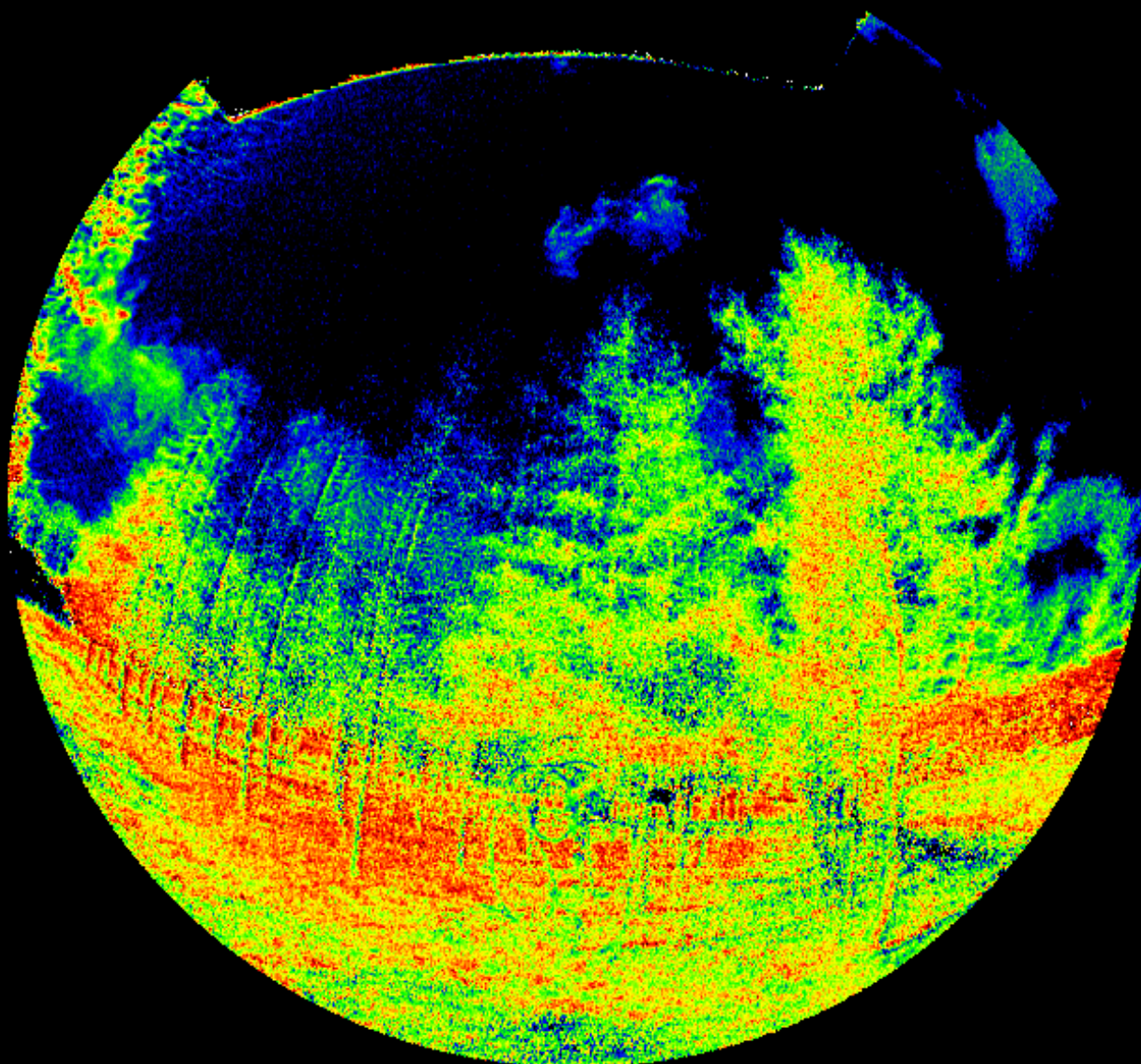


False color image



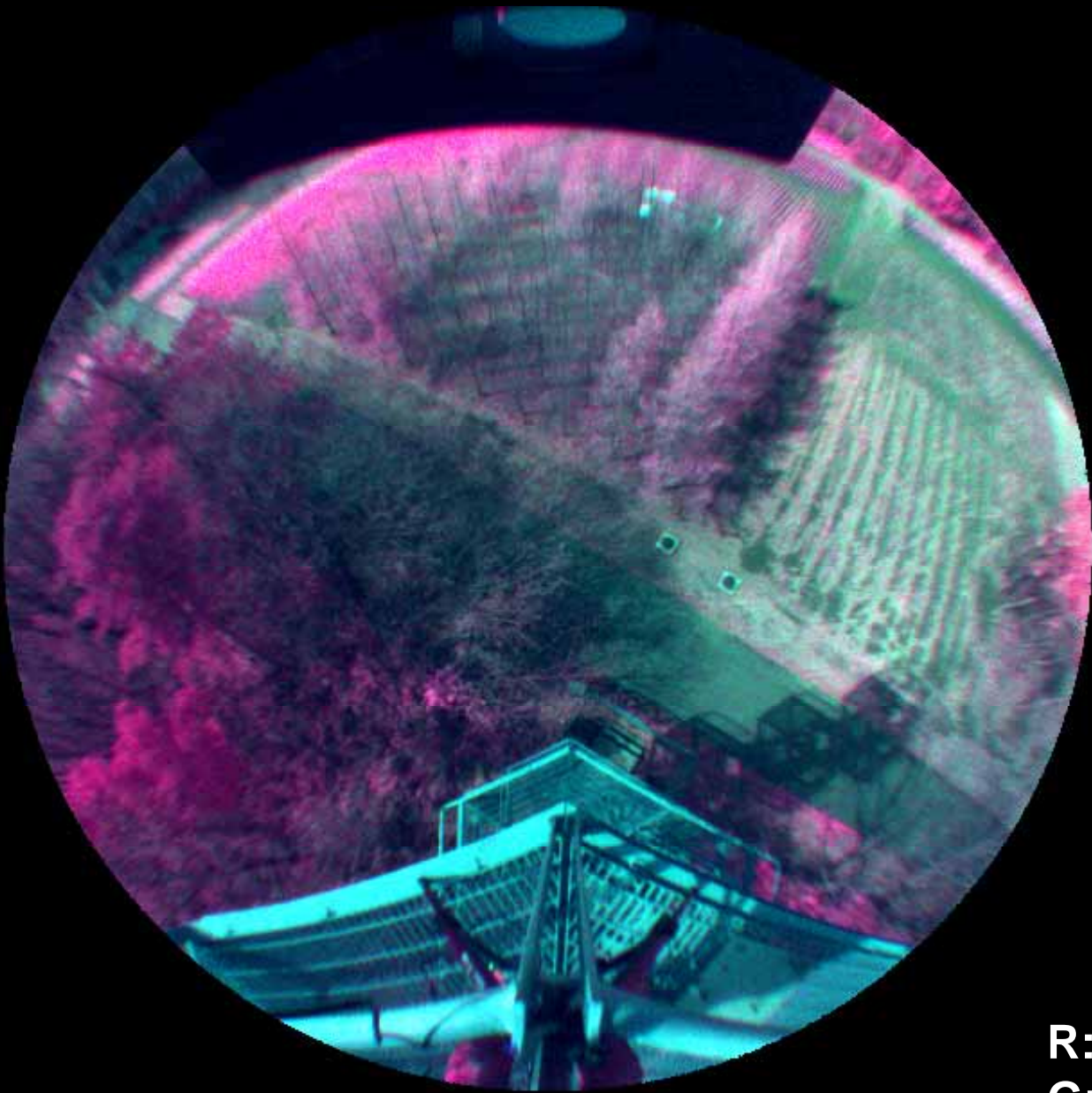
R: Near-infrared
G: Red
B: Green

NDVI image



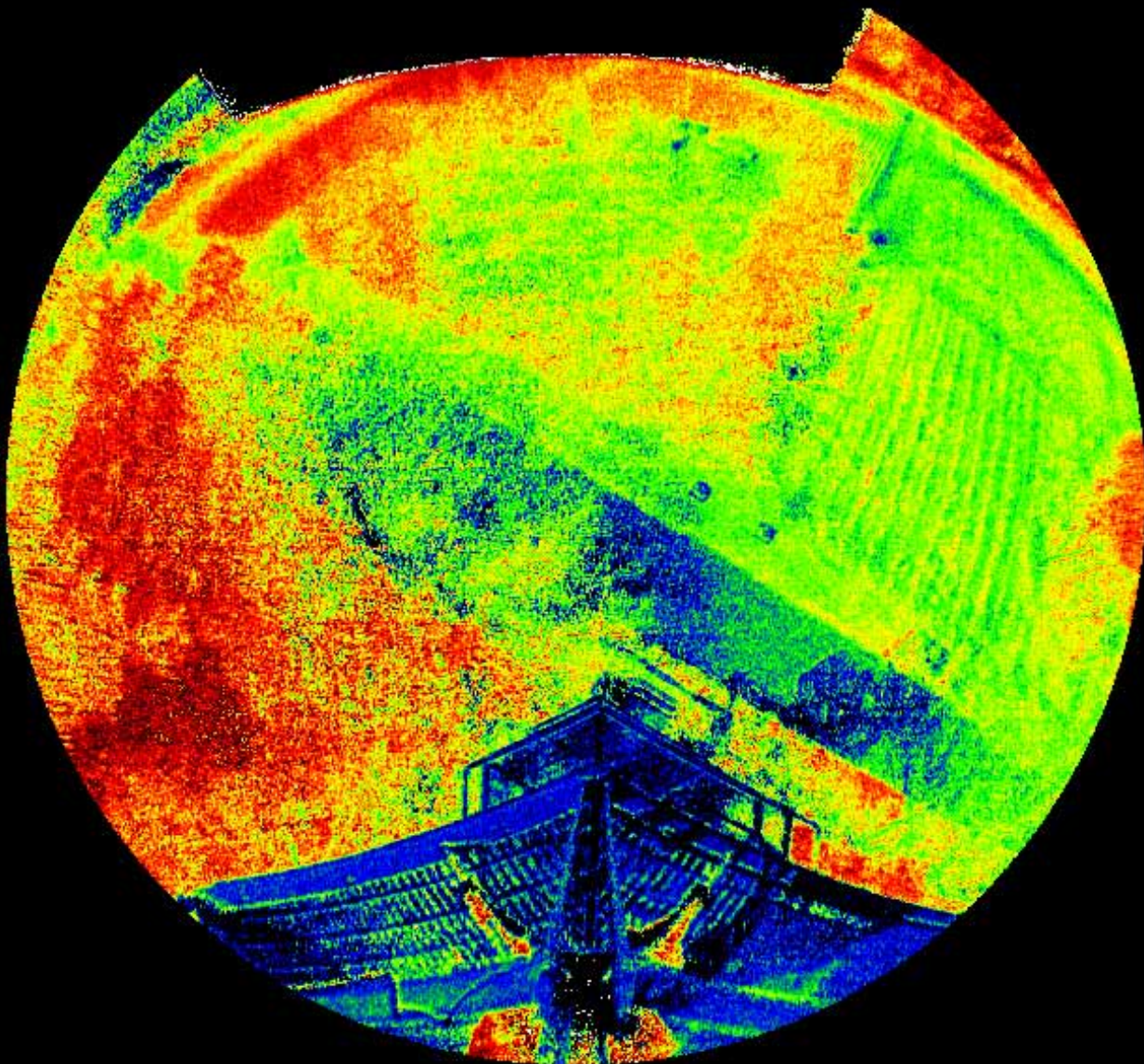
NDVI
H
L

False color image



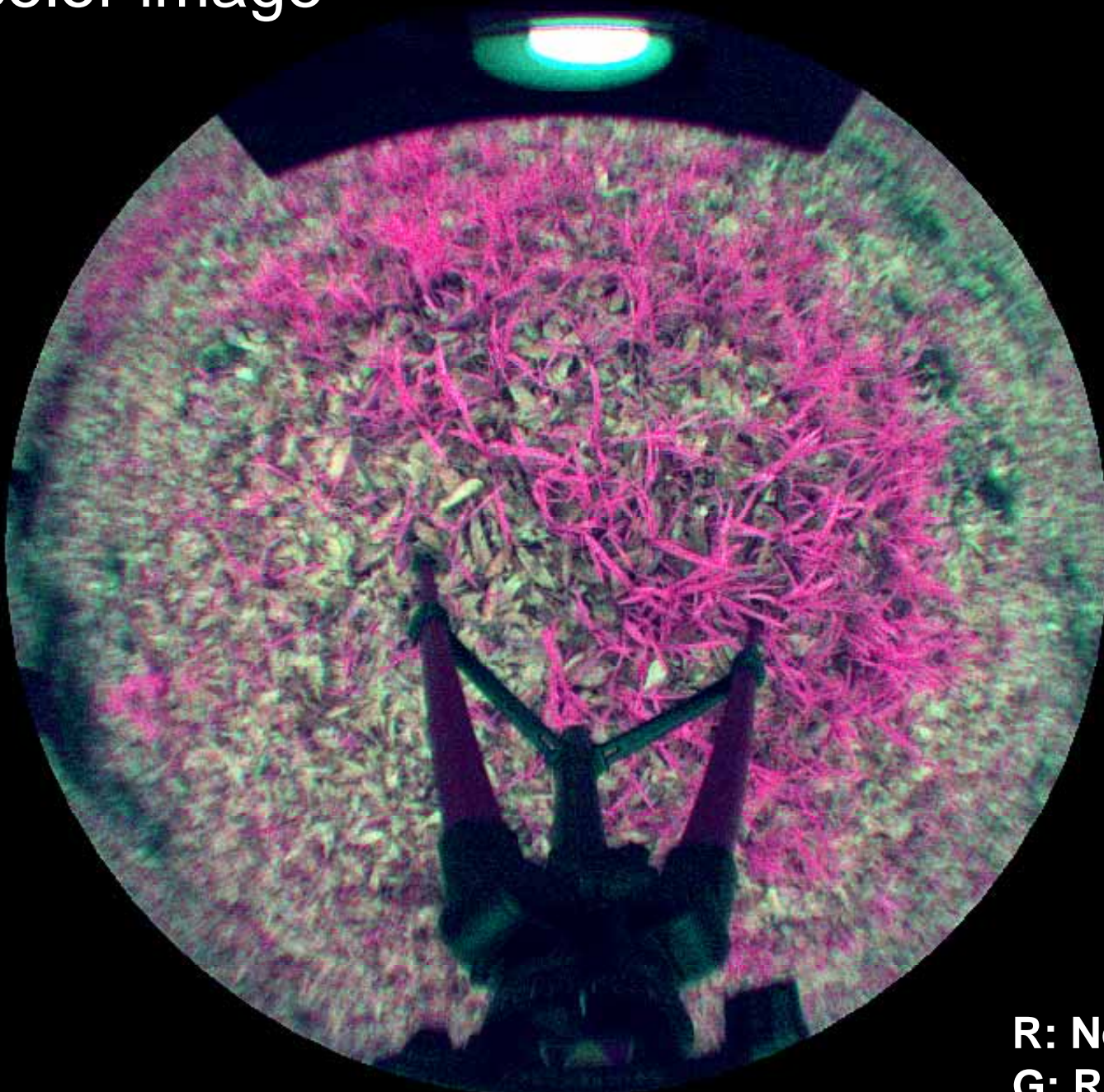
R: Near-infrared
G: Red
B: Green

NDVI image



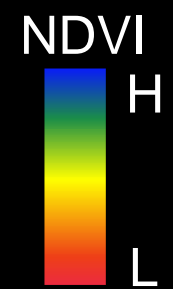
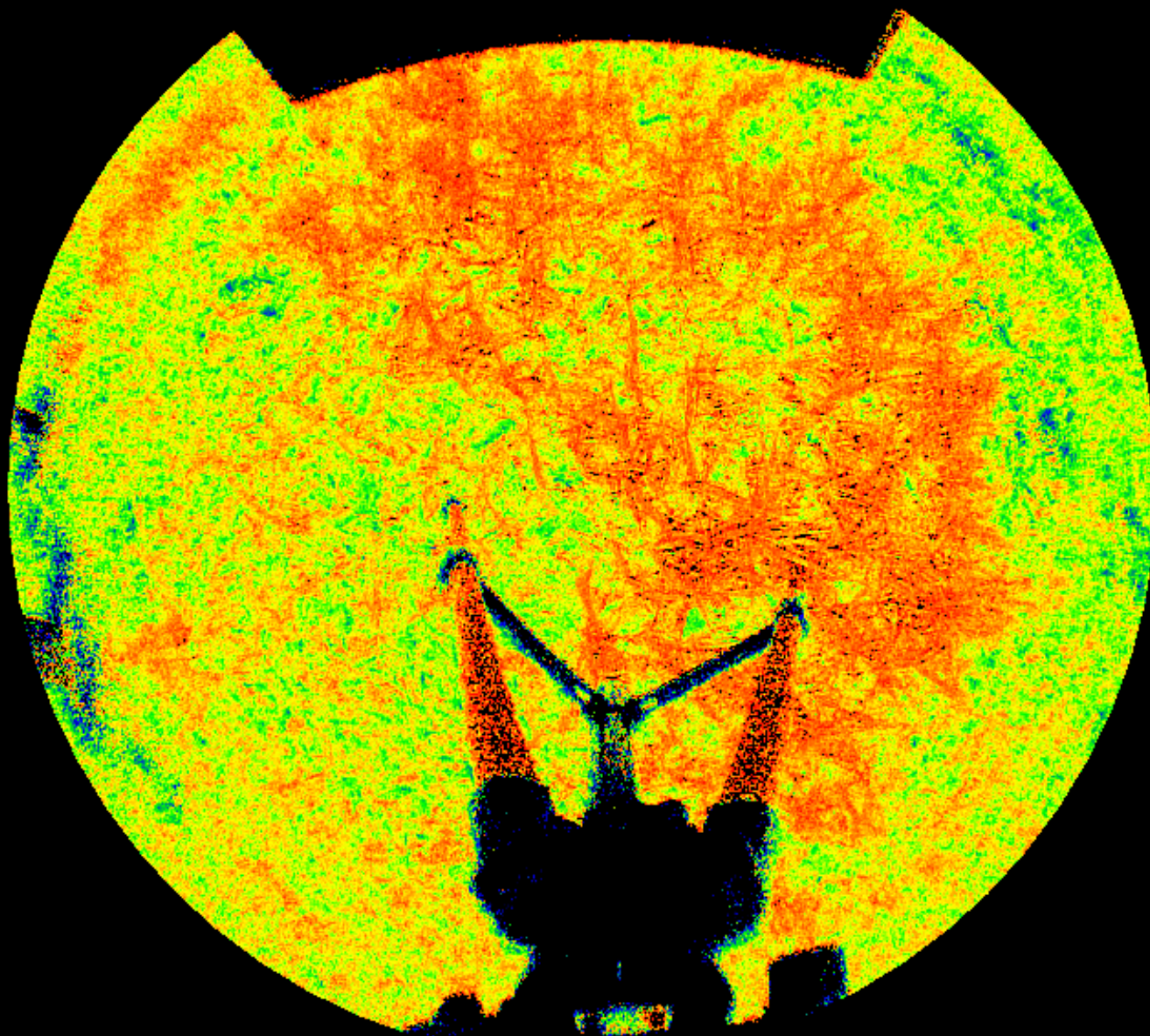
NDVI
H
L

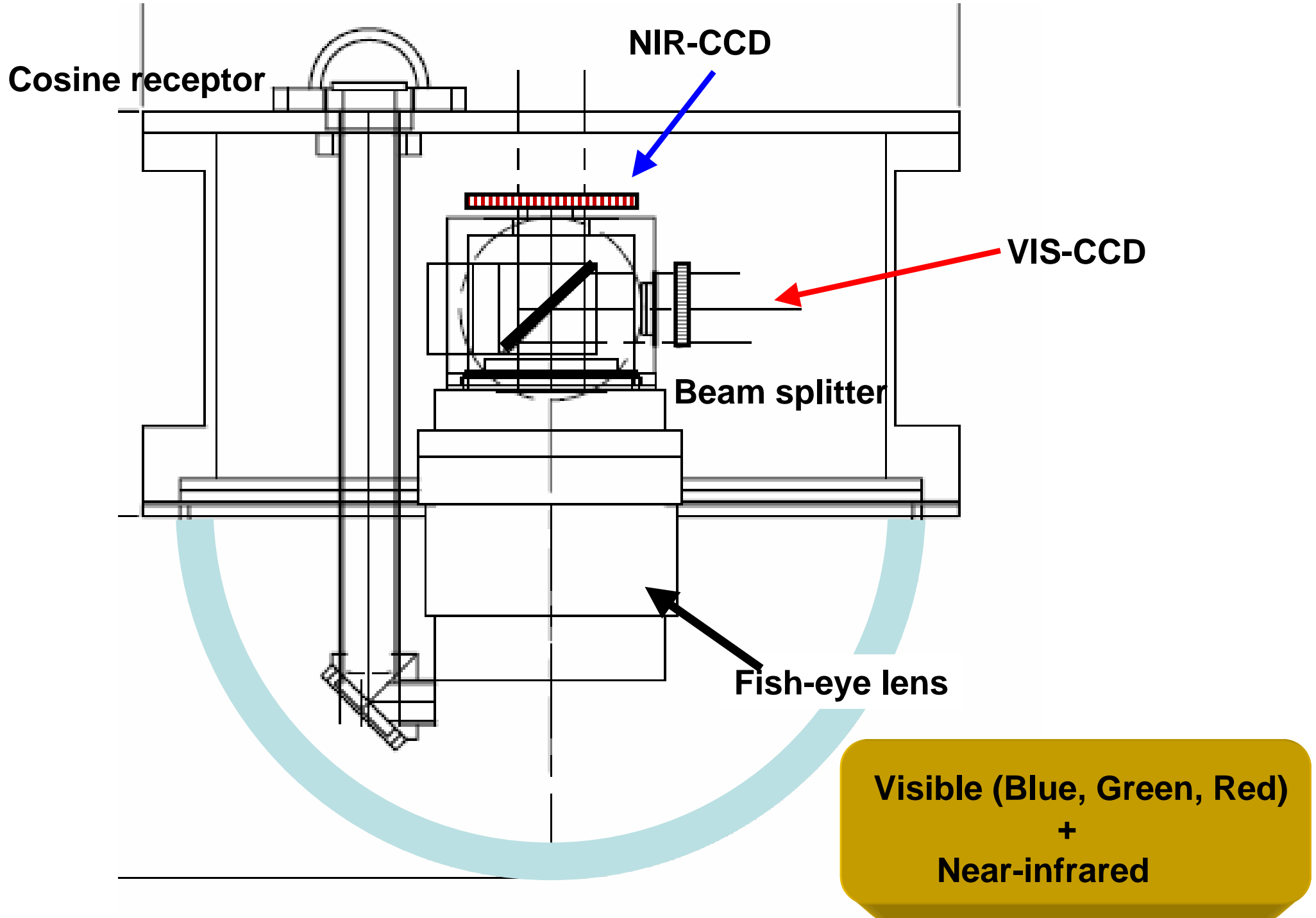
False color image



R: Near-infrared
G: Red
B: Green

NDVI image

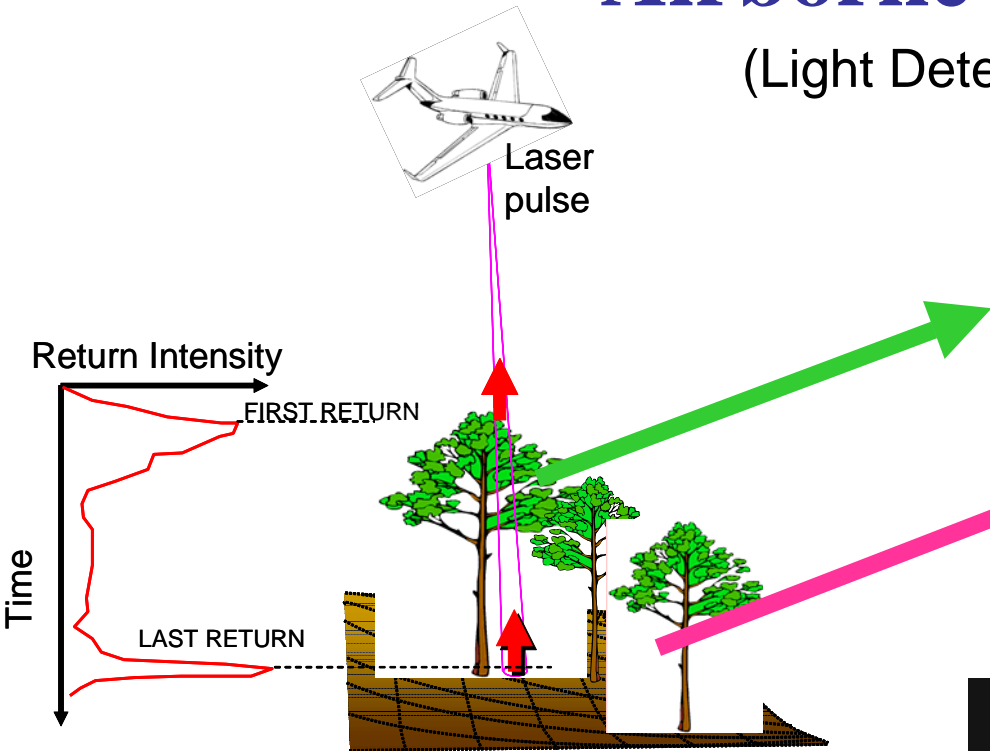




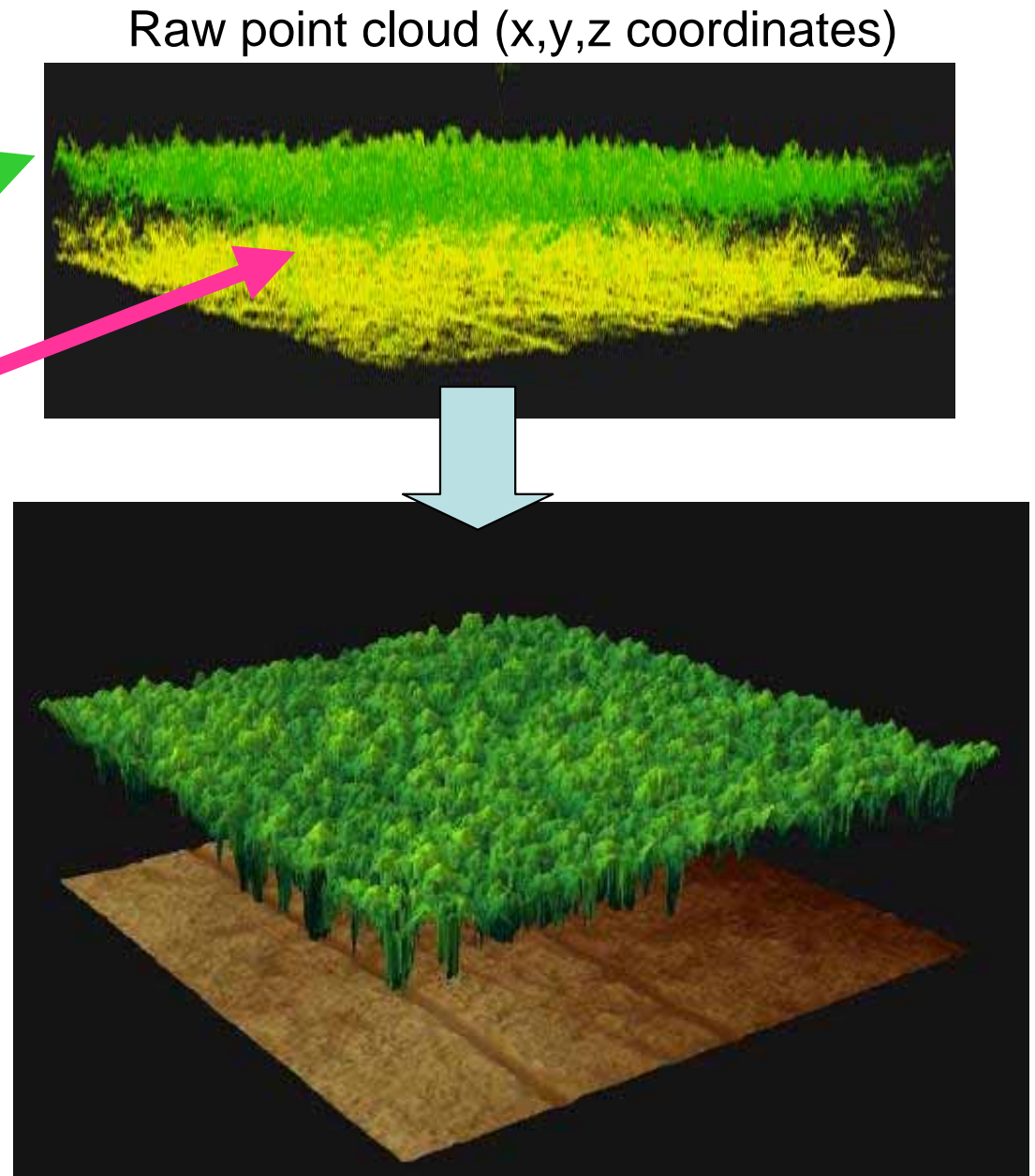
Three-dimensional digital analysis of aerial photographs

Airborne Lidar Systems

(Light Detection And Ranging)

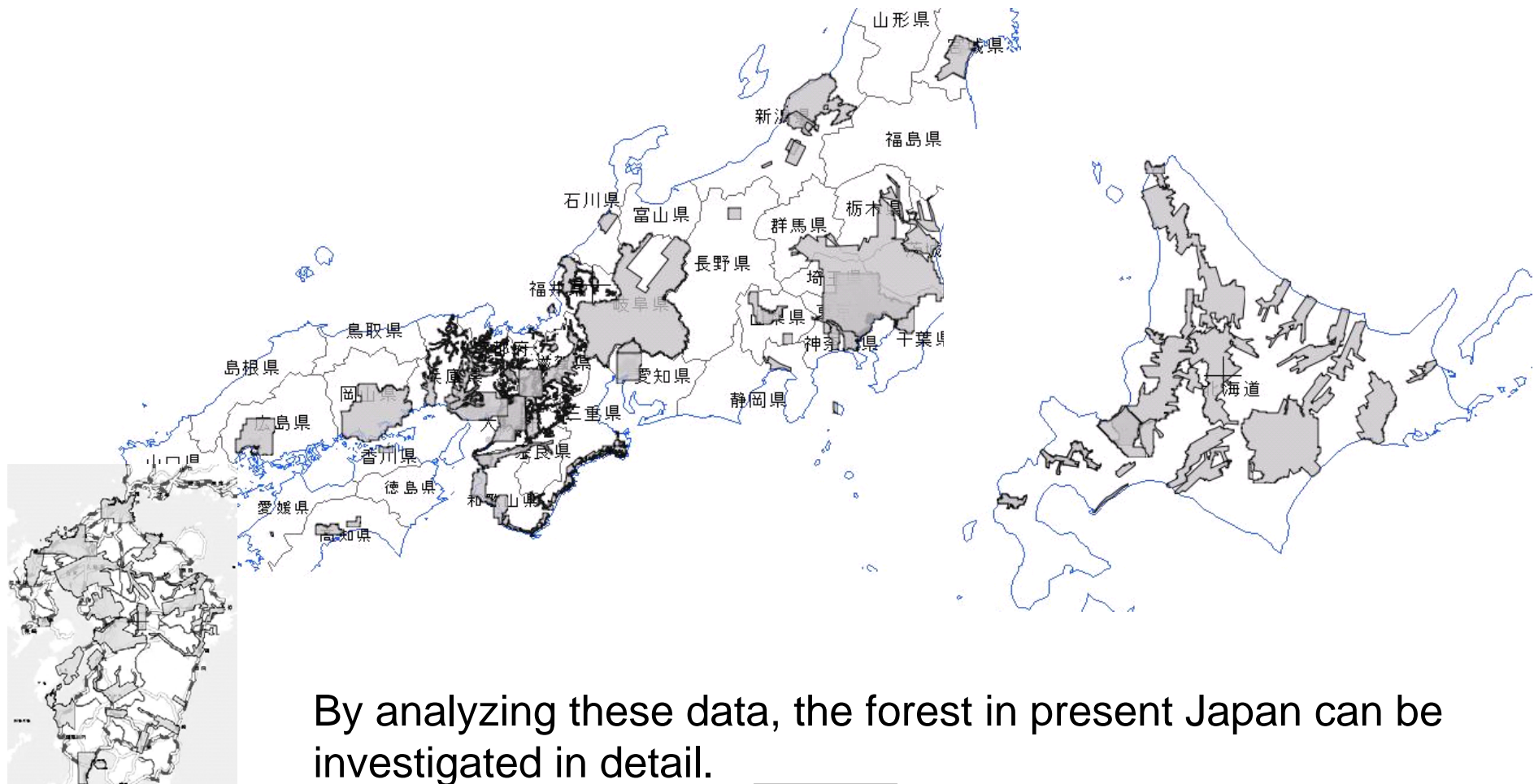


Larch tree



Tomakomai CO₂ Flux research site

Observed area with airborne LiDAR in Japan

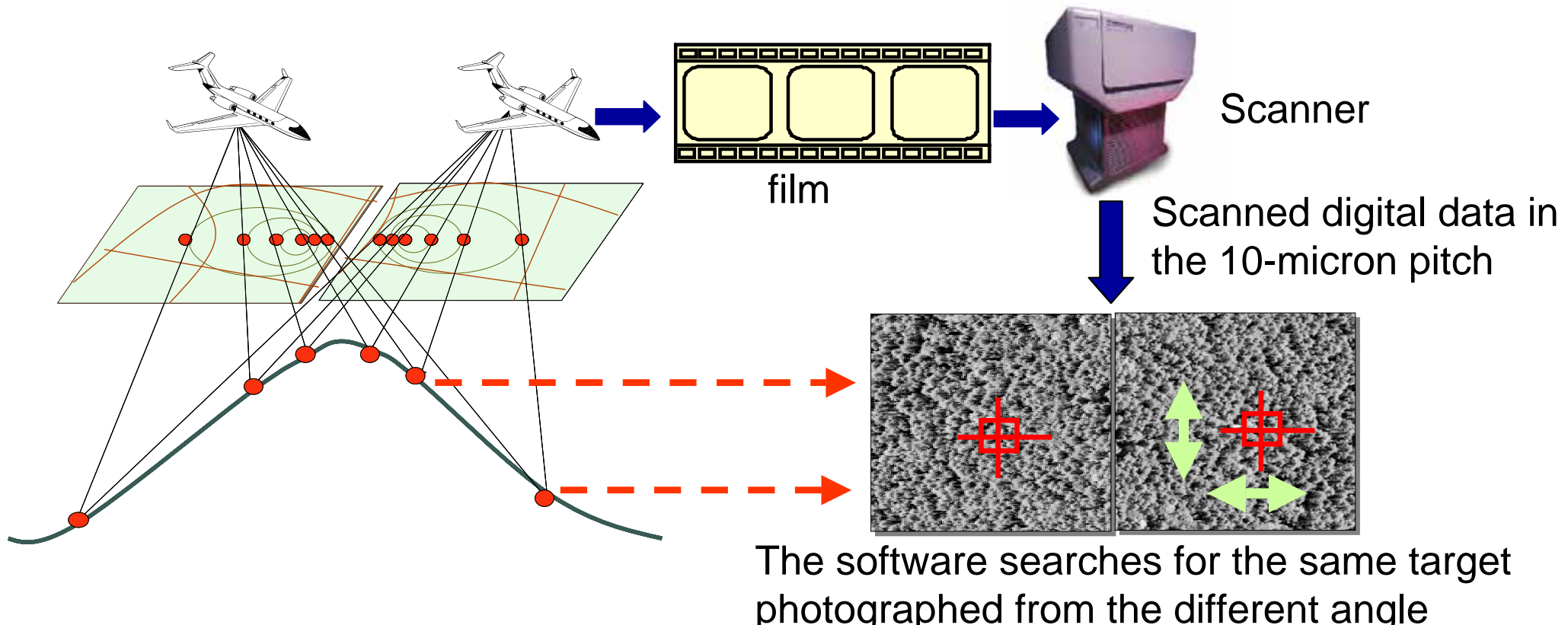


By analyzing these data, the forest in present Japan can be investigated in detail.



How can we get to understand the state of the past forest?

Three-dimensional digital analysis of aerial photographs



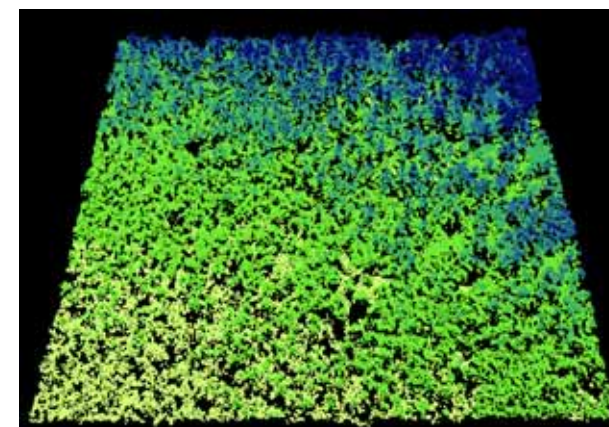
Conventional method



Requirements;
• Skills
• Time ...



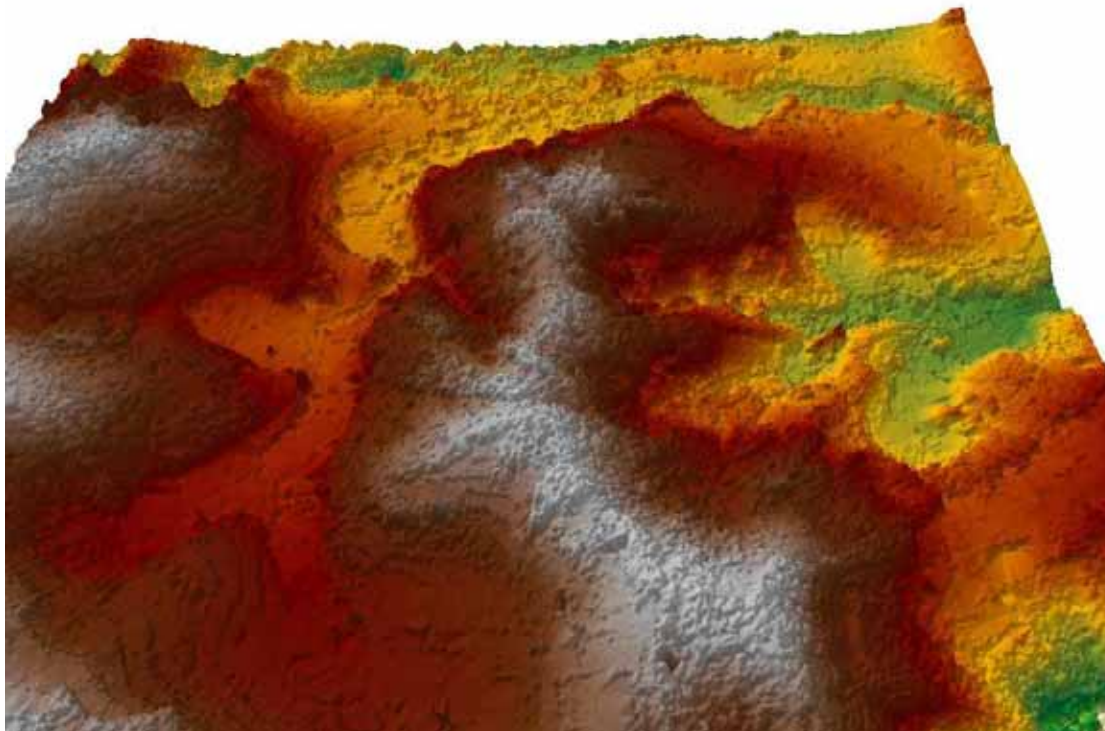
Calculation of three dimension coordinates



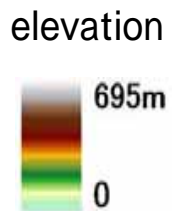
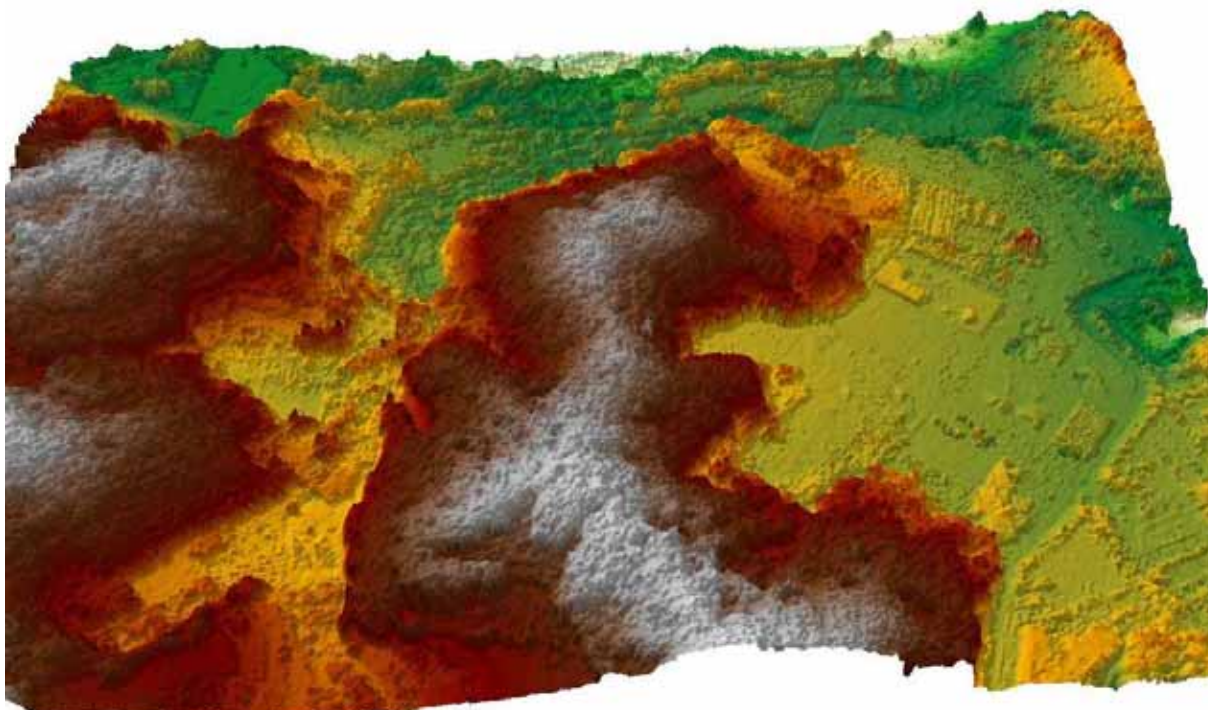
Digital surface model

Digital Surface Model (DSM) produced from the aerial photograph of one pair

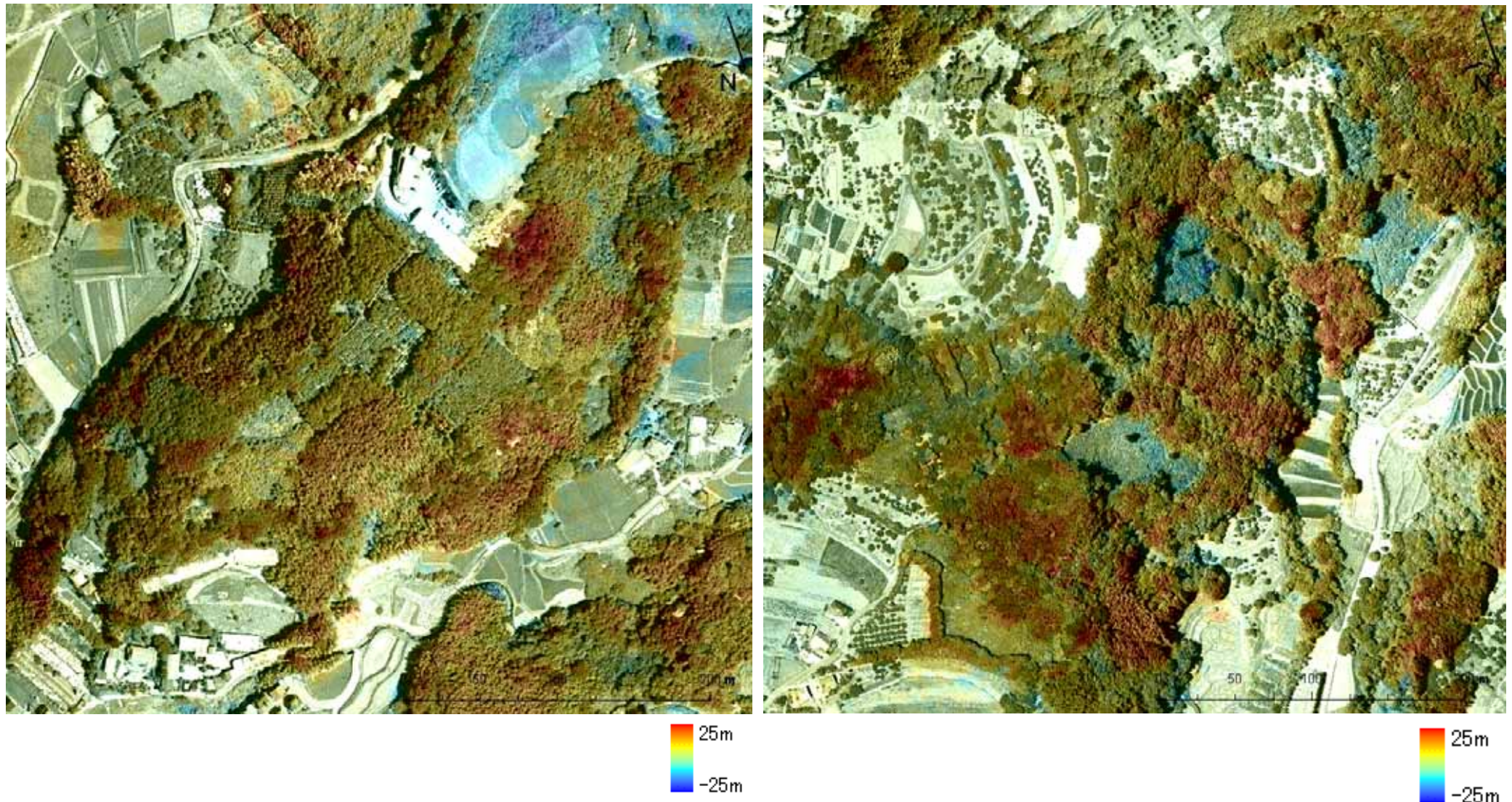
1967



2002

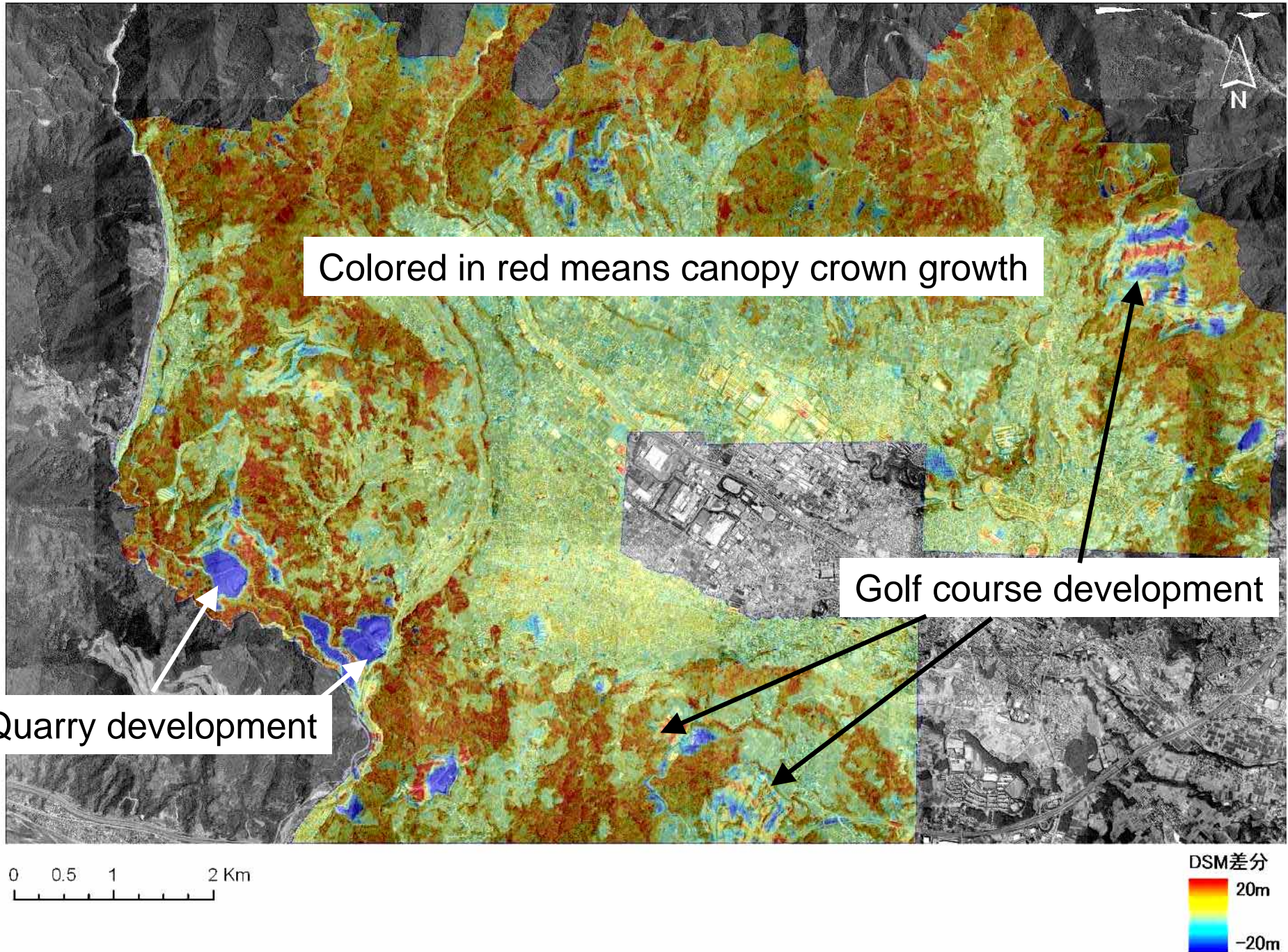


Extraction of the change of DSM in Satoyama-Village forest DSM_{2002} - DSM_{1967}

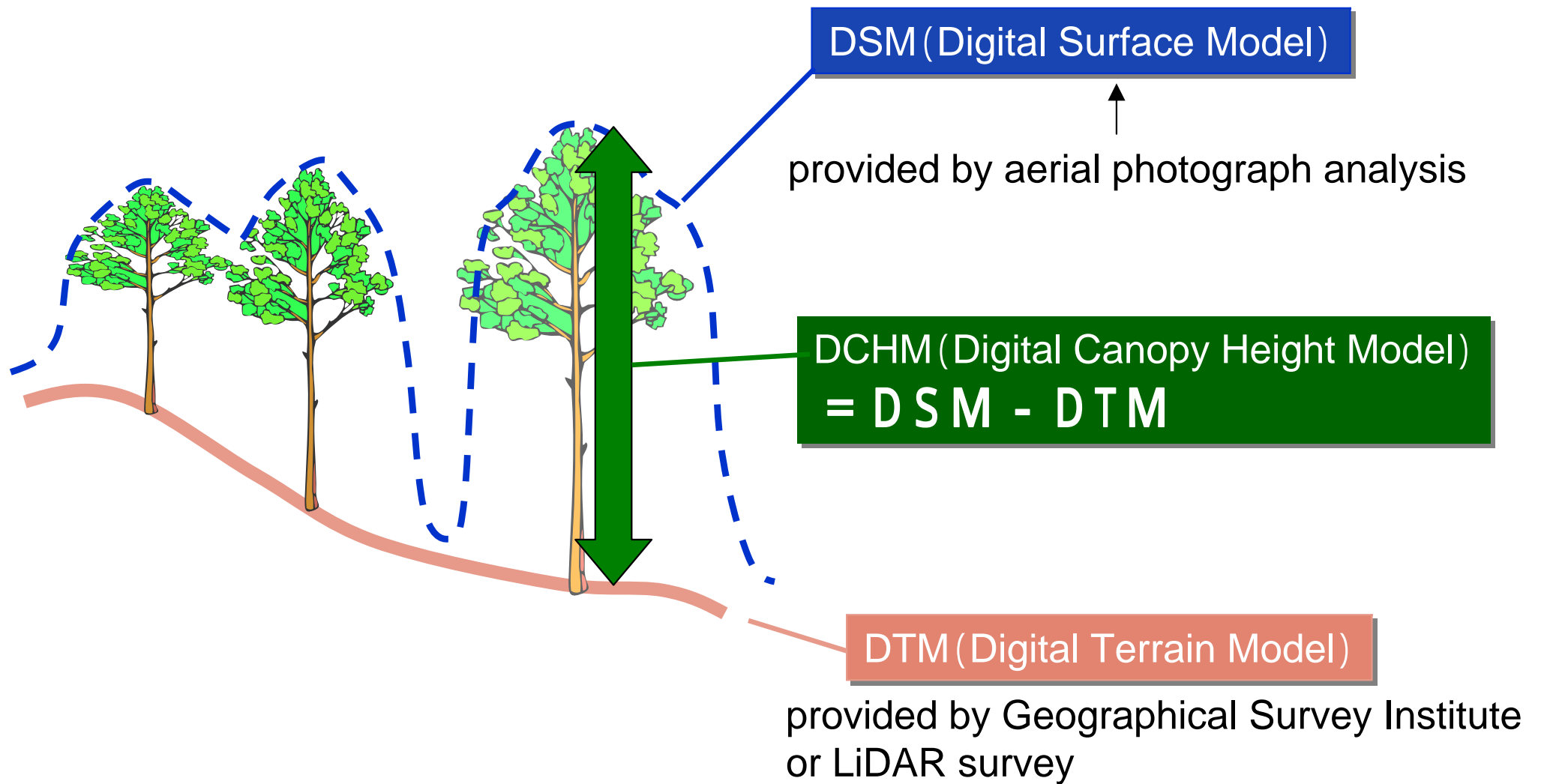


Red shows canopy crown growth and blue shows deforestation

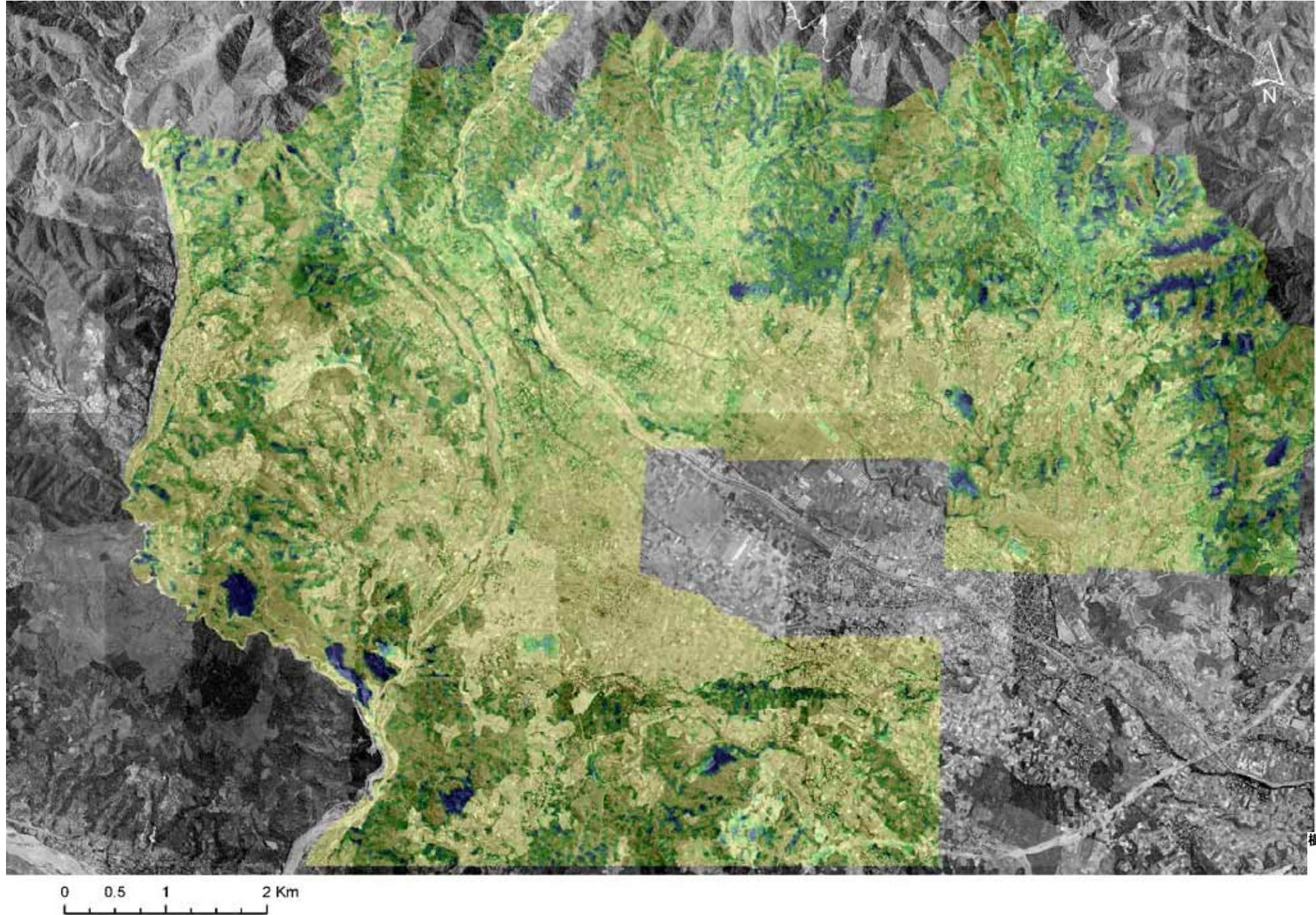
Difference between 2002 and 1967 of DSM



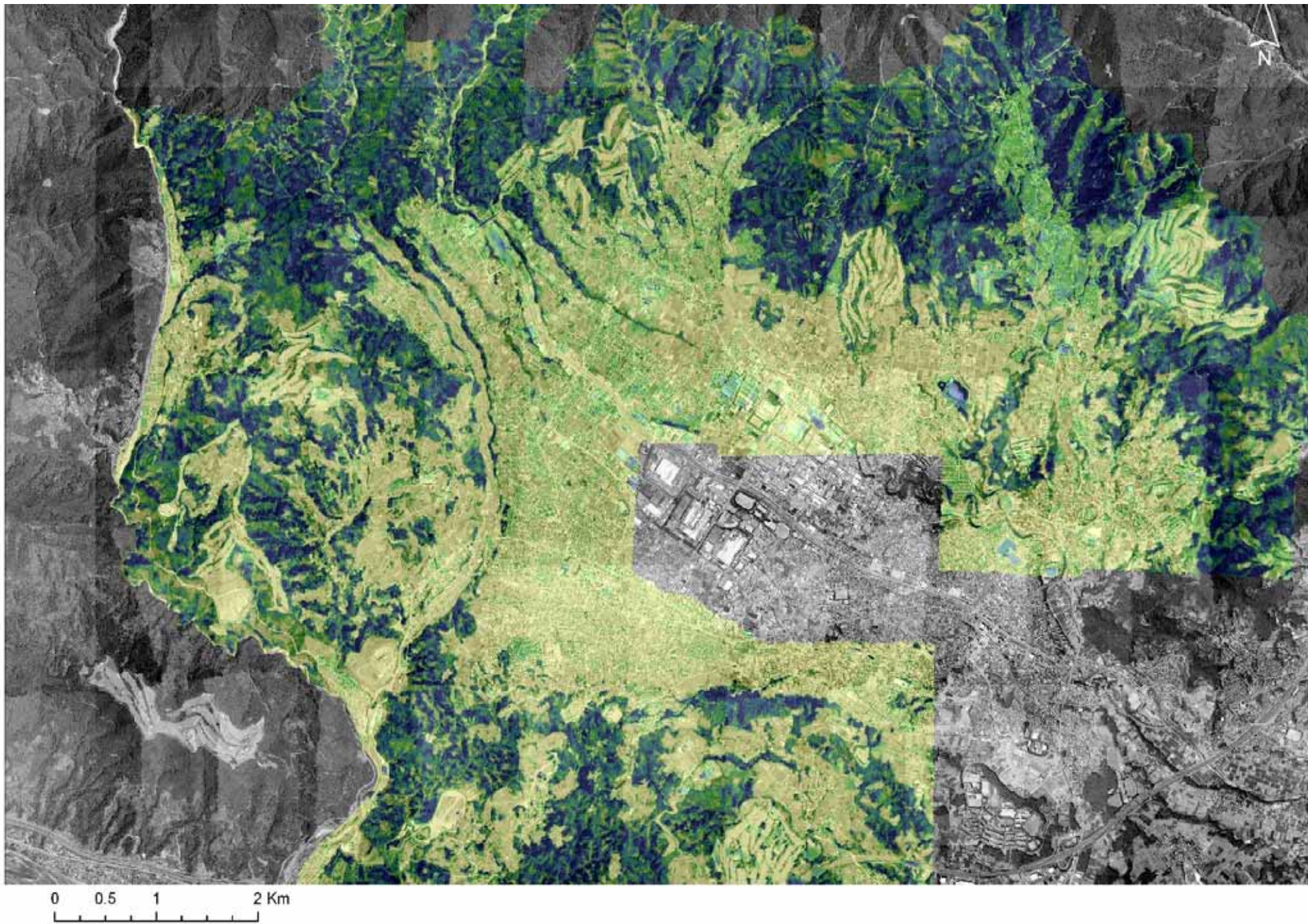
The method of DCHM (Digital Canopy Height Model) calculation



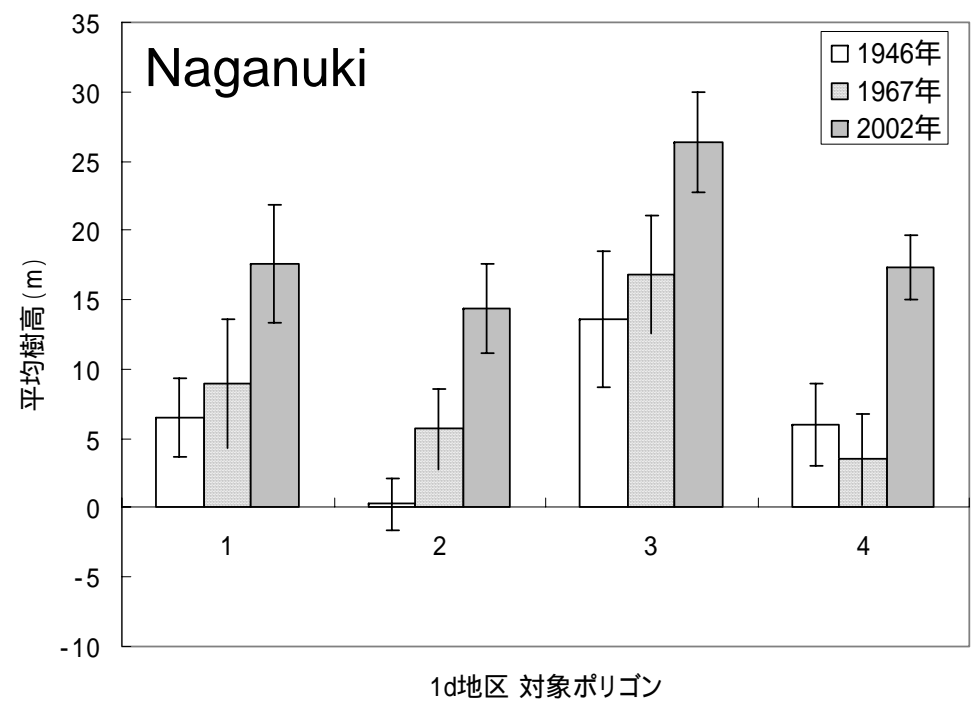
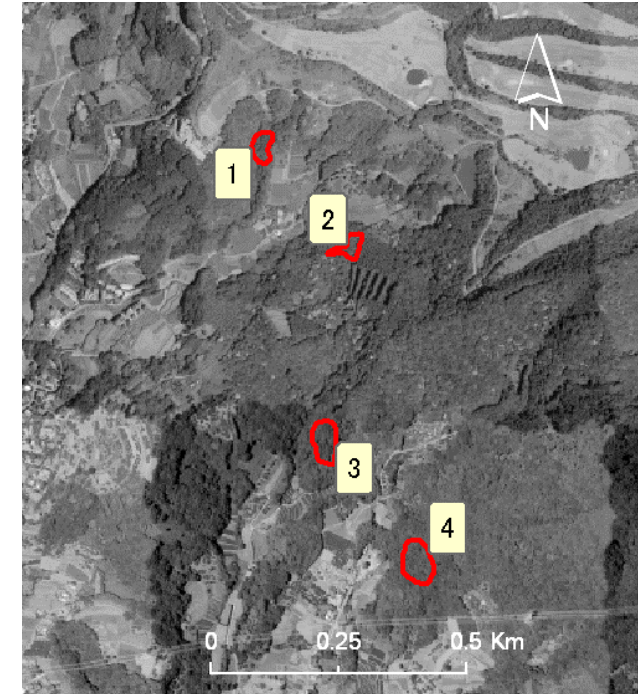
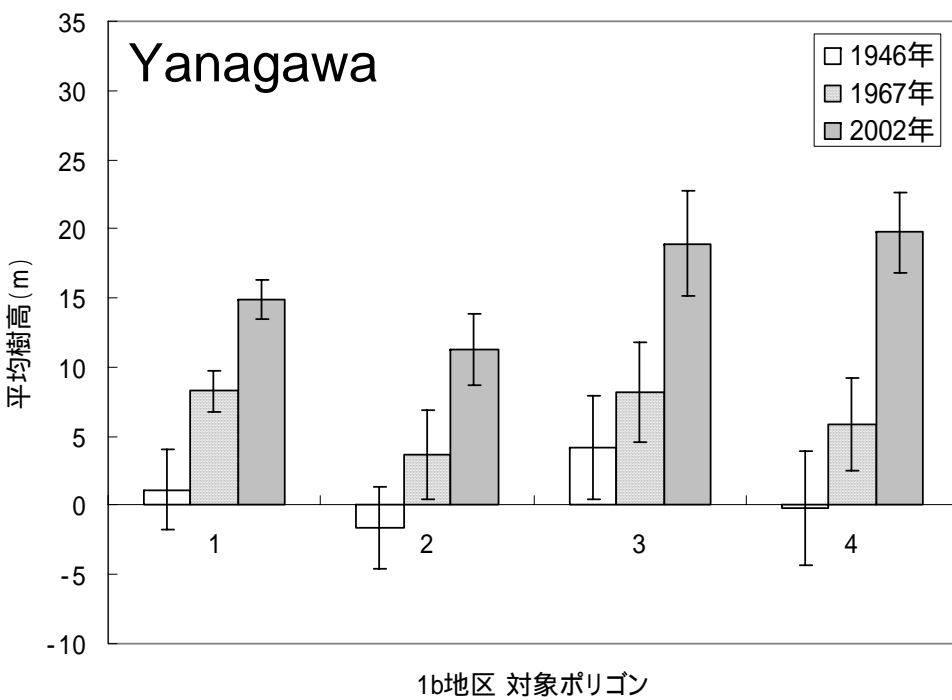
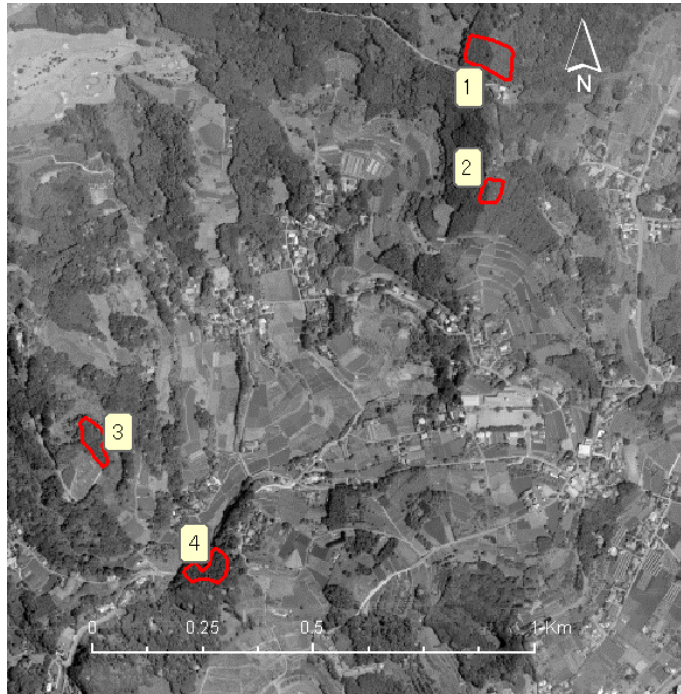
DCHM image in 1967



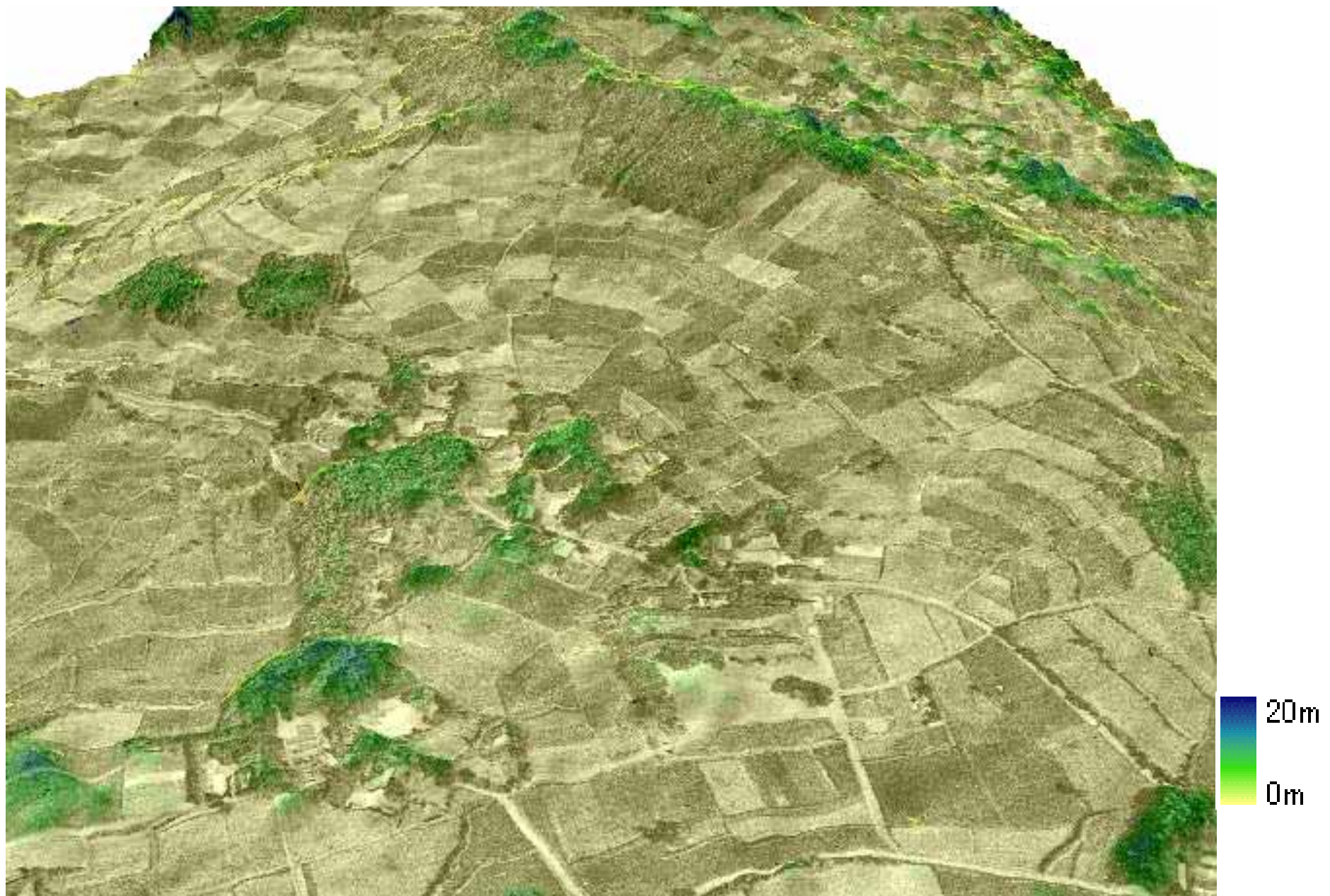
DCHM image in 2002



Canopy height change from 1946 to 2002



Colored image by DCHM in 1946



Colored image by DCHM in 1967

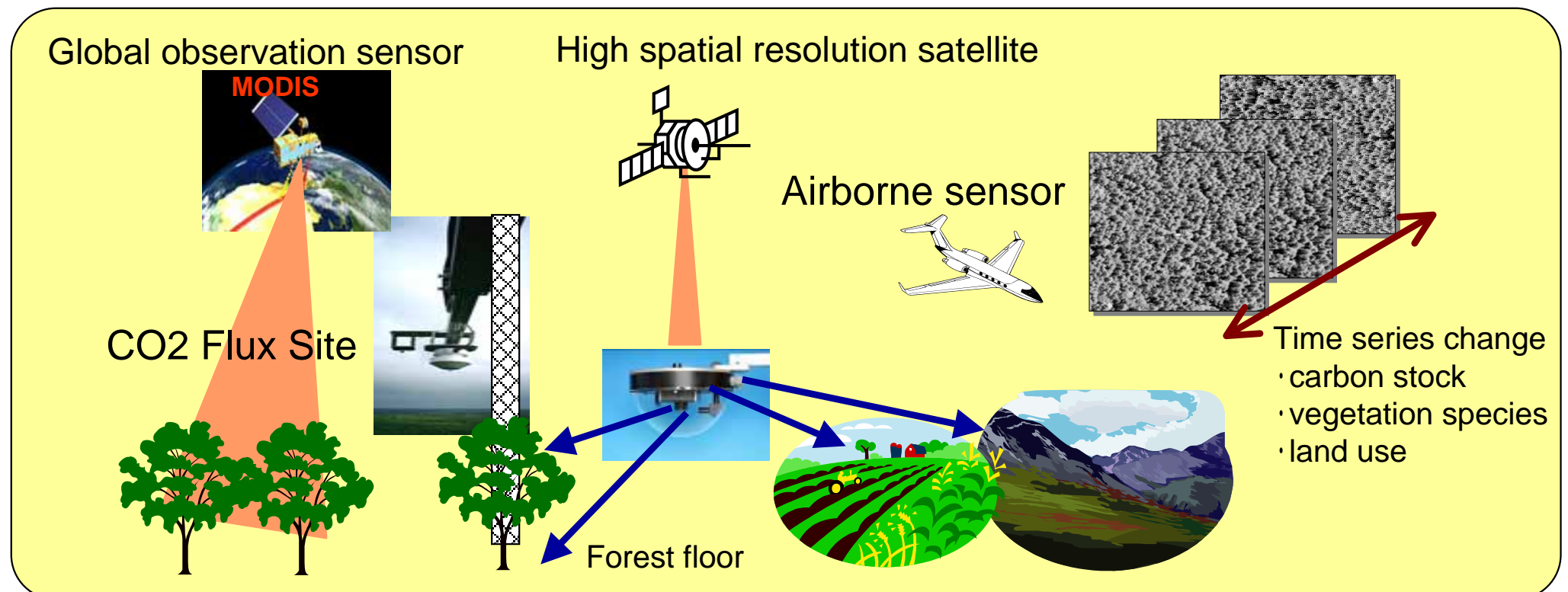


Colored image by DCHM in 2002



Conclusion

- The Multi Spectral Phenology Cameras of Prototype will be installed in several JaLTER sites, and be checked their usefulness.
- The new phenology camera which can photograph both true visible color and near-infrared will be developed.
- Precise DTM is required in order to calculate change of the canopy height from the past more correctly.

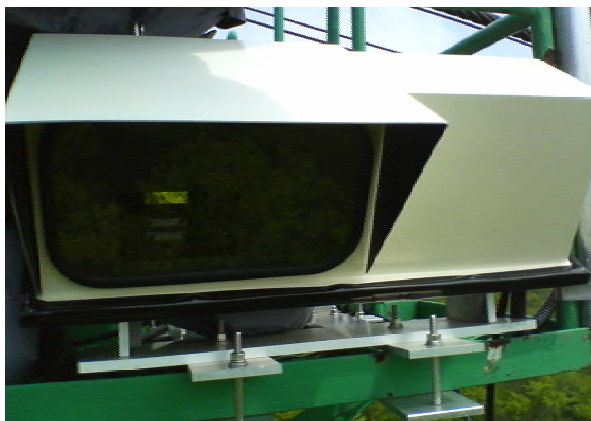


苫小牧タワーサイトにおける分光・熱画像観測



サーマルカメラ
NEC TH3100

視野角: 約15°
最小検知温度: 0.08
測定精度: ±1.2
測定波長域 8 ~ 13 μm



ハイパースペクトルカメラ
Specim ImSpector V10

視野角: 30°
波長幅: 400 ~ 1000 nm
サンプリング幅: 4.4 nm

2地点の画像情報を連続撮影
(2007年6月 ~)

対照区



地温上昇区

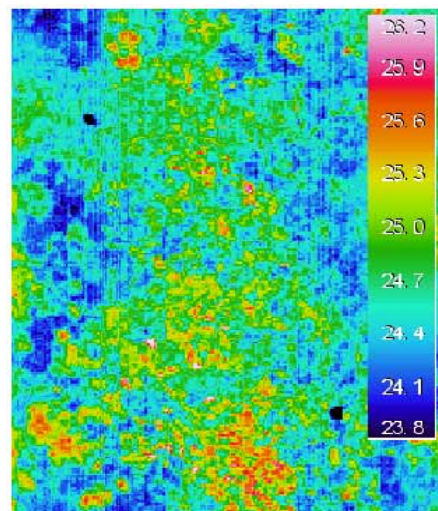


可視～近赤外域の分光反射情報と葉の生理機能

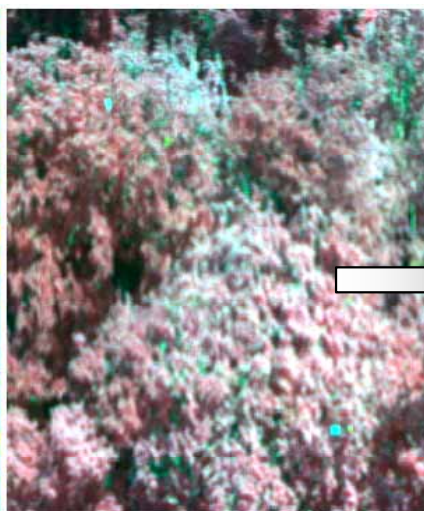
ミズナラ測定木



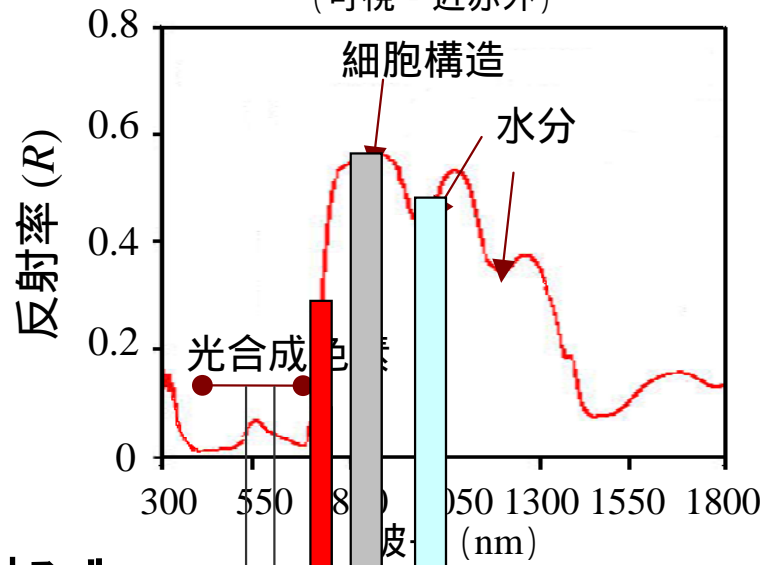
熱赤外画像



可視-近赤外合成画像 (2007/7/2)



葉面の反射スペクトル
(可視 - 近赤外)



光合成応答

$$\text{PRI: Photochemical Reflectance Index} = \frac{(R_{531}-R_{570})}{(R_{531}+R_{570})}$$

エポキシ化率、PSII活性、光利用効率

← キサントフィル
サイクル

葉量変化

$$\text{NDVI: Normalized Difference Vegetation Index} = \frac{(RNIR-RRED)}{(RNIR+RRED)}$$

光吸收率 fAPAR、LAI

← クロロフィル・
組織発達

色素量変化

$$\text{CCI: Canopy Chlorophyll Index} = \frac{D_{720} \text{ (720nm一次微分値)}}{D_{700} \text{ (700nm一次微分値)}}$$

葉内クロロフィル濃度

← クロロフィル

水分状態

$$\text{WI: Water Index} = \frac{R_{970}}{R_{900}}$$

水分量 (重度の乾燥など)

← 水分

表面温度は蒸散や水分状態と関連があるかもしれない

DCHM変動パターンによる土地被覆変遷の抽出手法の開発

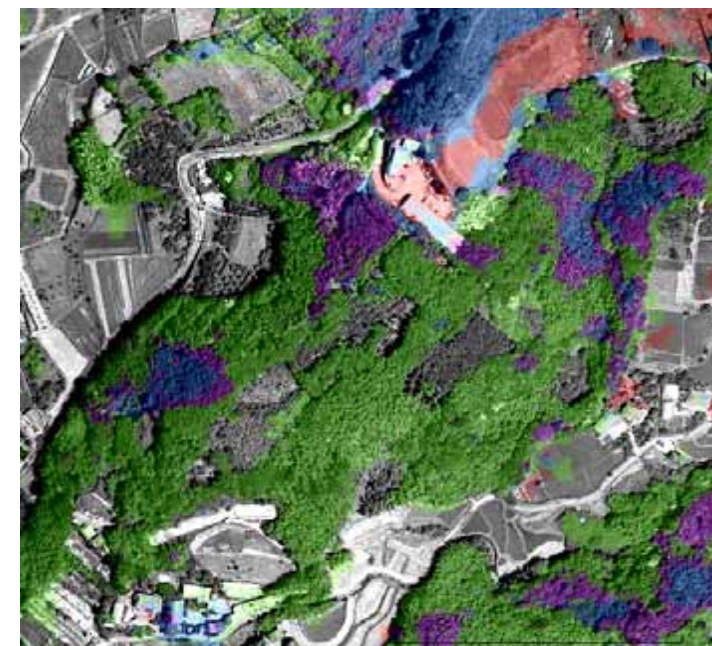
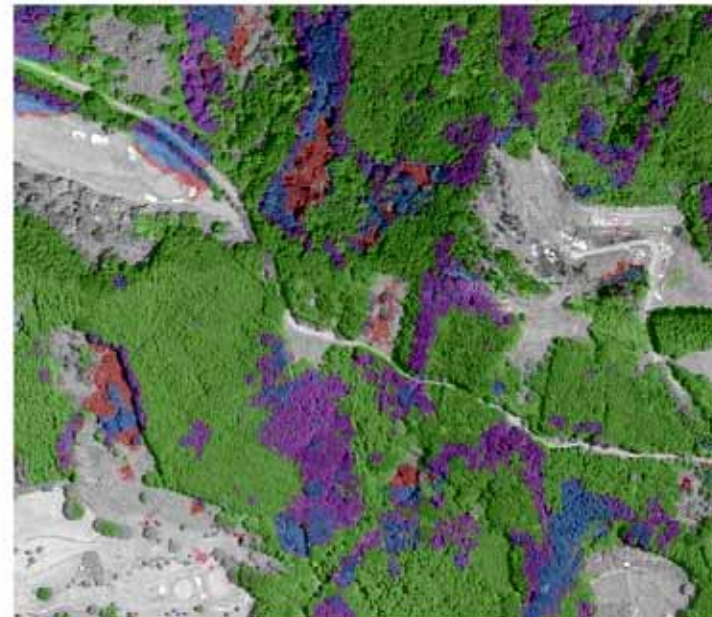
土地被覆分類のルール

DCHMを算出し、

- -5m以下を凹地/エラー
- -5 ~ 5mを平地
- 5m ~ 10mを低木林
- 10m以上と高木林



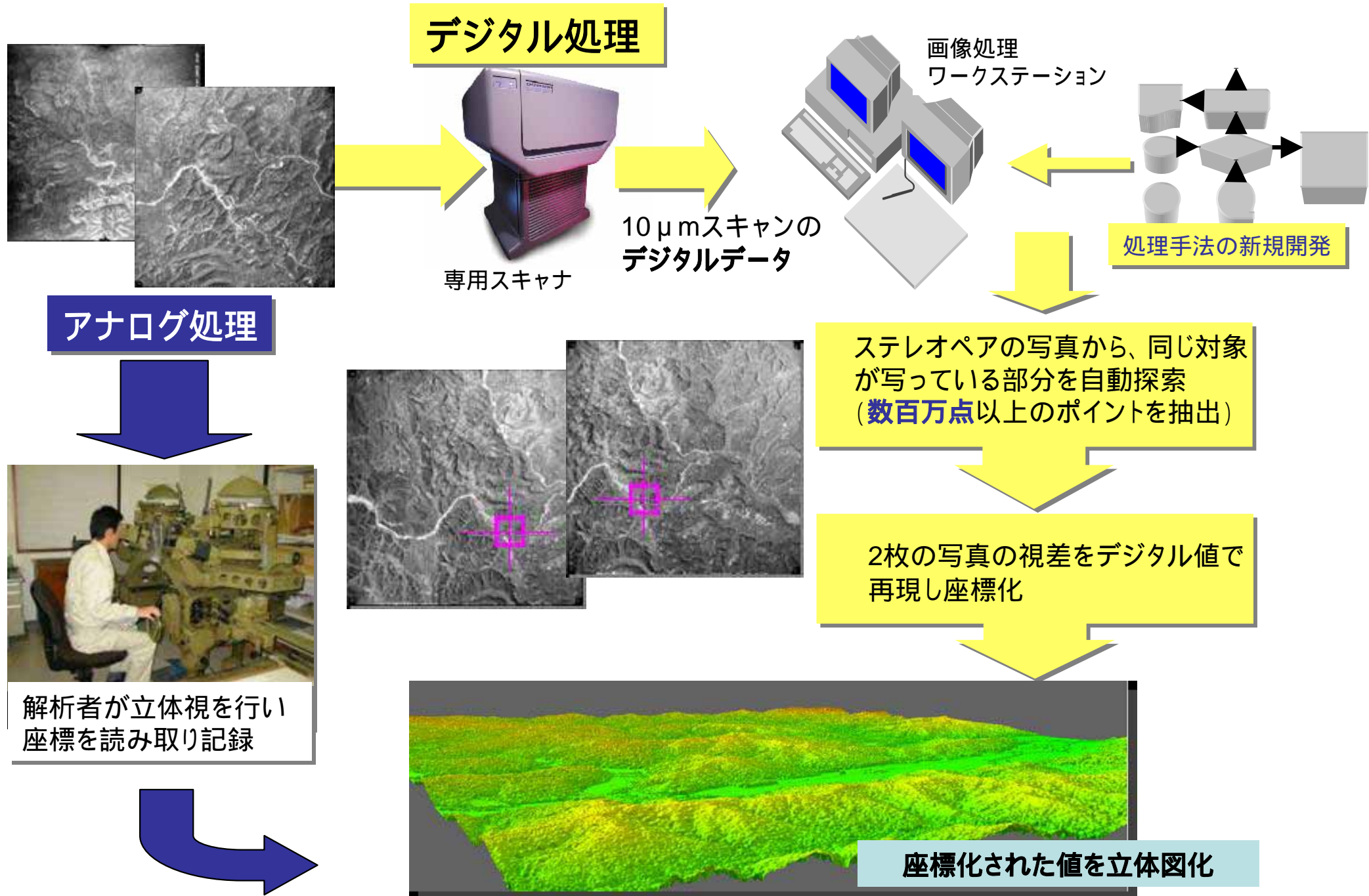
1967,2002年における
被覆変化をクラス分け



DCHM変化を元にした土地利用変遷図

期首(1967年)クラス	期末(2002年)クラス	色	意味
凹地/エラー地	凹地/エラー地		非森林
	平地		非森林
	低木	green	森林化
	高木	green	森林化
平地	凹地/エラー地		非森林
	平地		非森林
	低木	green	森林化
	高木	green	森林化
低木	凹地/エラー地	red	非森林化
	平地	red	非森林化
	低木	blue	森林
	高木	purple	成長
高木	凹地/エラー地	red	非森林化
	平地	red	非森林化
	低木	blue	森林
	高木	blue	森林

航空写真の三次元解析における従来手法とデジタル解析の比較



景観再生の試み

名古木

各年次のオルソ画像を三次化し、更に各年次の樹高値を算出し、
樹高の高低を緑～黄によってカラー化した画像



1946年



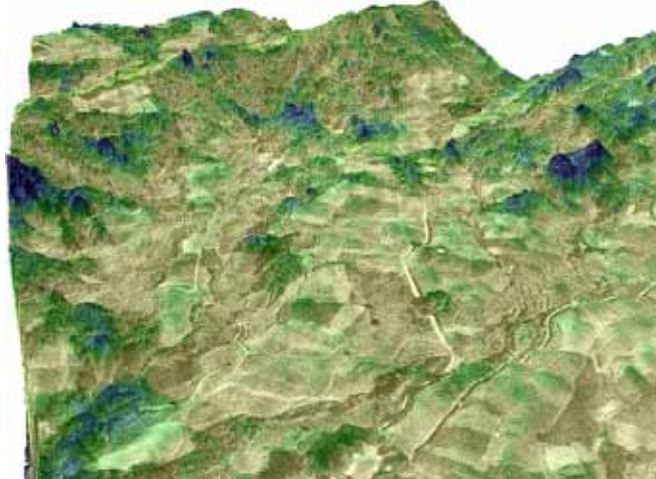
1967年



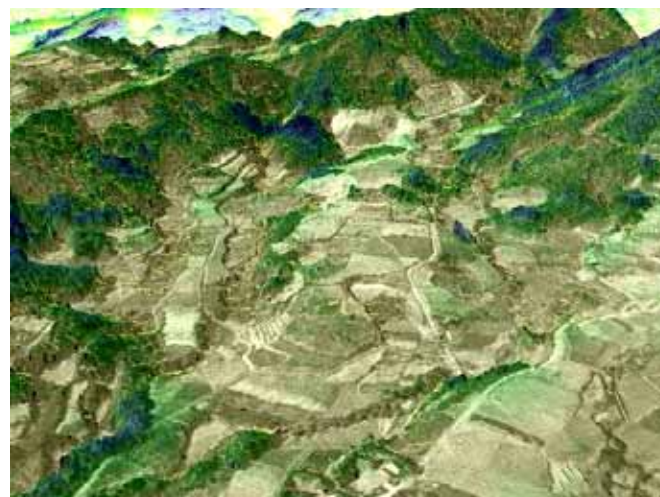
2002年

20m
0m

柳川



1946年



1967年

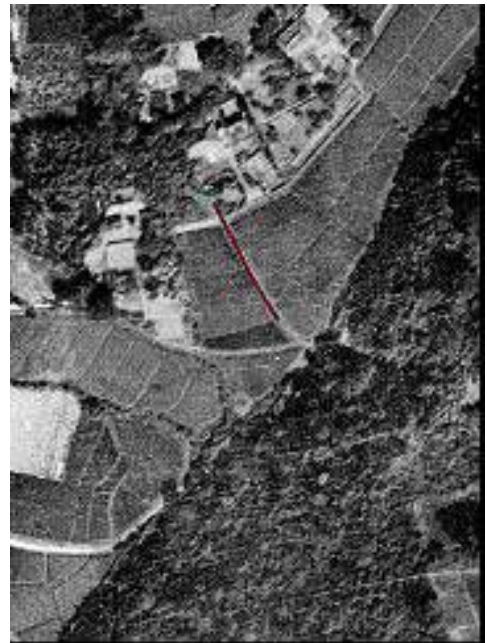


2002年

20m
0m

0m

三次元化データの精度検証(平地)



1946年

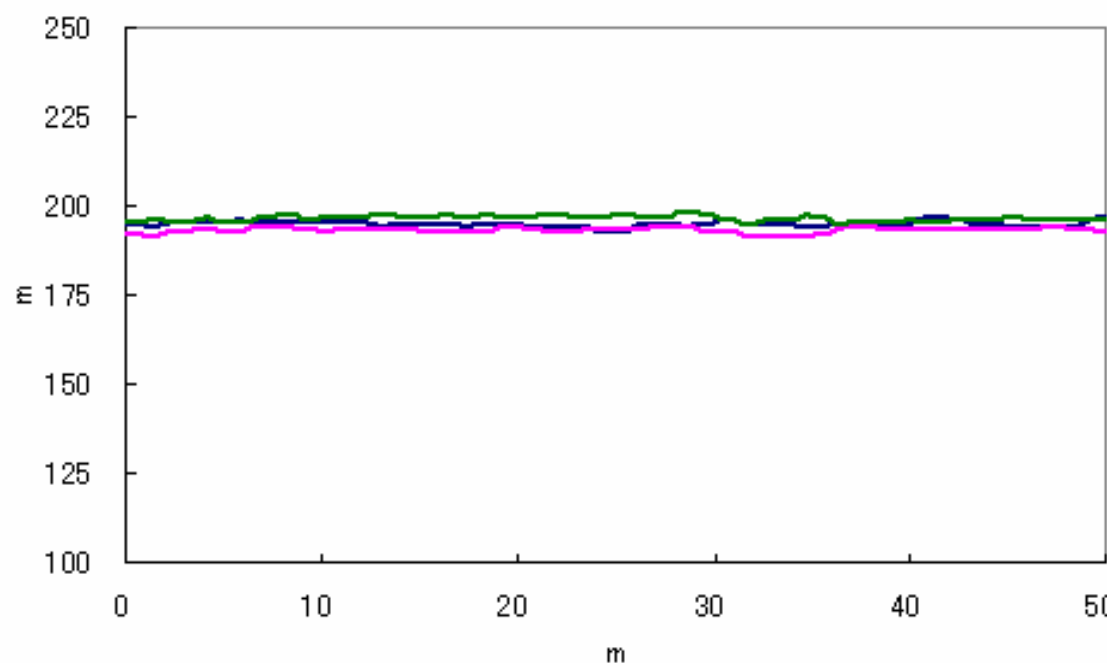
— 2002年 — 1967年 — 米軍写真(1946年)



1967年



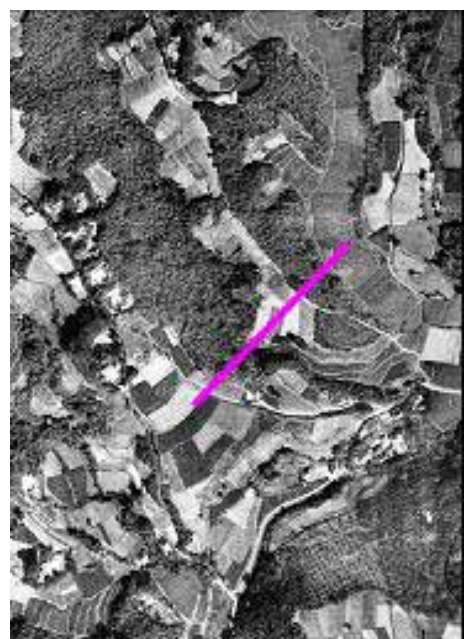
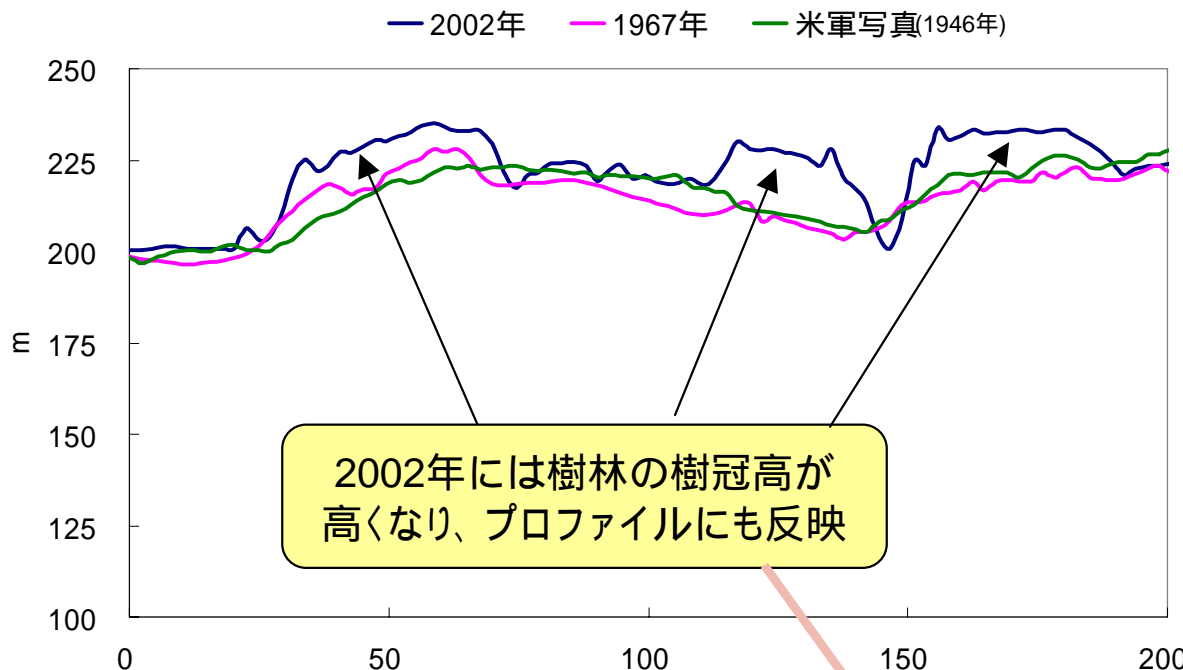
2002年



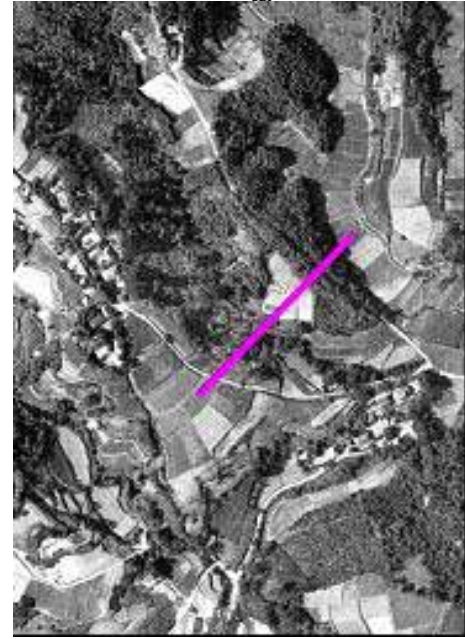
土地被覆の変化の無い場所を判読
により特定(図に示す道路)

高さのプロファイルを求め、標高値が
変化していないことを確認

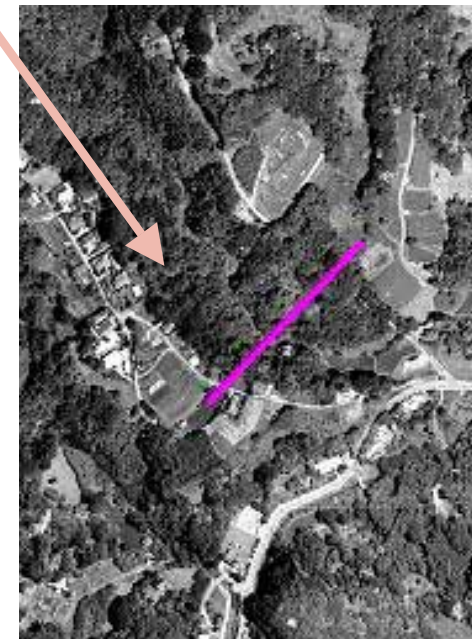
三次元化データの精度検証(林地)



1946年

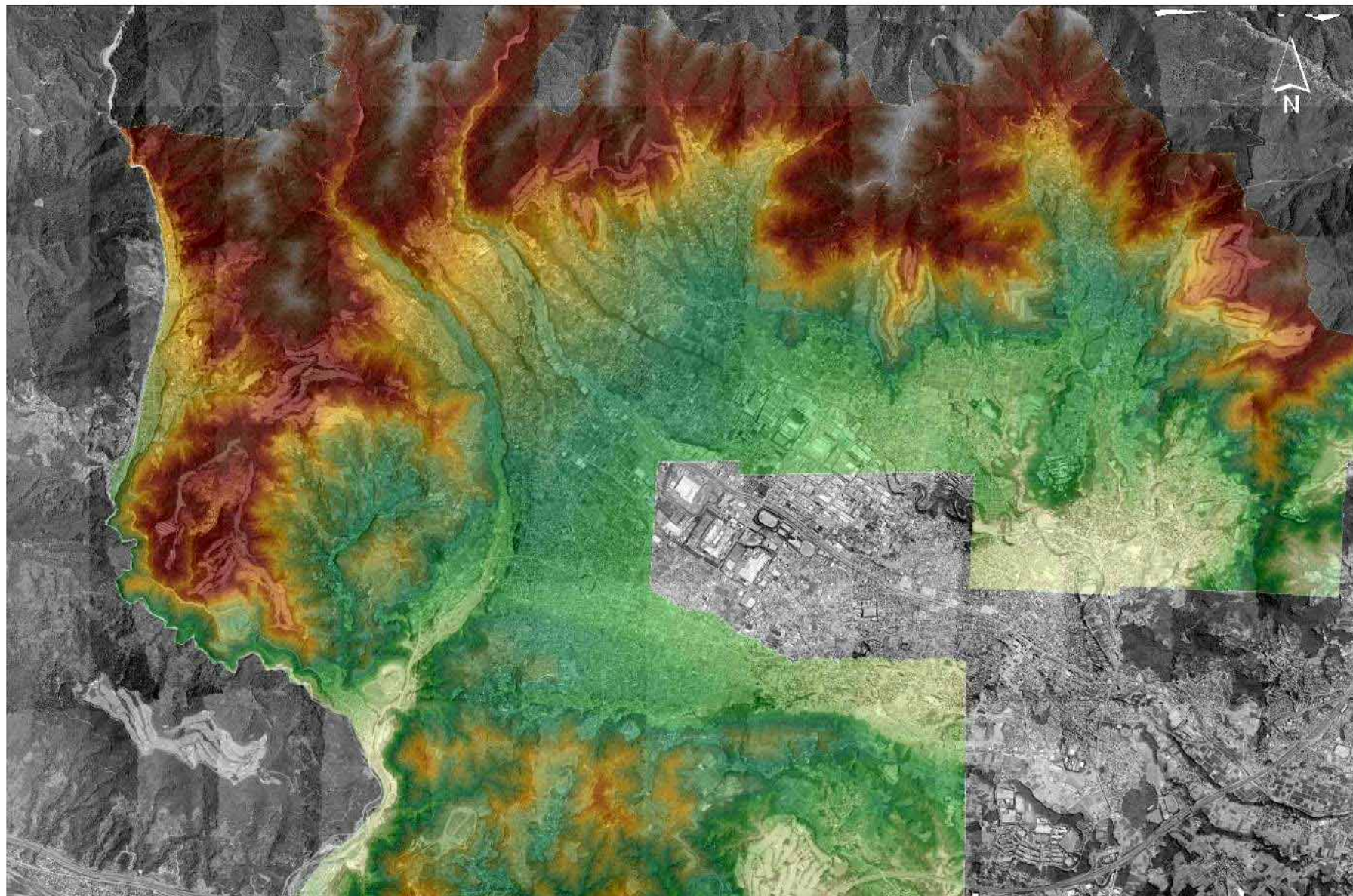


1967年



2002年

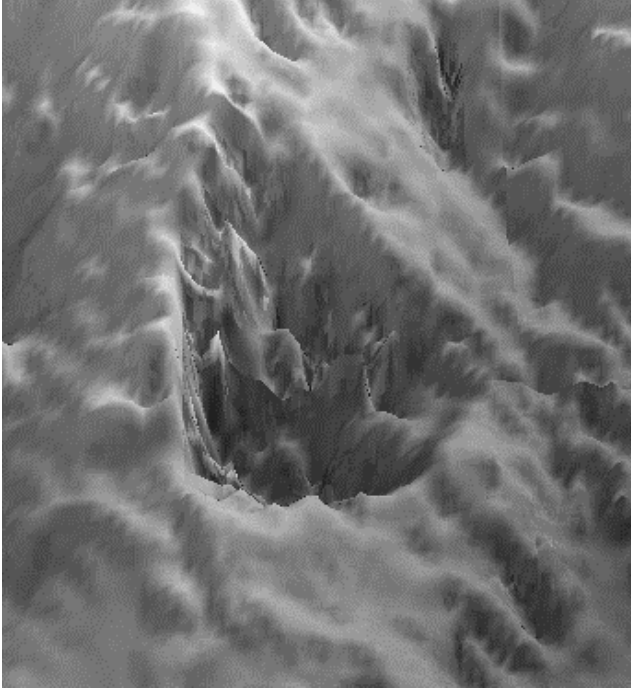
2002年の秦野盆地全域のDSM (Digital Surface Model: 表面高)



0 0.5 1 2 Km

標高
695m
0m

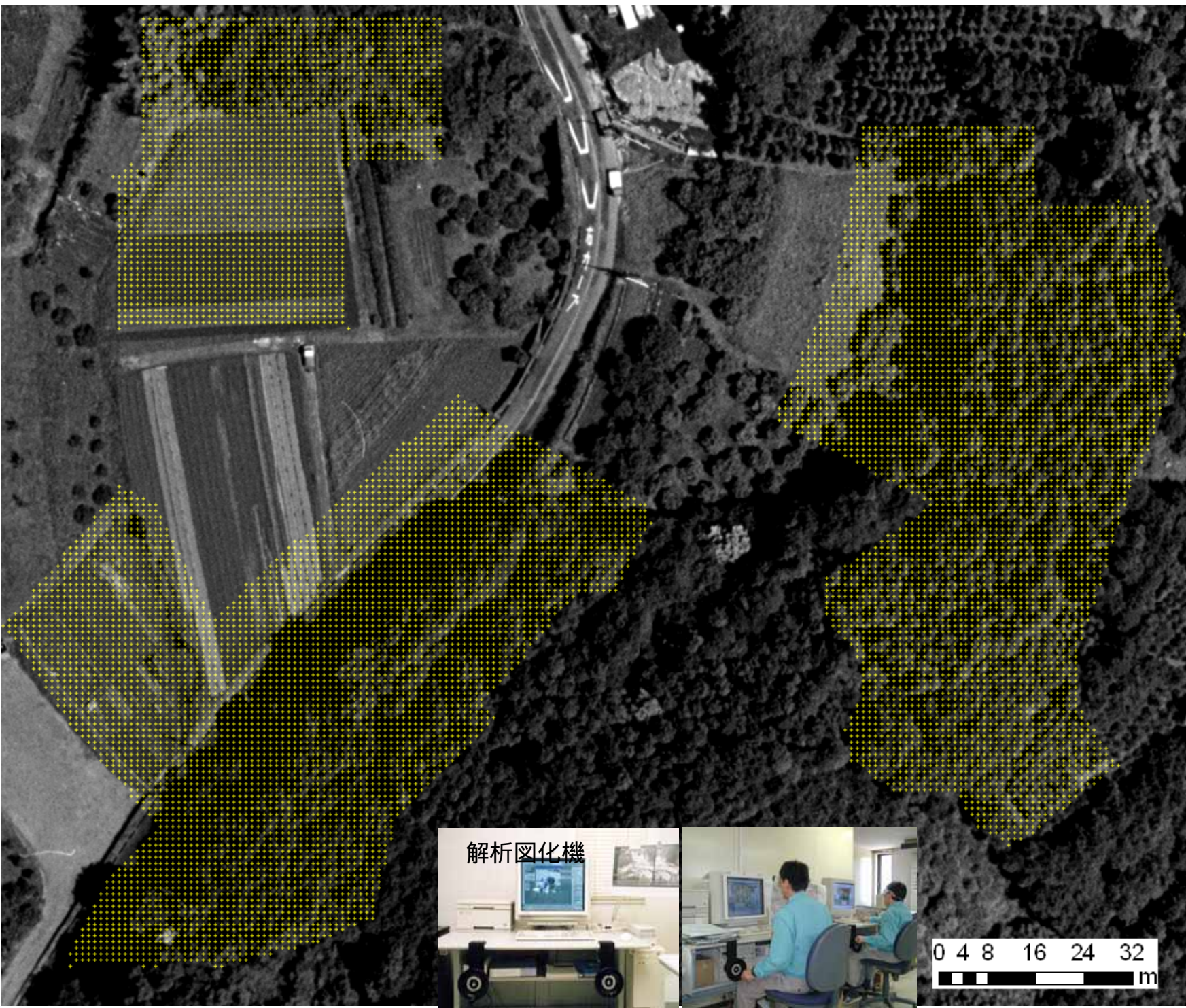
ステレオマッチングのエラー (汎用ソフトは万能ではない)



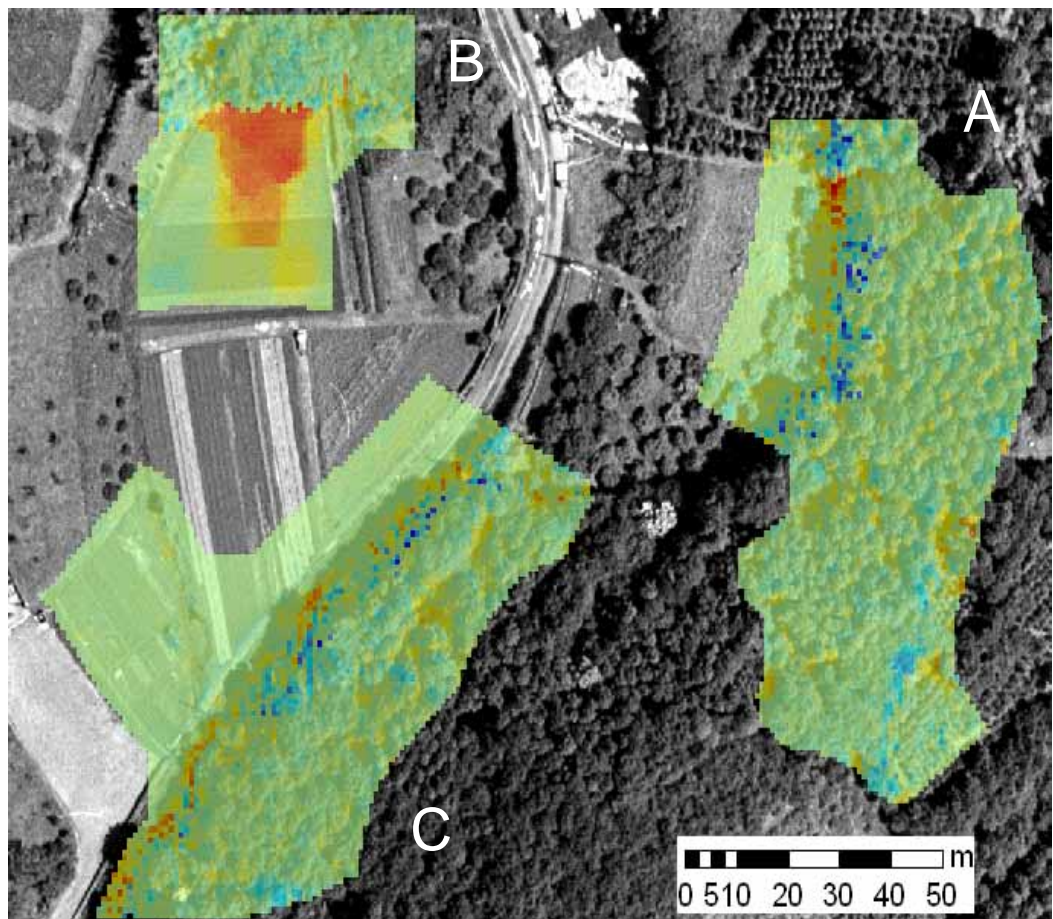
- マッチングパラメータの最適化、自動選択
- 複数のステレオマッチング結果の自動選択
- エラーの検出

写真解析技術としての研究課題

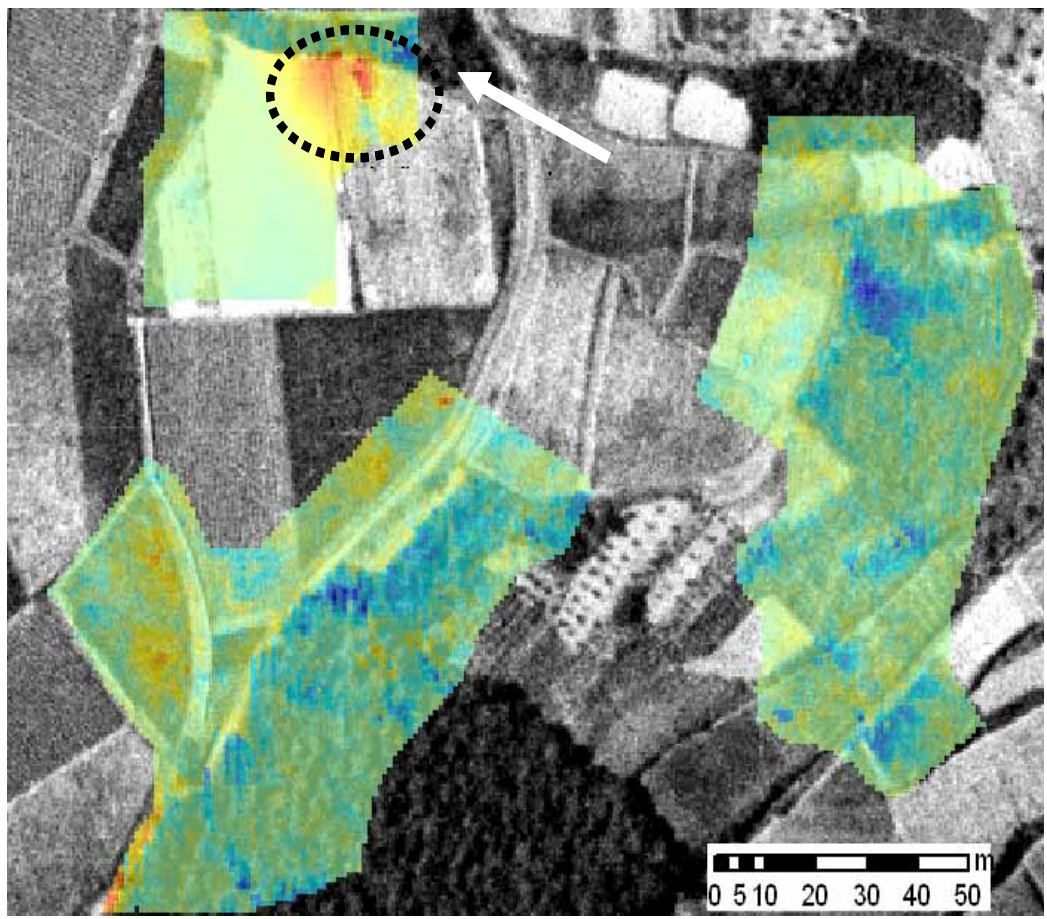
解析図化機による検証



2002年



1967年



サイト	最大差分(- m)	最大差分(+ m)	平均(m)	標準偏差(m)
A	-19.8	15.1	0.01	2.3
B	-7.7	15.2	2.2	4.2
C	-20.1	12.3	0.2	2.0

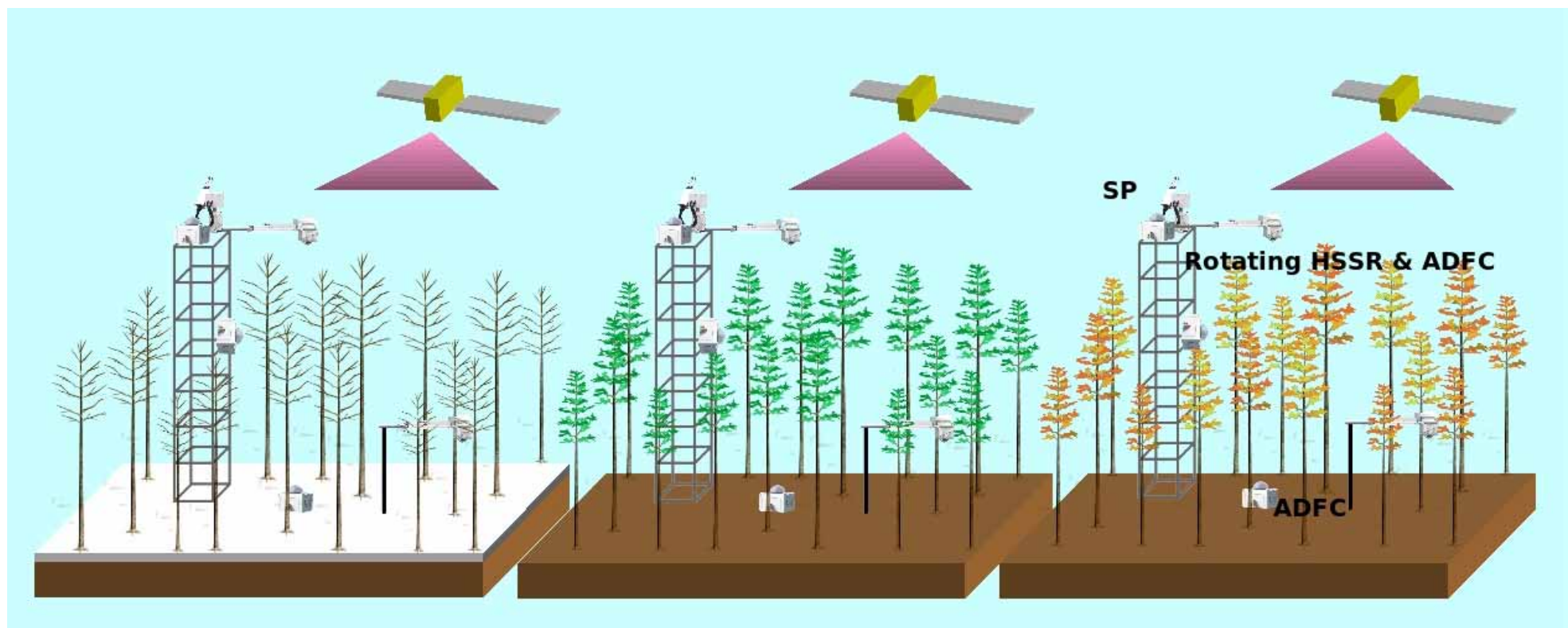
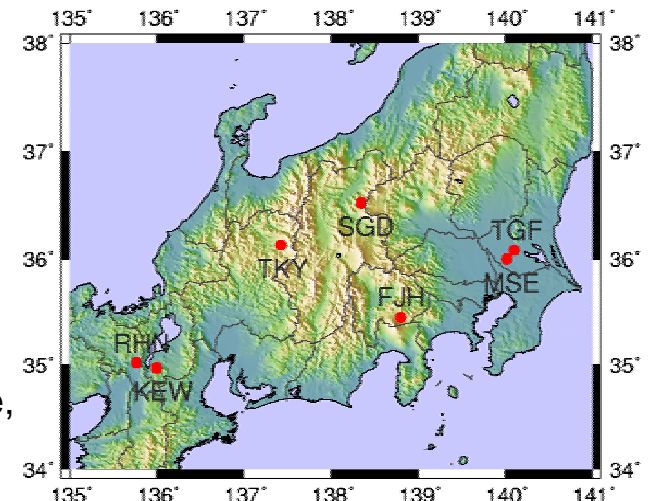
サイト	最大差分(- m)	最大差分(+ m)	平均(m)	標準偏差(m)
A	-14.7	6.7	-1.3	2.4
B	-13.5	17.3	0.9	3.2
C	-14.4	13.9	-1.0	2.8

Phenological Eyes Network (PEN)

PEN

Phenological Eyes Network

Phenology, carbon & water flux, aerosol (yellow sands etc.), spectral reflectance, leaf area (LAI), PAR, FPAR, etc.

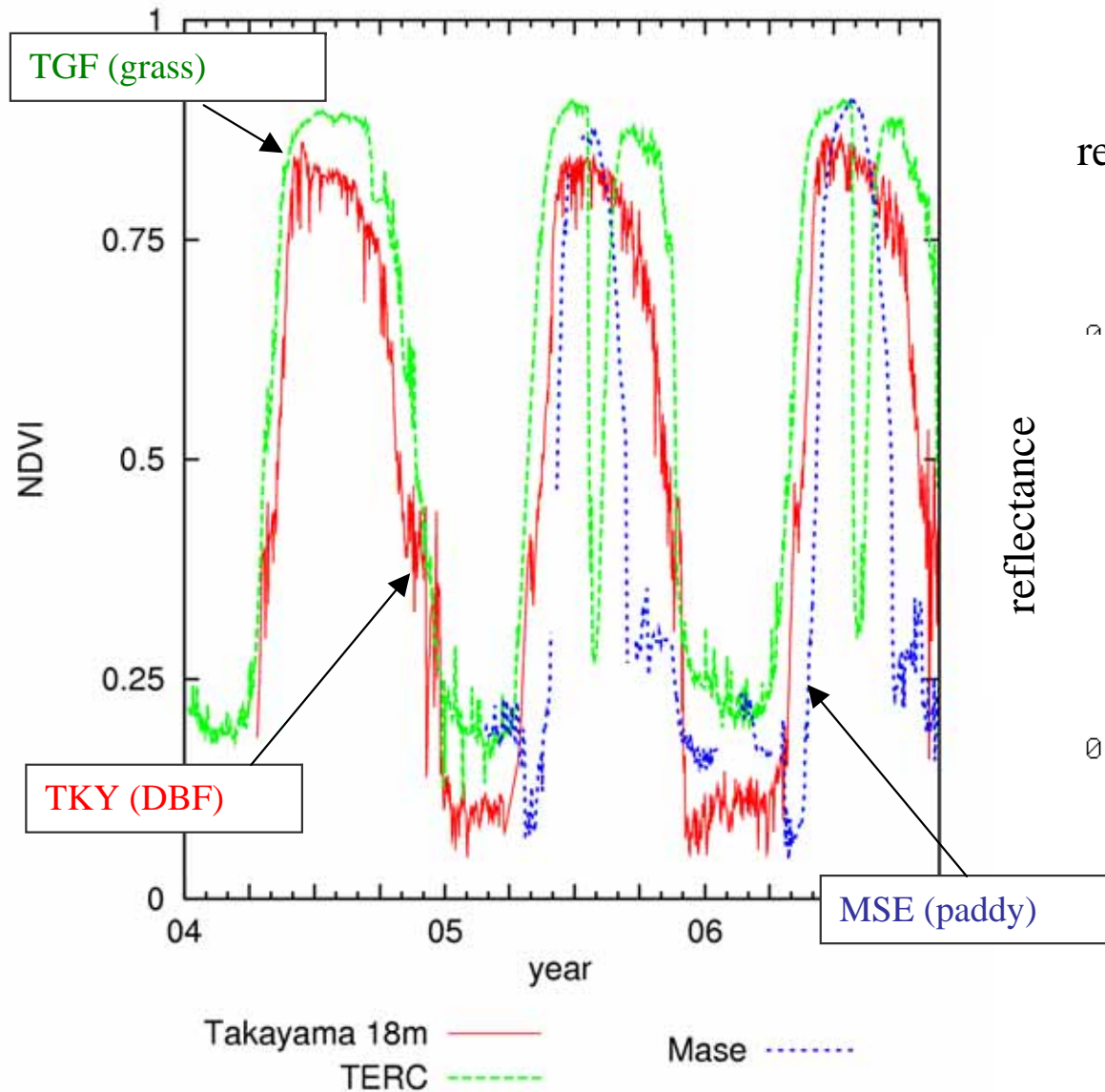


Phenological Eyes Network (PEN)

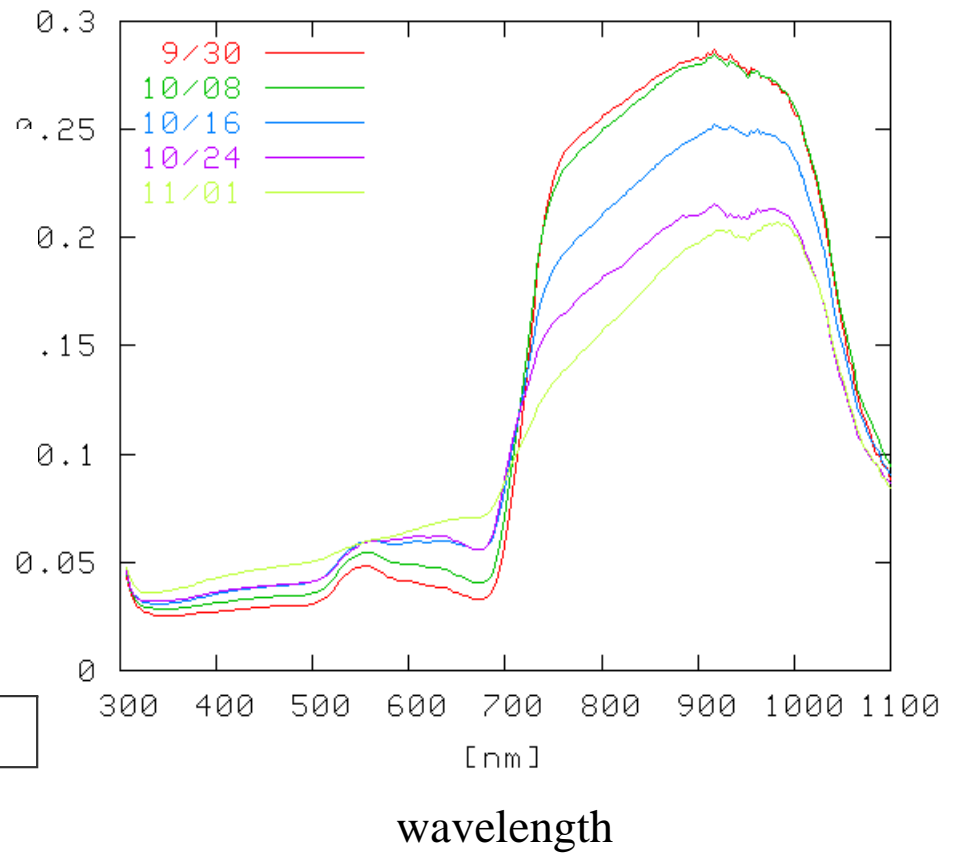
HSSR (hemispherical spectro-radiometer)



Ground measured NDVI at PEN site



reflectance spectrum (Takayama site)



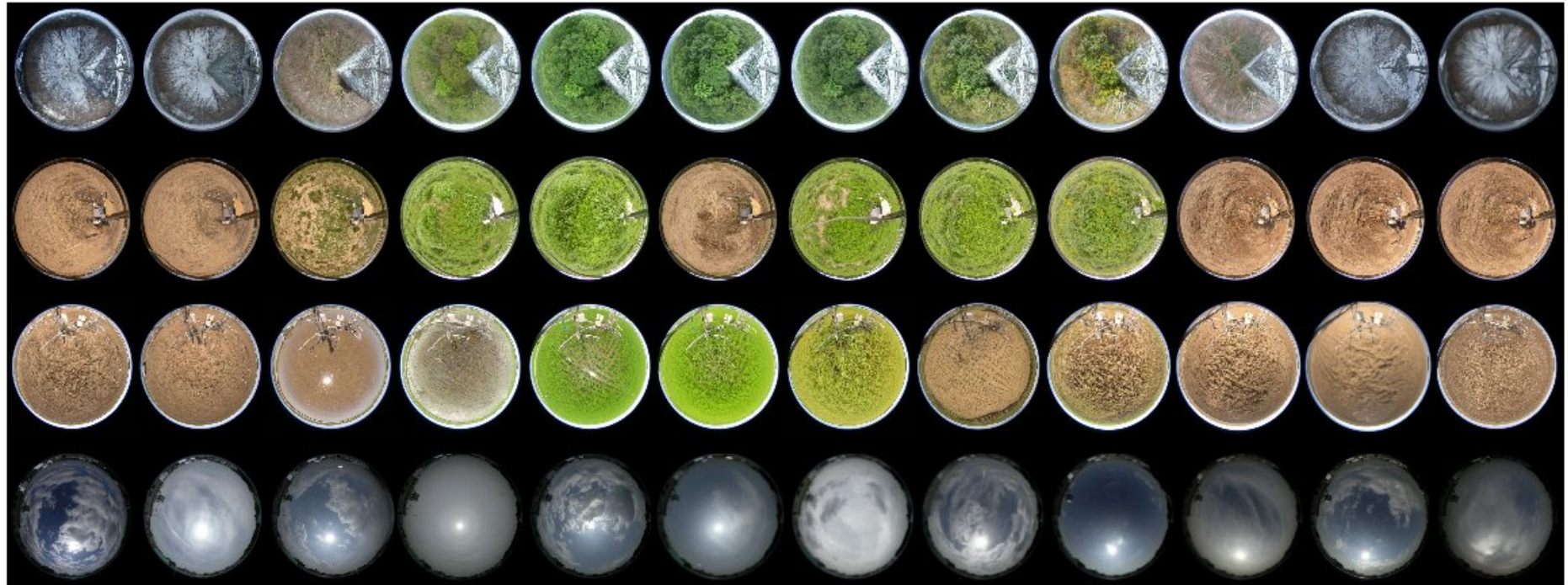
Phenological Eyes Network (PEN)

ADFC (automatic digital fish-eye camera)



month: 3 4 5 6 7 8 9 10 11 12 1 2

TKY



TGF

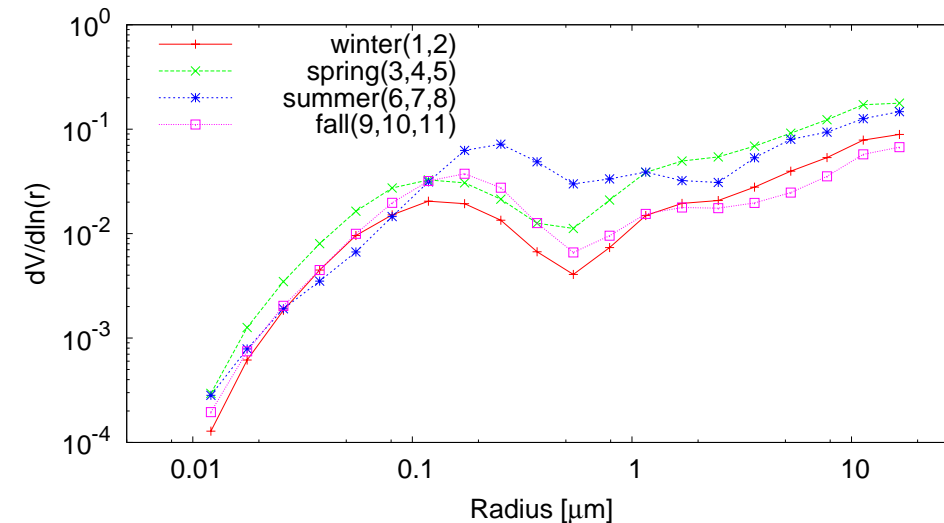
MSE

RHN

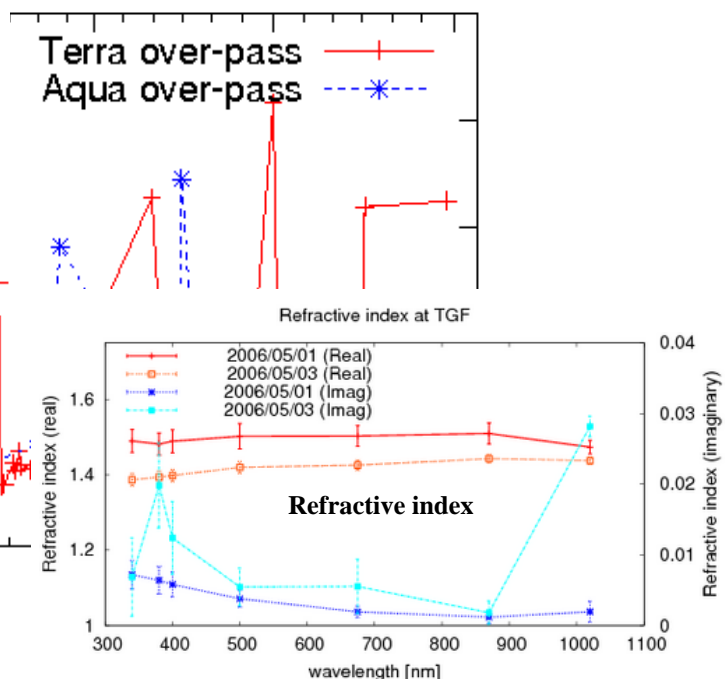
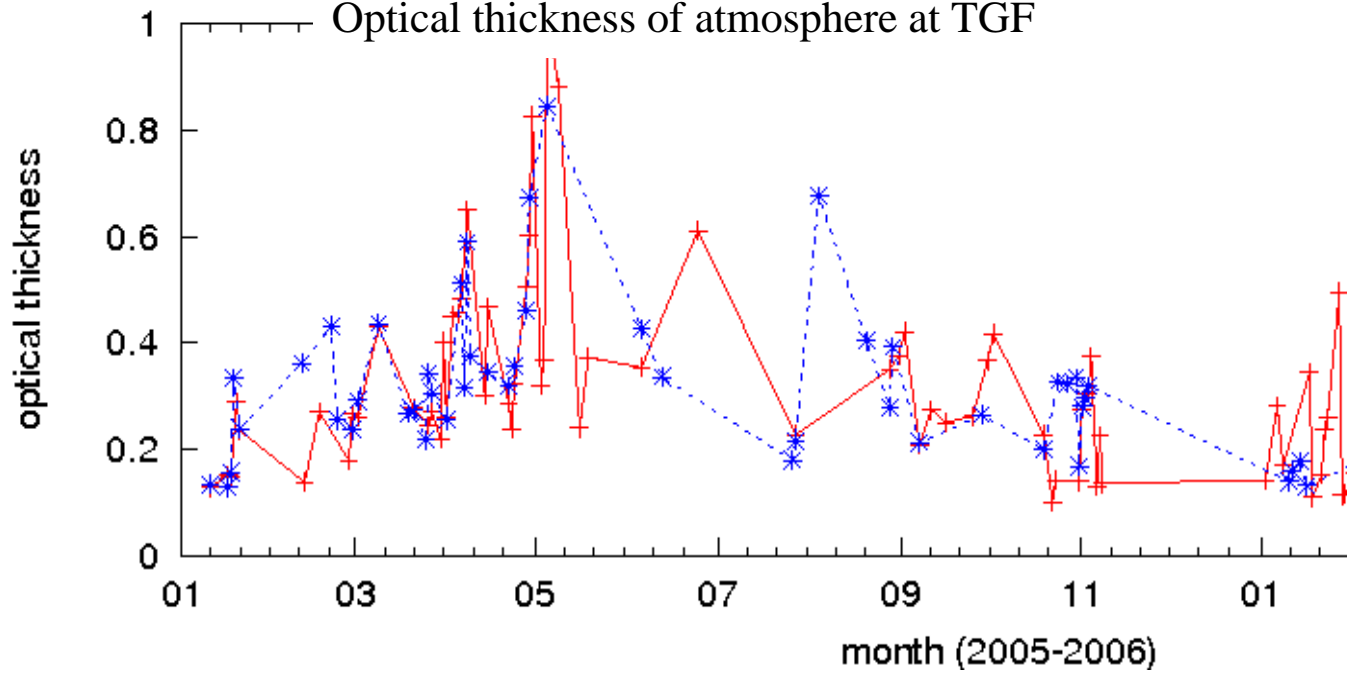
Phenological Eyes Network (PEN)

Skyradiometer (sunphotometer)

aerosol particle size
at TGF (2005)



Optical thickness of atmosphere at TGF

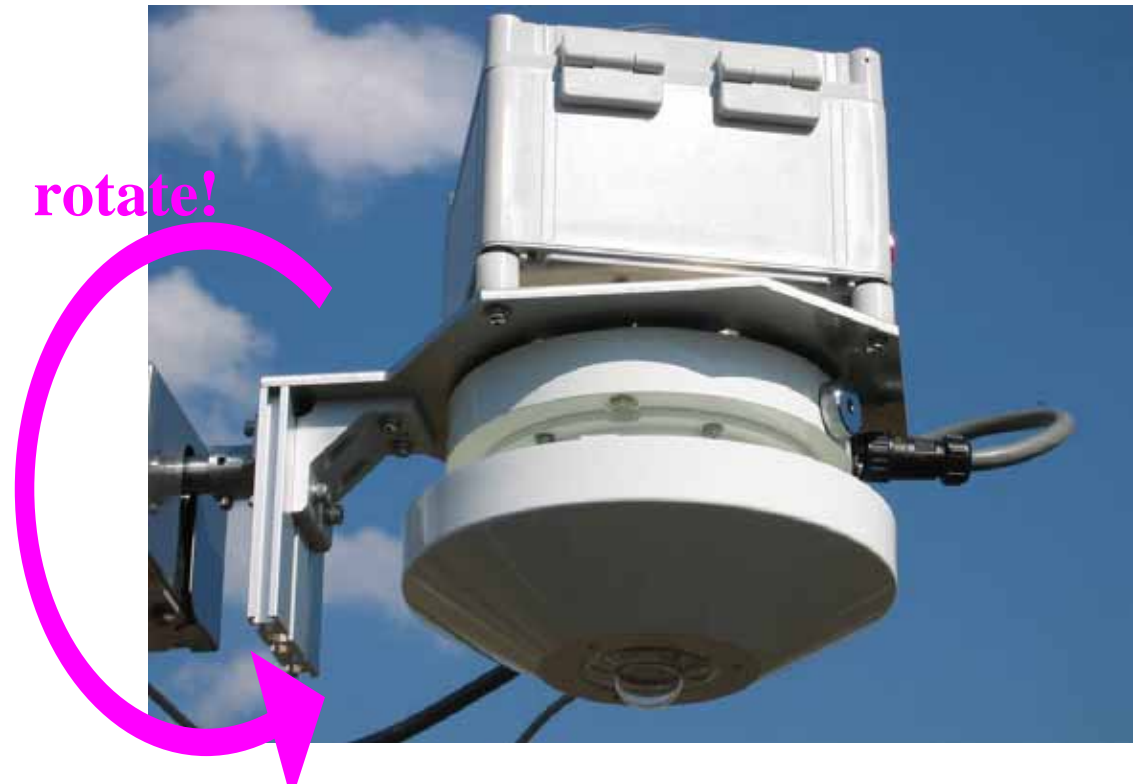
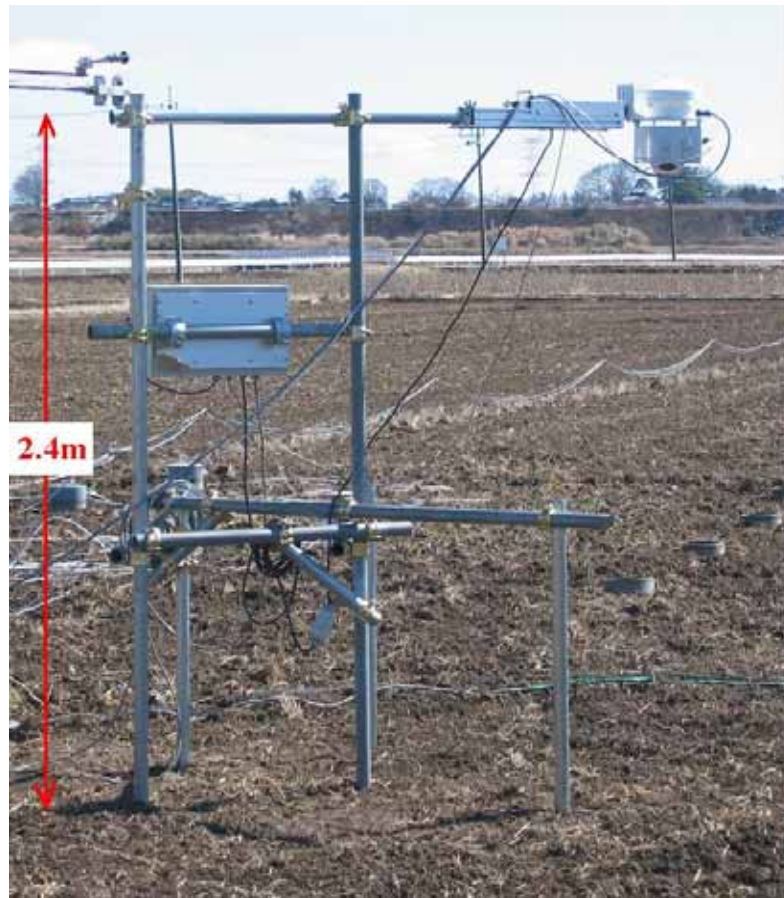


Phenological Eyes Network (PEN)

Installation in MSE

Automatic-capturing Digital Fish-eye Camera (ADFC)

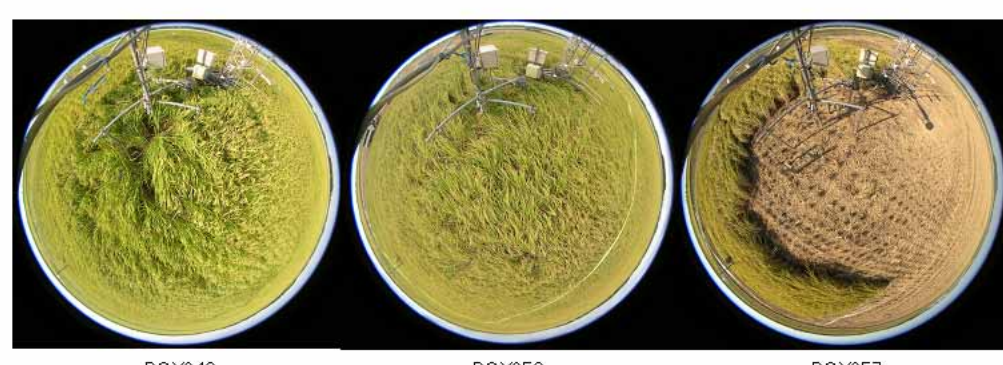
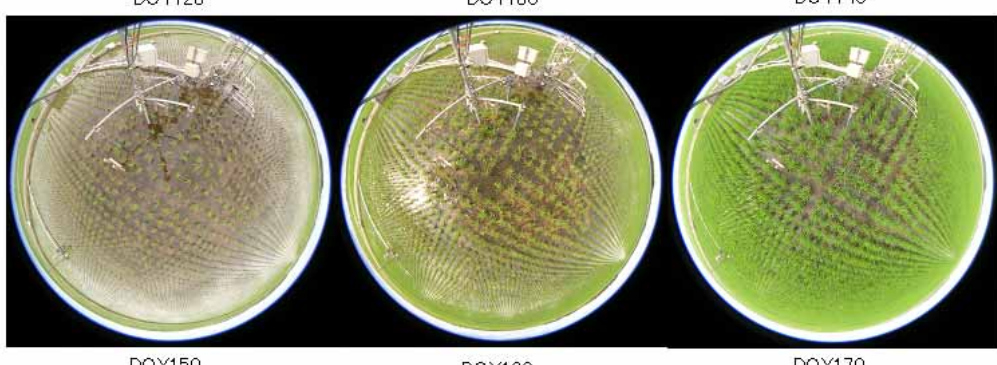
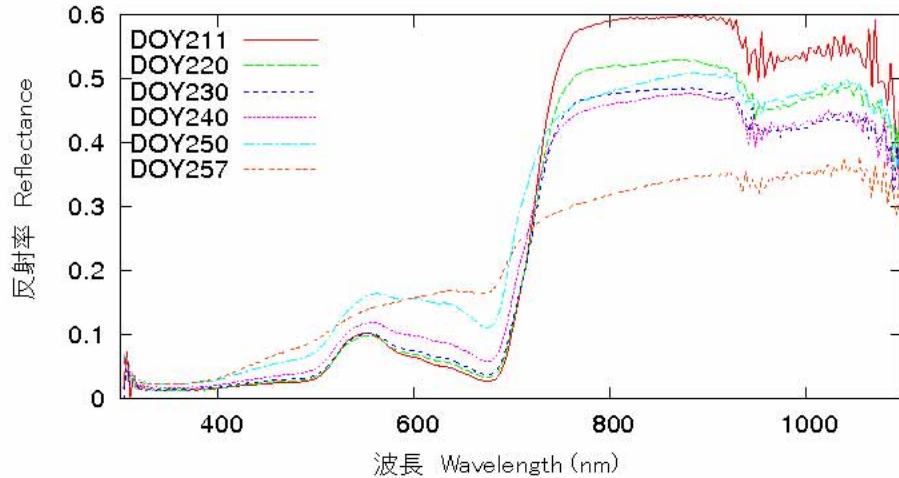
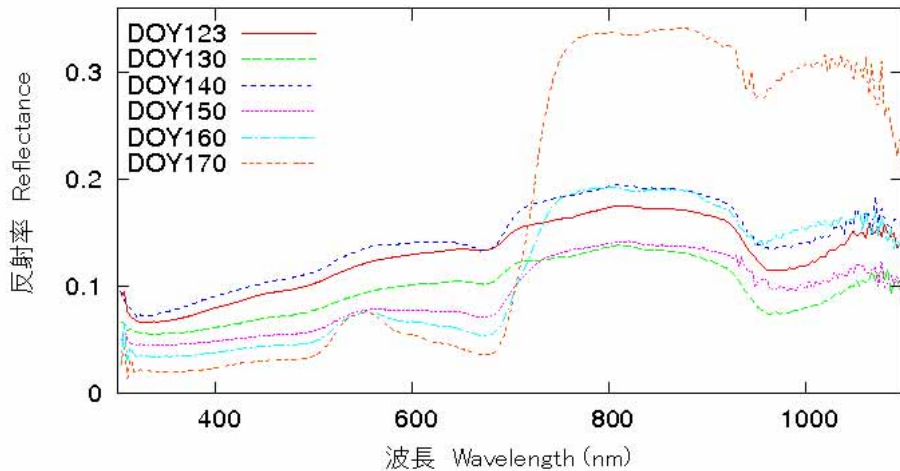
(NIKON Coolpix4300 + FC-8 Fisheye Converter)



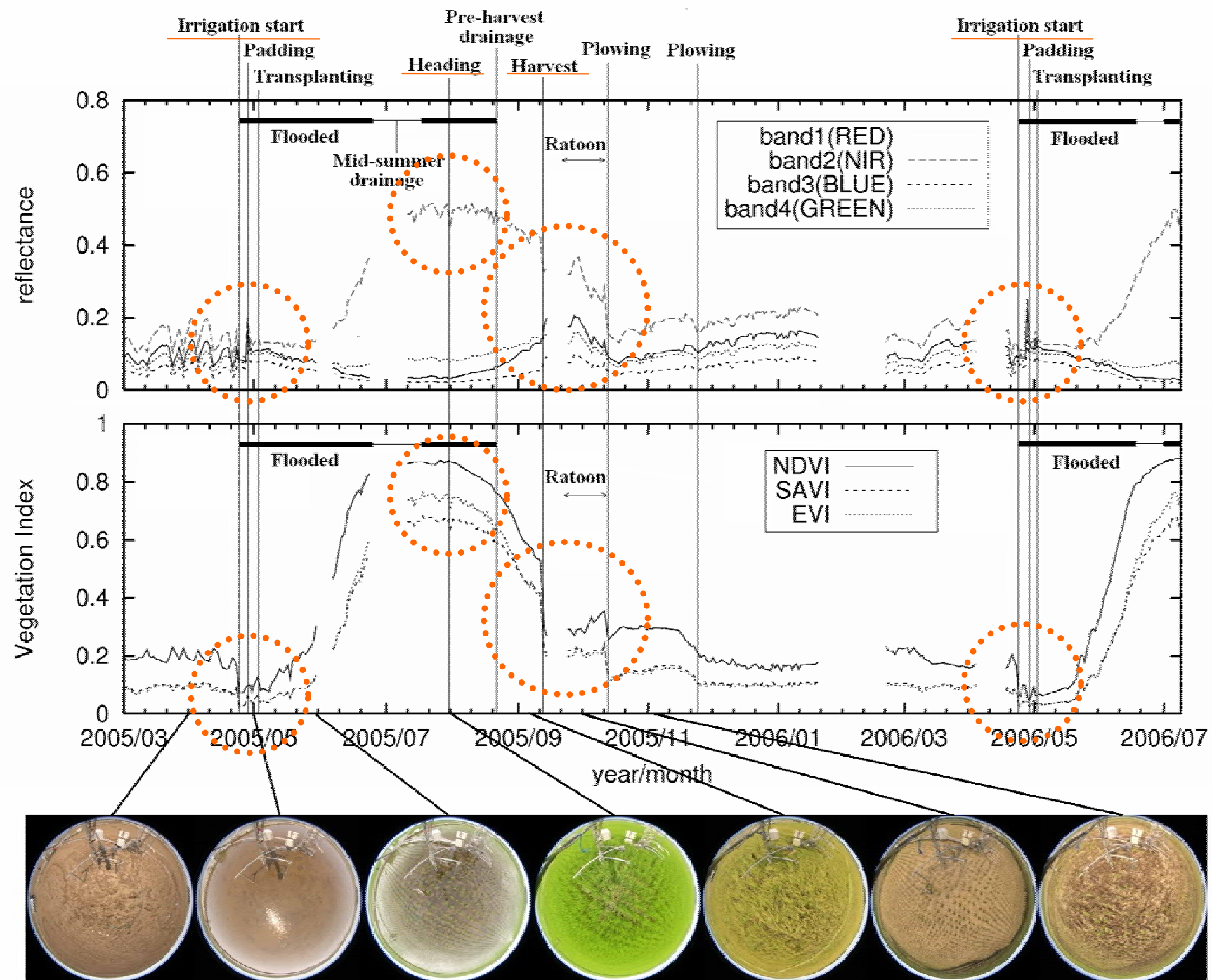
**Hemispherical Spectro-radiometer
(HSSR)**

(Eko MS-700; 350nm-1100nm; 256bands)

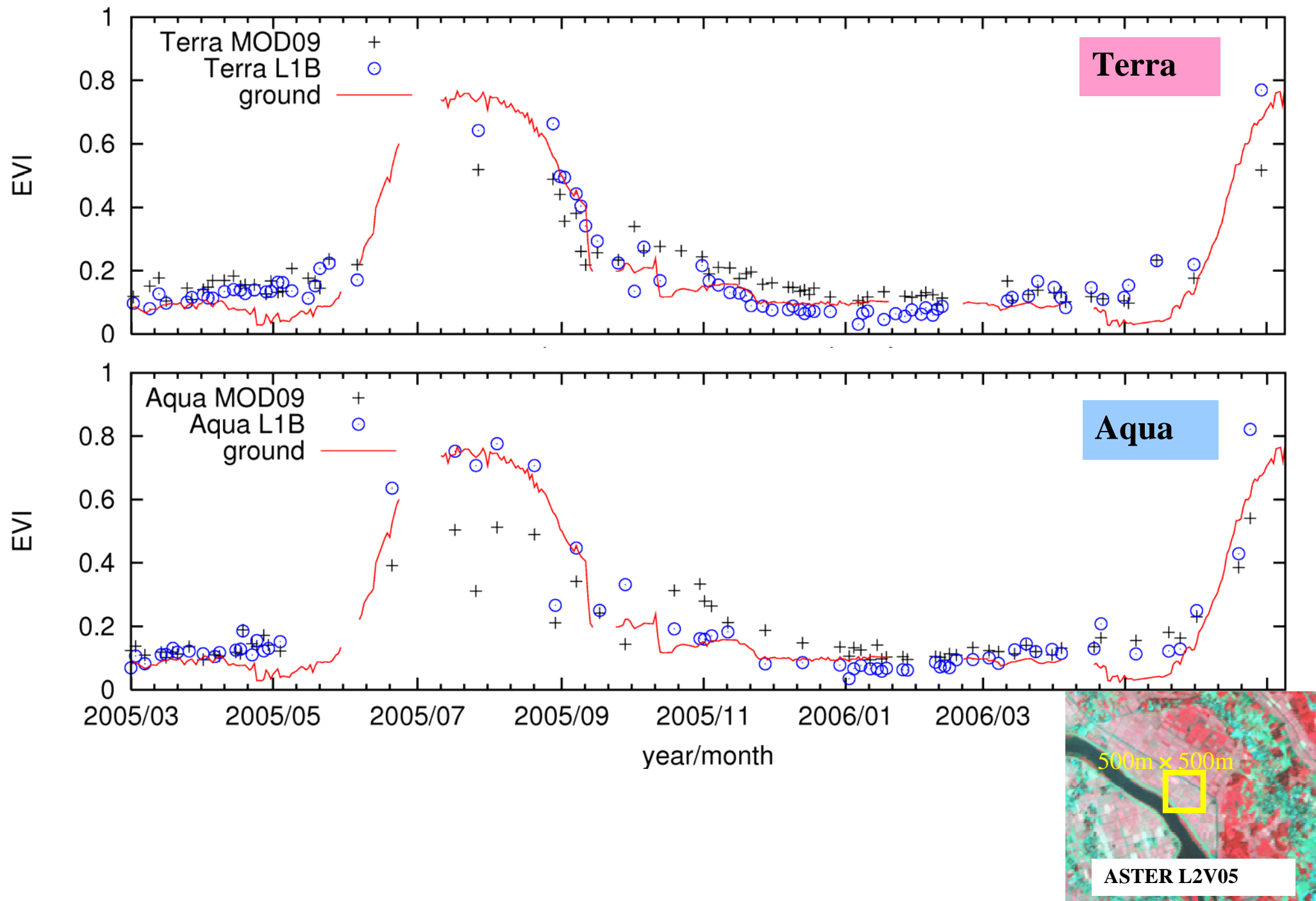
Example: Mase site (paddy), 2005



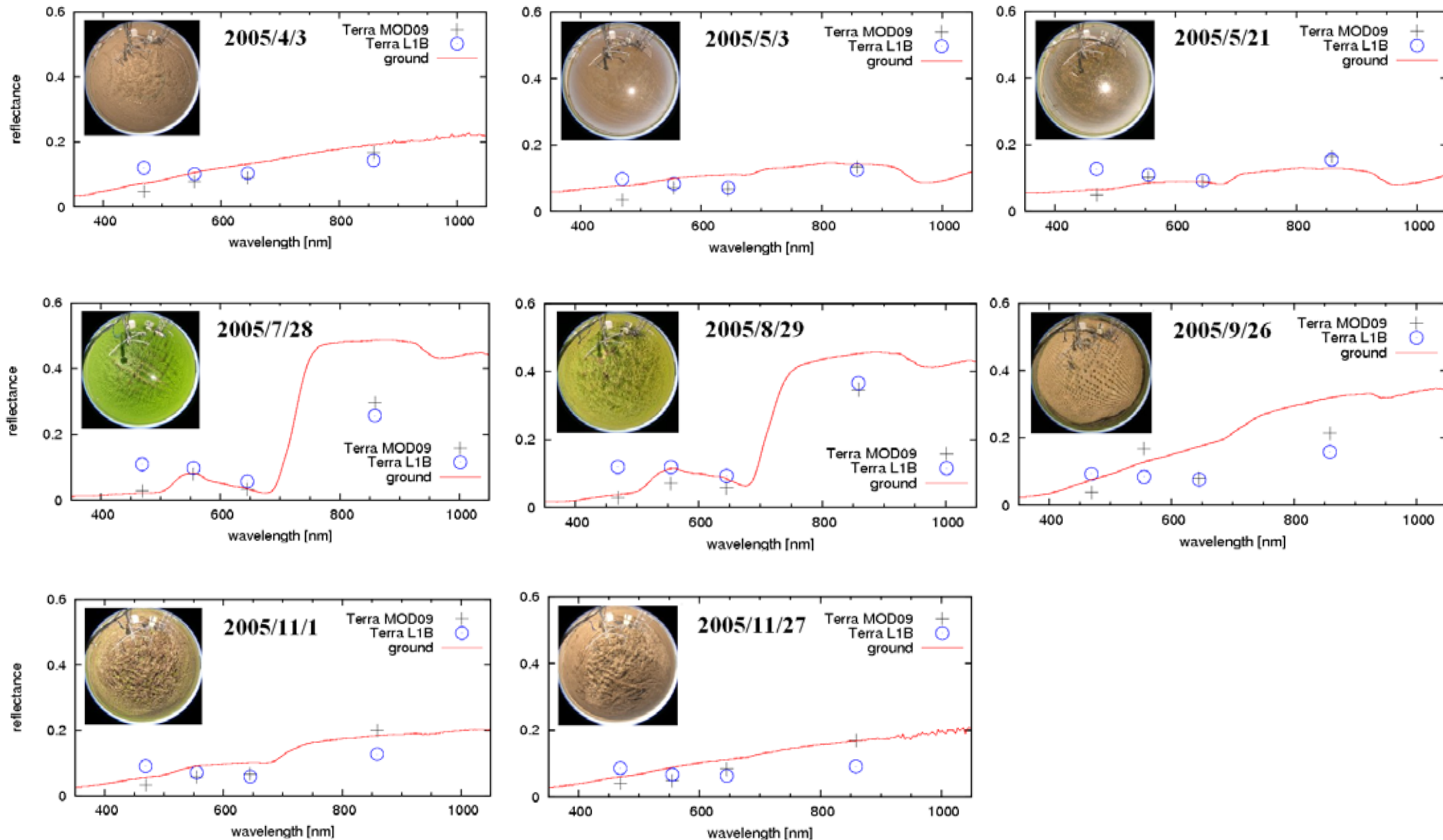
Example: Mase site (paddy), 2005-2006



Example: check of satellite index at Mase site (paddy)



MODIS data vs. ground data: spectrum



Manual observations

Leaf area index (LAI):



litter traps



LAI-2000



TRAC

Monitoring of shoots and leaves



phenology

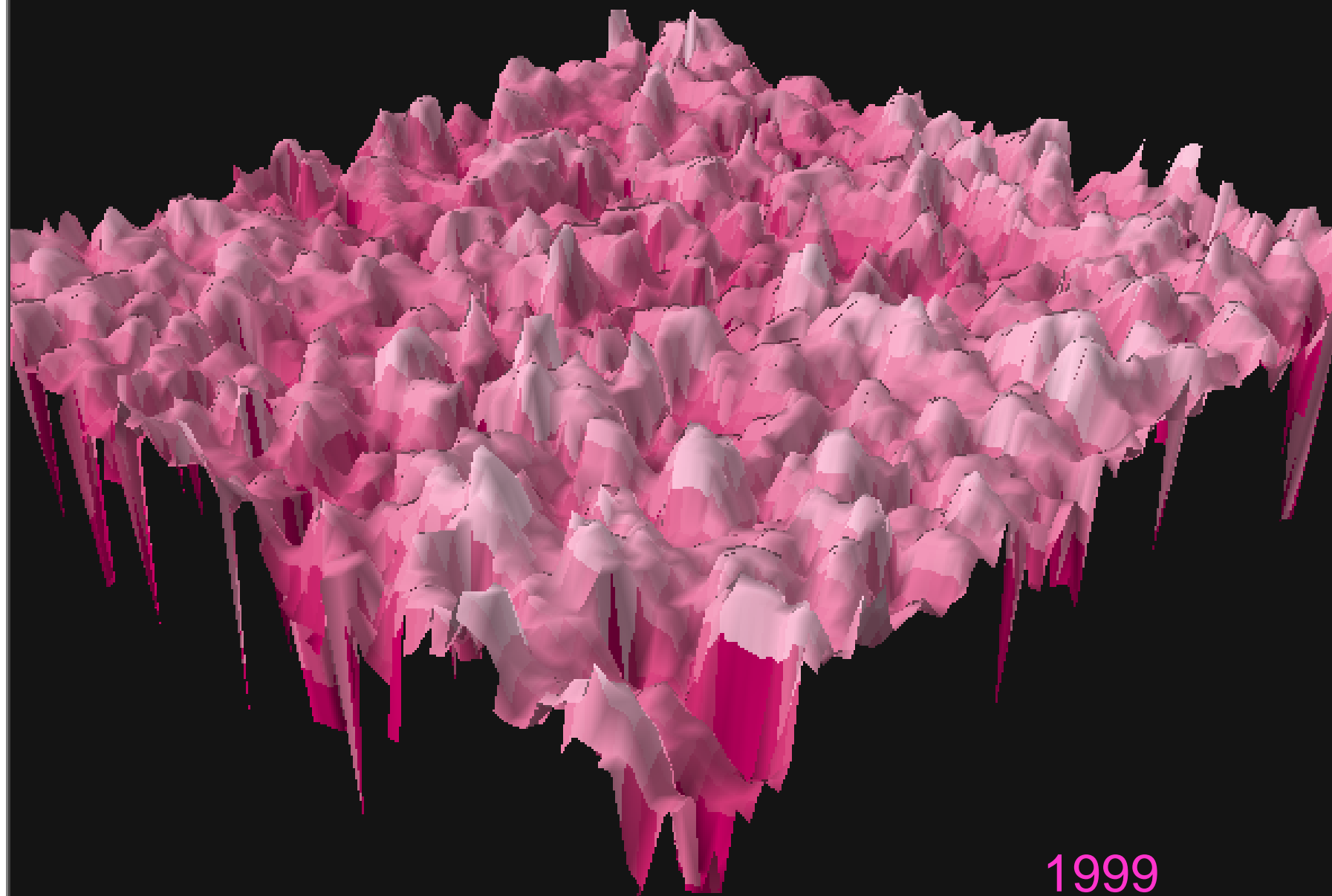


leaf spectrum



leaf physiology

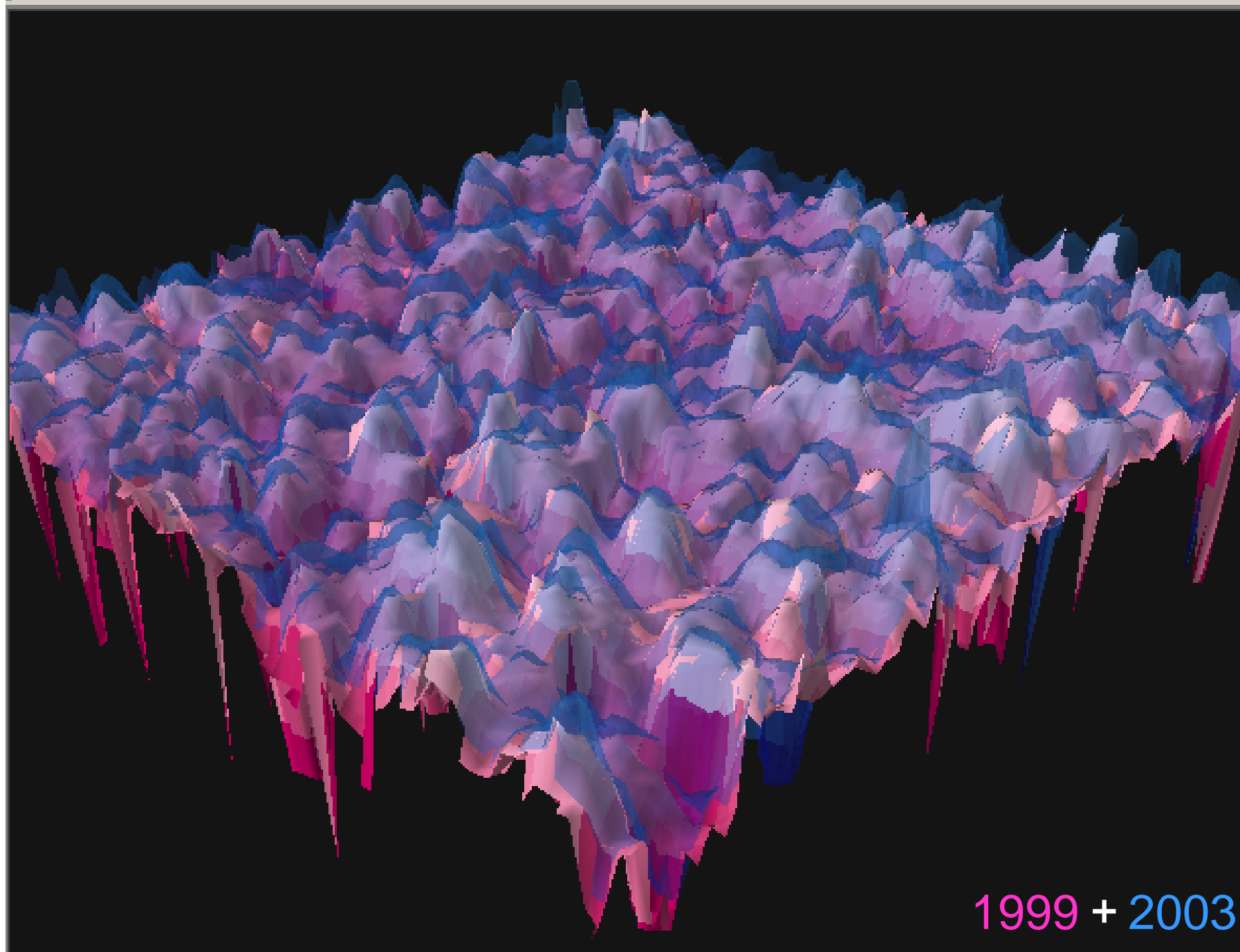
ファイル(F) 編集(E) 表示(V) 選択(S) ツール(T) ウィンドウ(W) ヘルプ(H)



1999



ファイル(F) 編集(E) 表示(V) 選択(S) ツール(T) ウィンドウ(W) ヘルプ(H)



TOC の表示/非表示を切り替えます。



Tree Height Monitoring by LiDAR

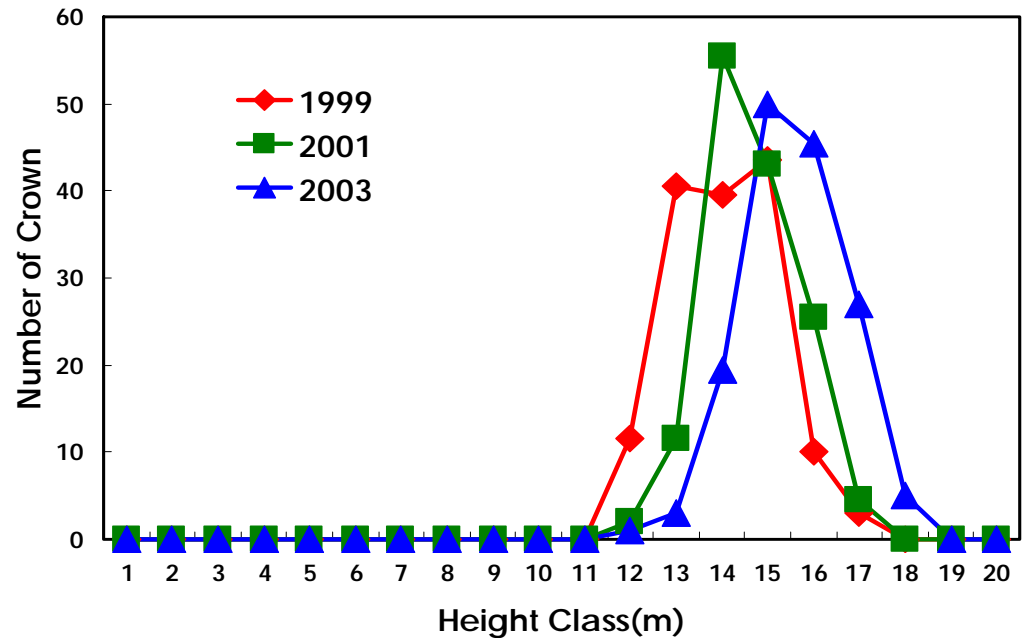
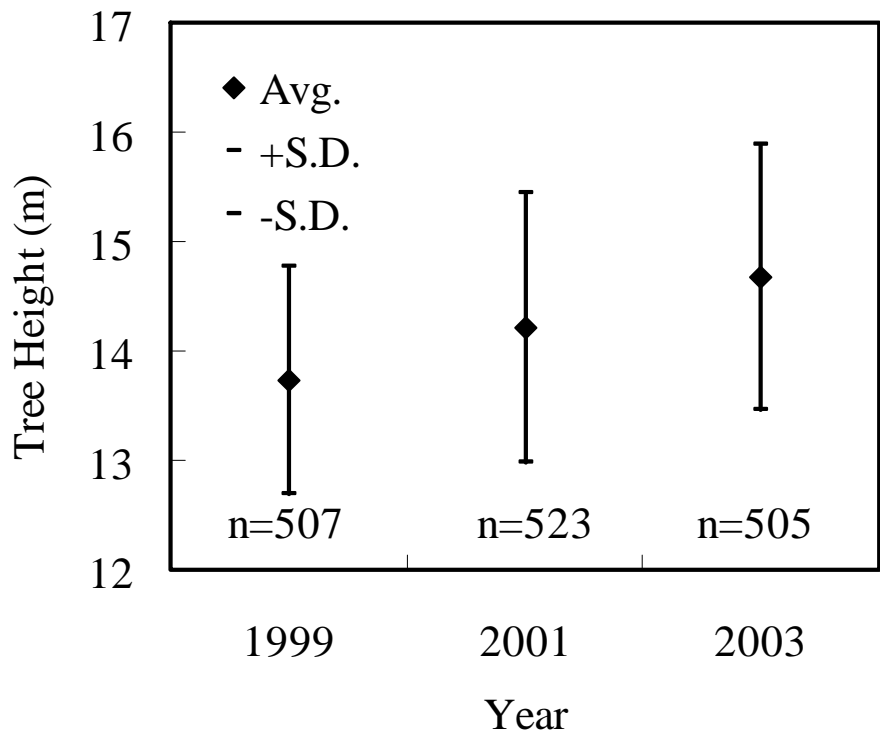
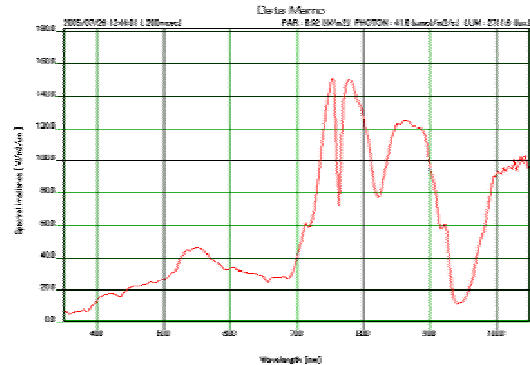


Fig. Histogram of number of crown

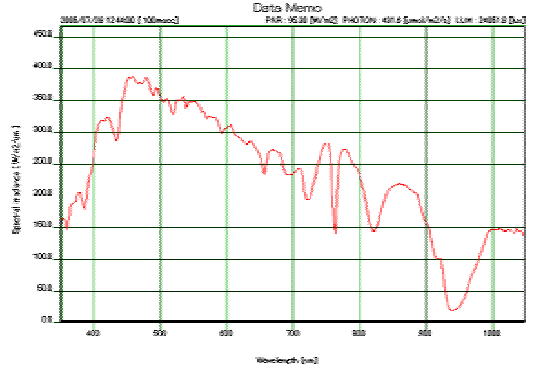
Average (left) and Histogram (right) of tree height obtained by laser survey

分光反射率の算出方法

反射光の分光放射量



全天分光放射量

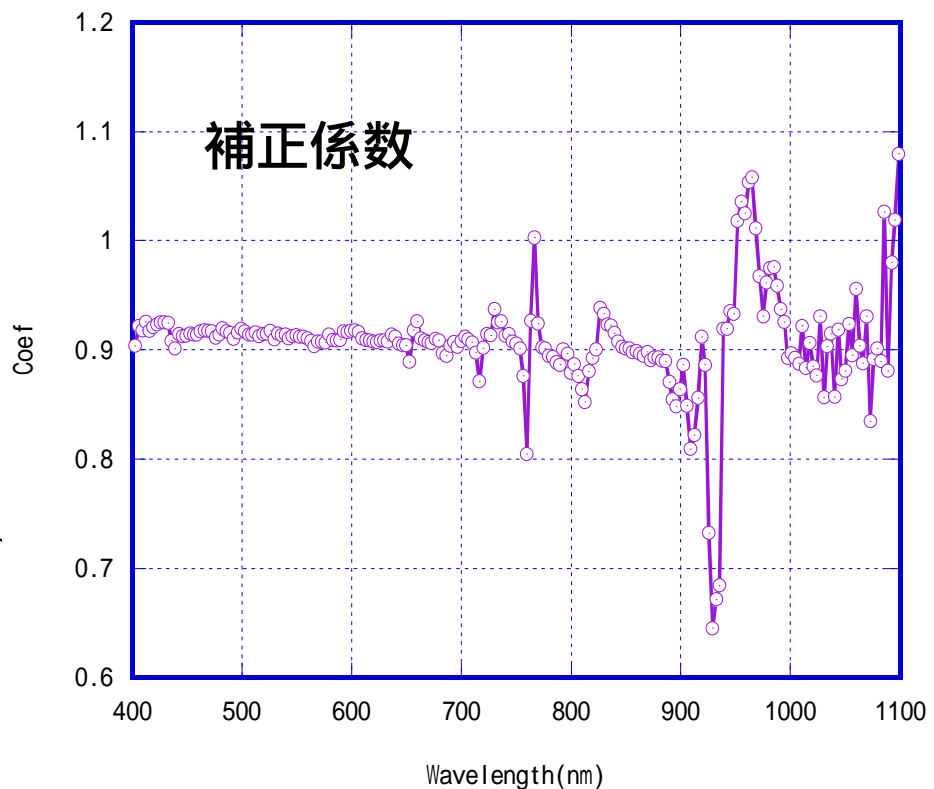


植生からの反射

両者の比を取ることにより
分光反射率を算出

上向き、下向き放射を同時測定
する必要性

1. 上下向きに2台の分光計を設置



2. 計算

- ・同じ
- ・機差
- ・上下
- ・位置
- ・重量

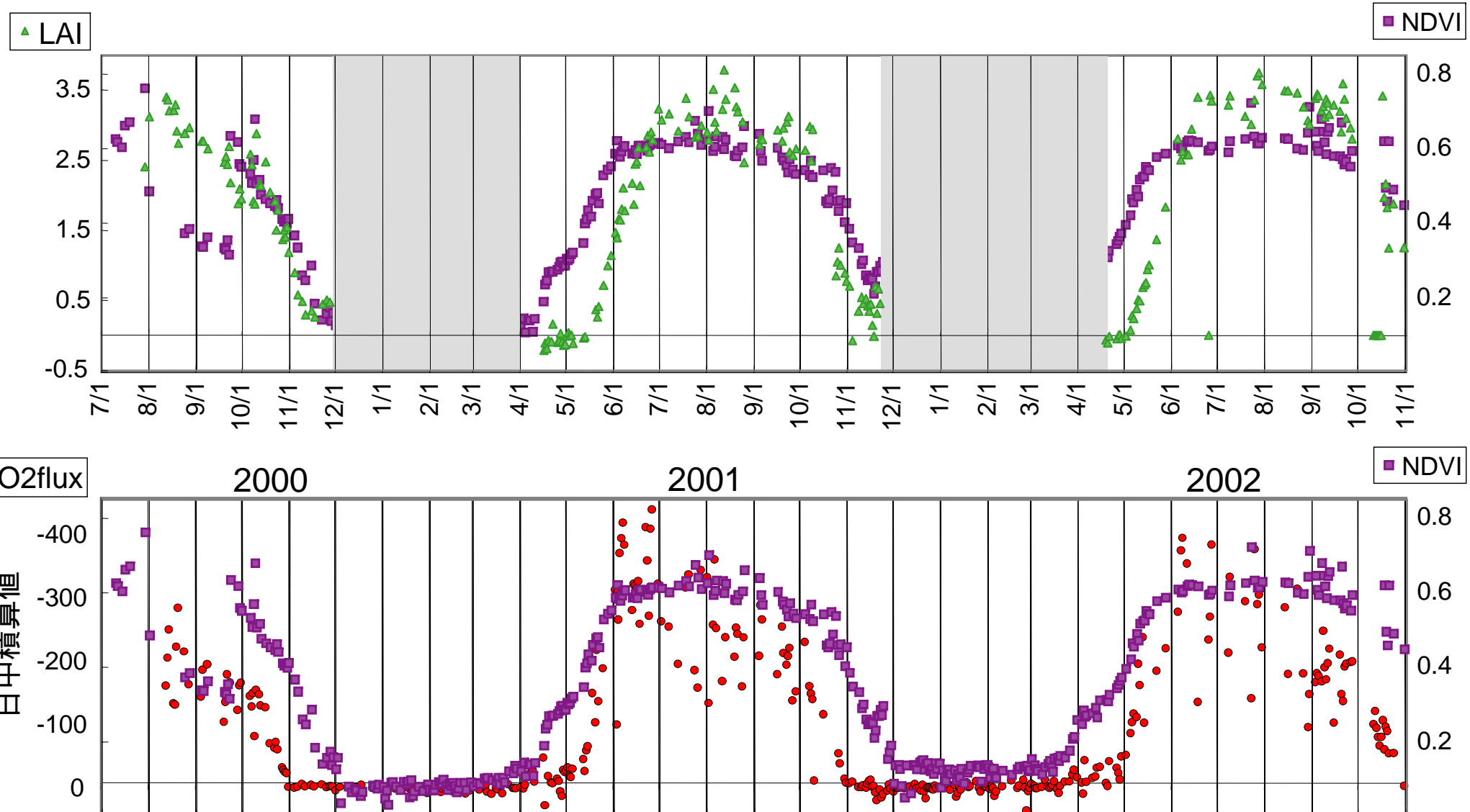


対象エリア



- ・里地里山保全再生モデル事業対象地(環境省)
- ・地理院撮影の150mmレンズ
- ・土地被覆が多様(傾斜地、平地、農地、都市……)

NDVIの変動が表すパラメータは？



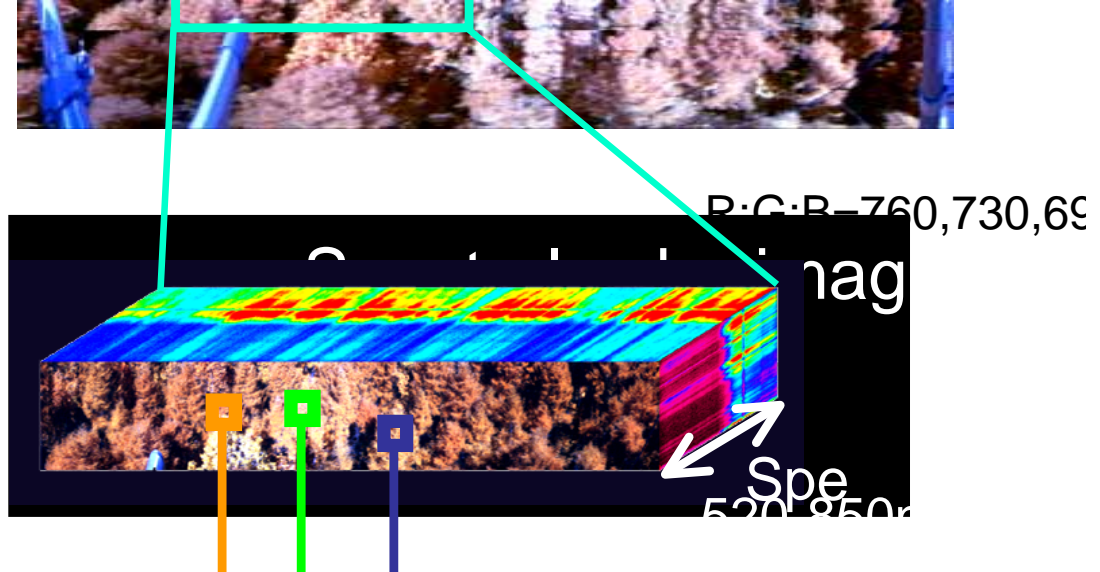
苫小牧フラックスリサーチサイトにおけるカラマツ樹冠上分光計測結果 (2000年～2004年)



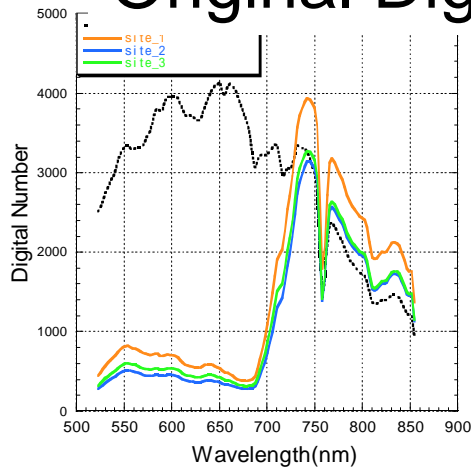
苫小牧フラックスリサーチサイト(北海道)
北緯42度44分、東経141度31分

対象

ニホンカラマツ(*Larix kaempferi* Sarg.)
樹高; 18 ~ 20m、樹齢; 約45年



Original Digital Number



Seasonal Change of NDVI image

9/19

9/26

10/6

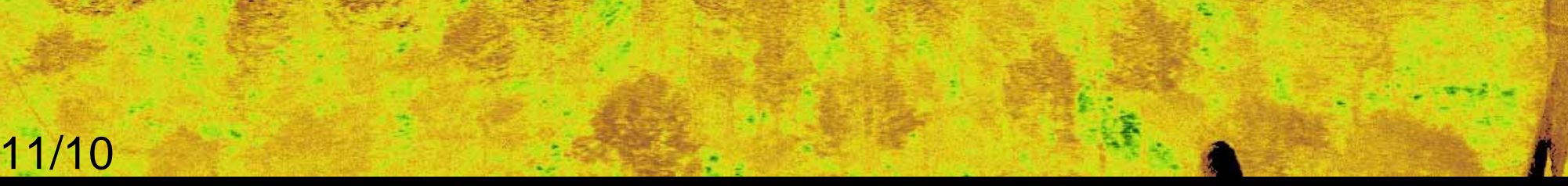
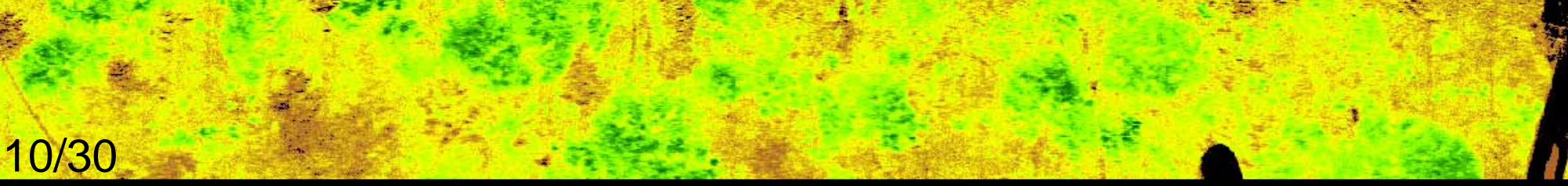
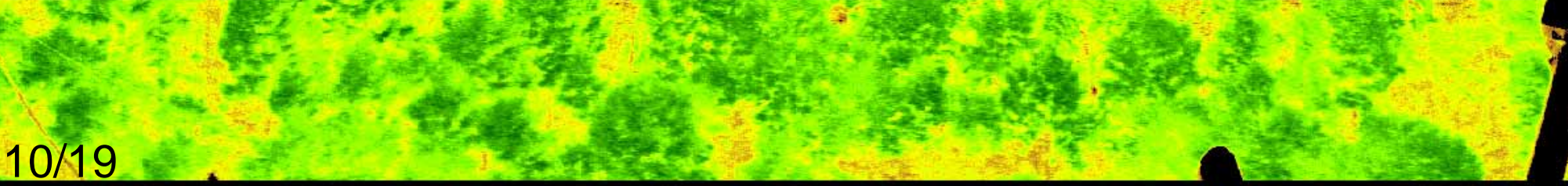
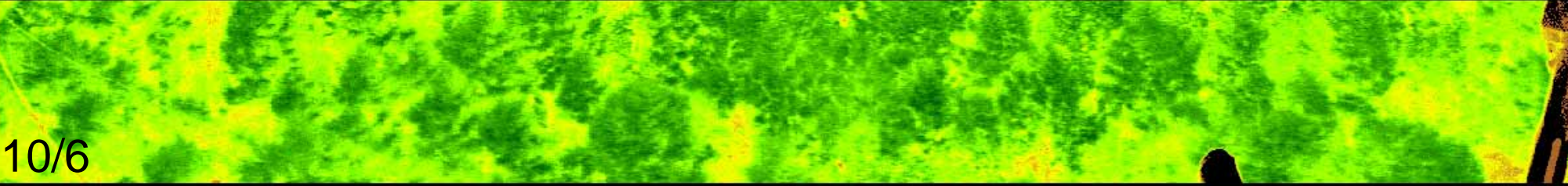
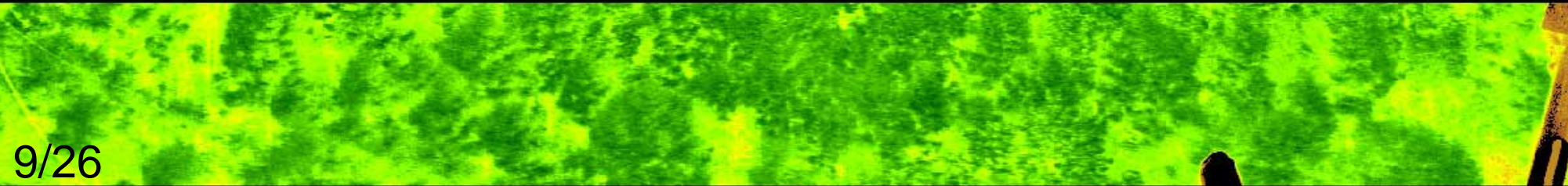
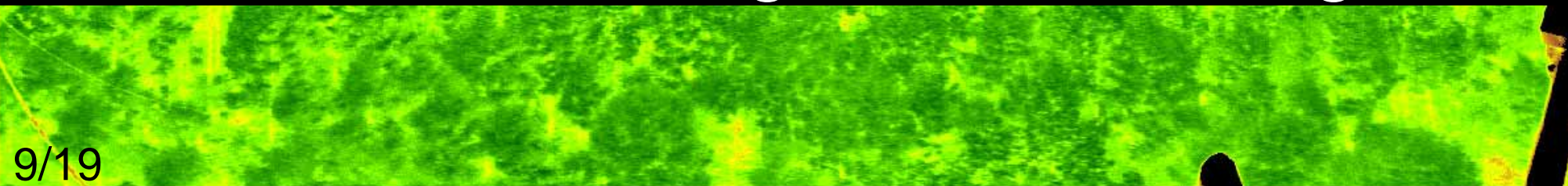
10/19

10/30

11/10

low

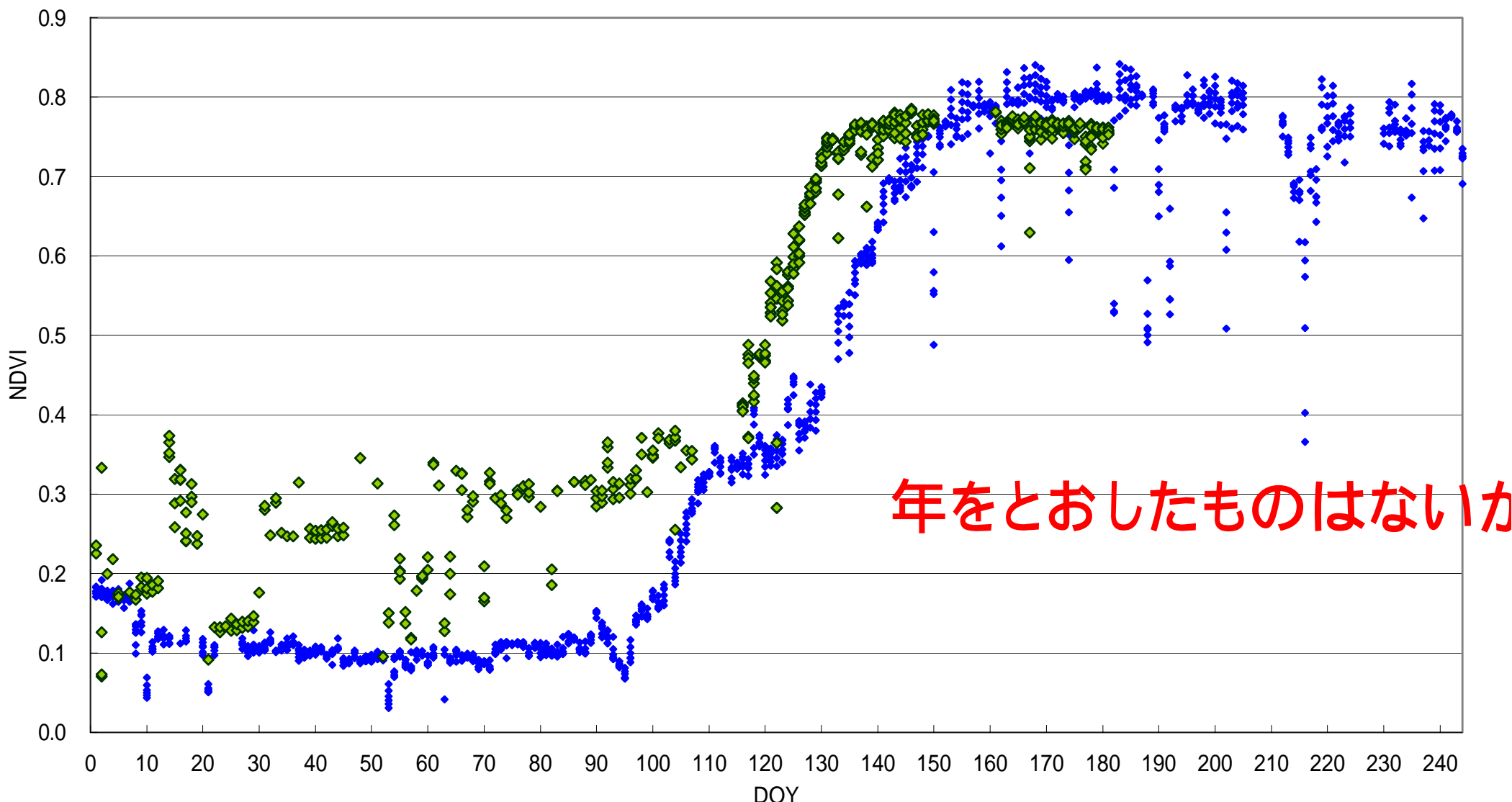
high



NDVI Fuji & Tomakomai
(カラマツ)

1/1-9/1 11:00-13:30

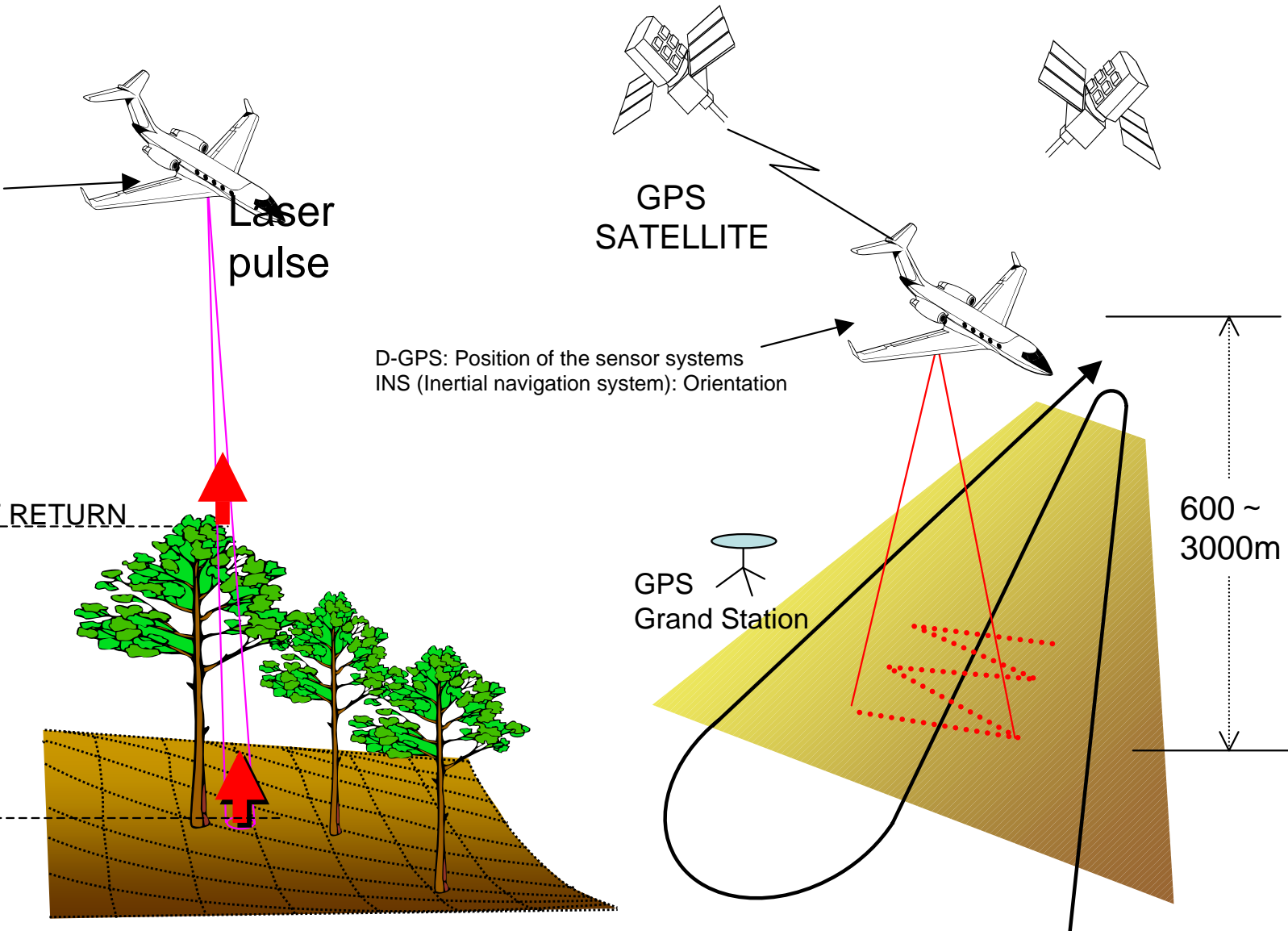
Tomakomai2004 Fuji2006



富士北麓も林床はほぼ0.3程度
積雪時のみ0.1まで低下; 苫小牧とほぼ同じ傾向

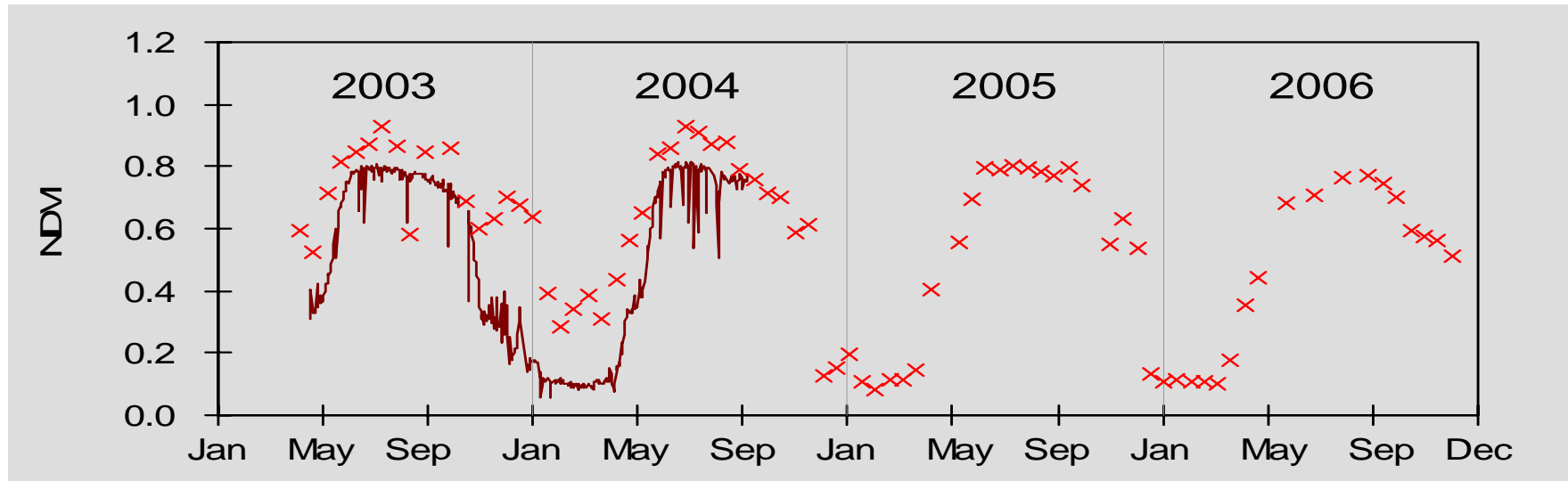
Airborne Lidar Systems

(Light Detection And Ranging)

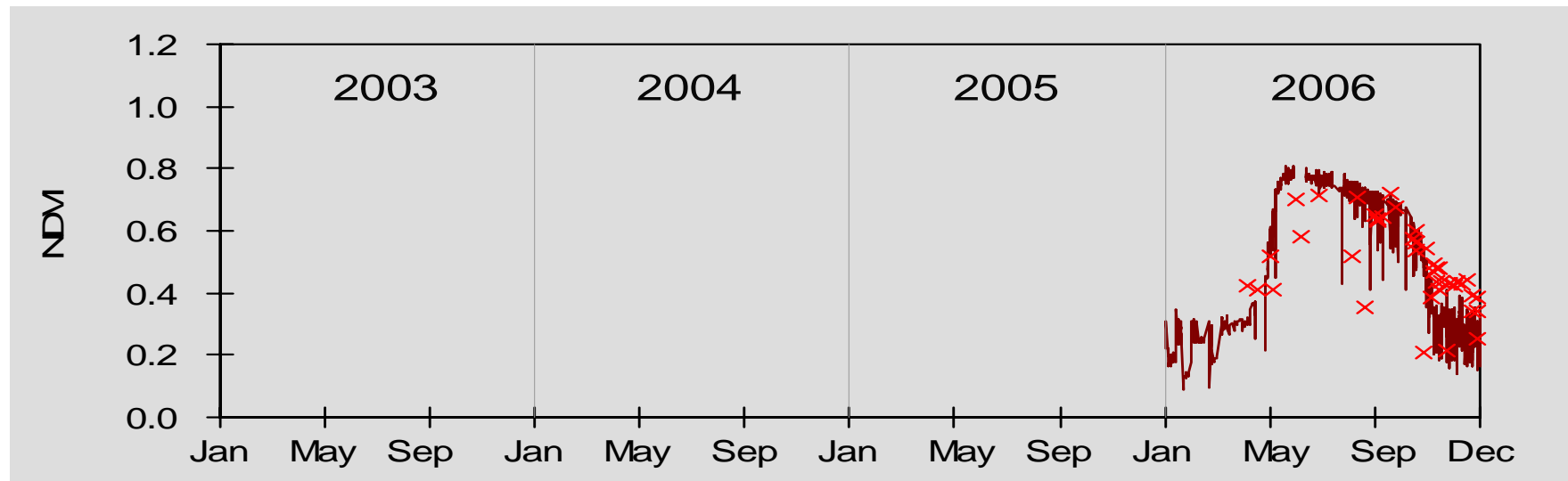


Ground measured NDVI and MODIS NDVI

TOMAKOMAI



FUJI



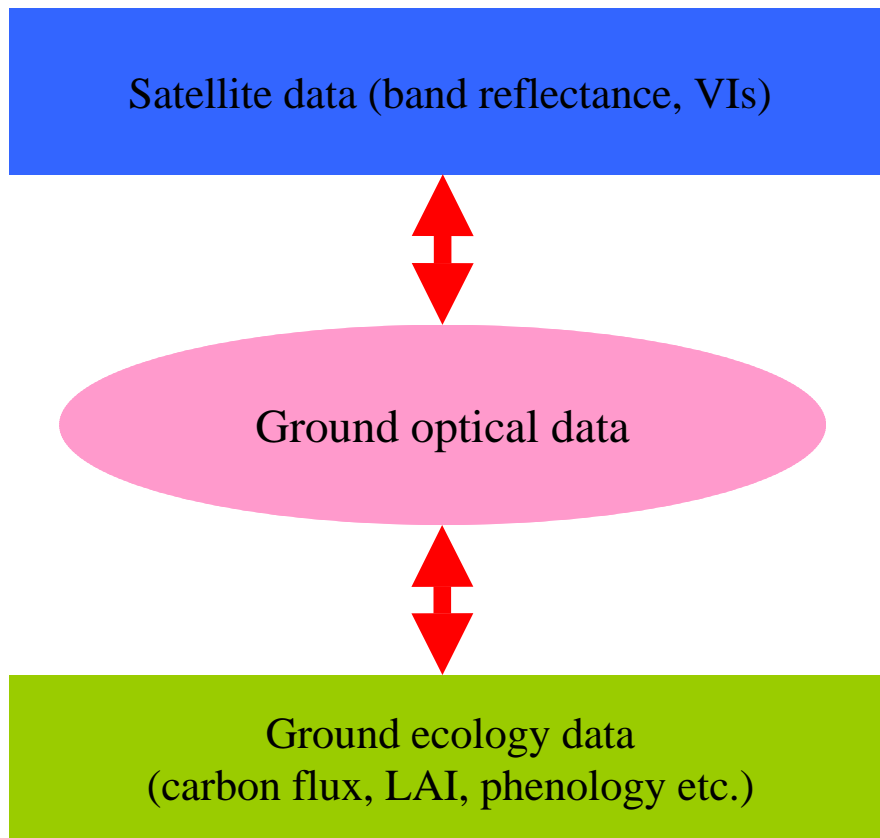
神奈川県秦野市の里山の変化(寺山地区)

1946 1967 1983 1988 2002年



Phenological Eyes Network (PEN)

We need ground data for validation of ecology remote sensing.



Systematic error due to cloud, aerosol, sensor angle, sun angle, etc., within a single satellite sensor.

Difference in overpass-time, band setting, etc. among multiple sensor.

We need stable, long-term, multi-site ground datasets to mitigate these problems.

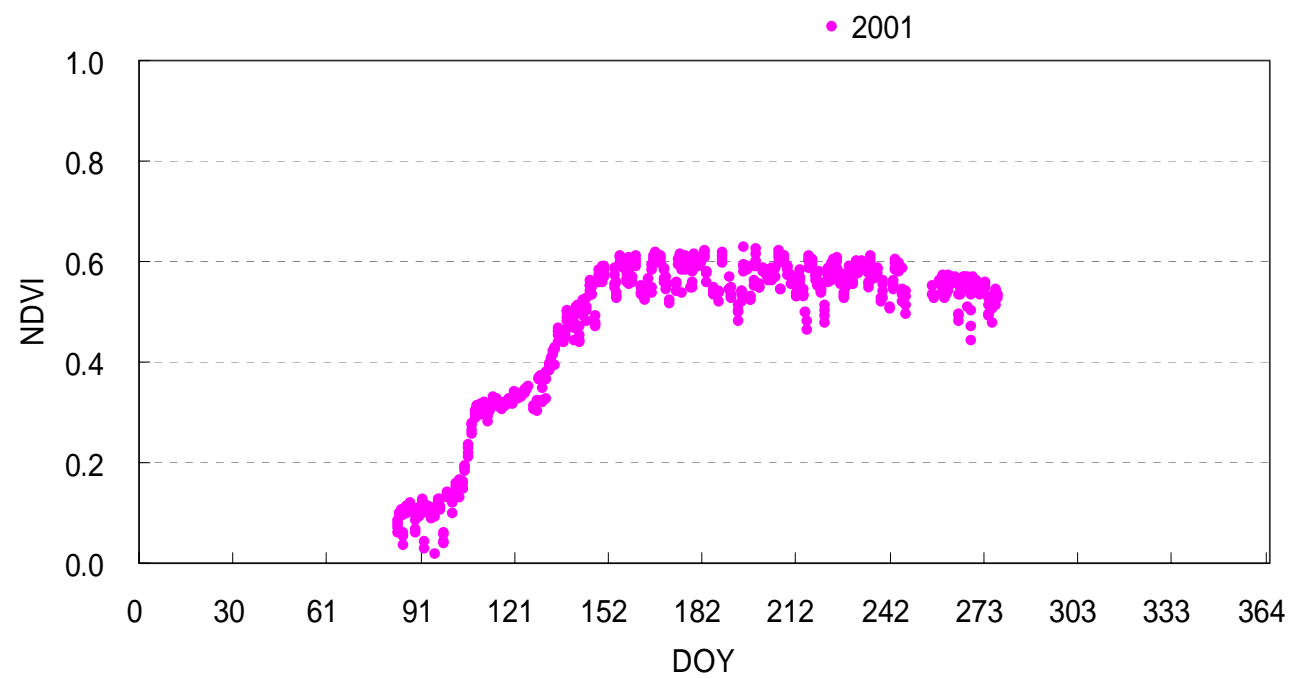
Because ecosystem is always changing!

A network of the ground sites for data collection of these purposes:

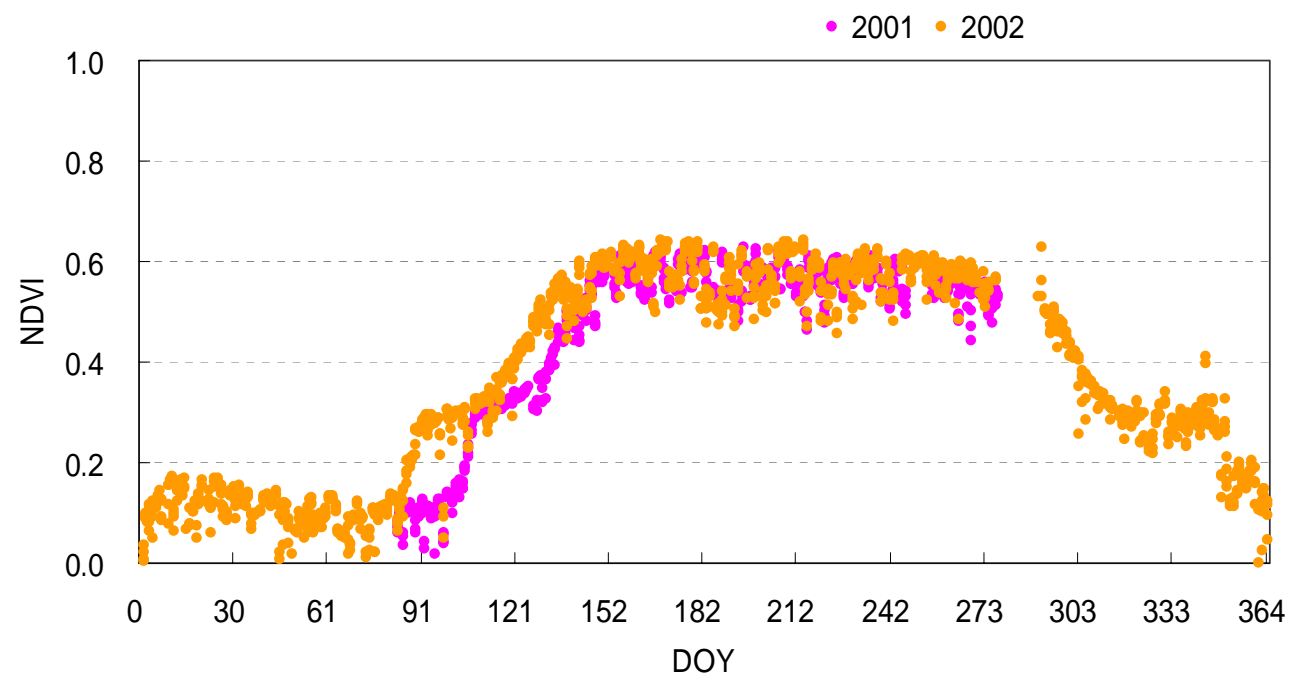
||

"*Phenological Eyes Network (PEN)*"

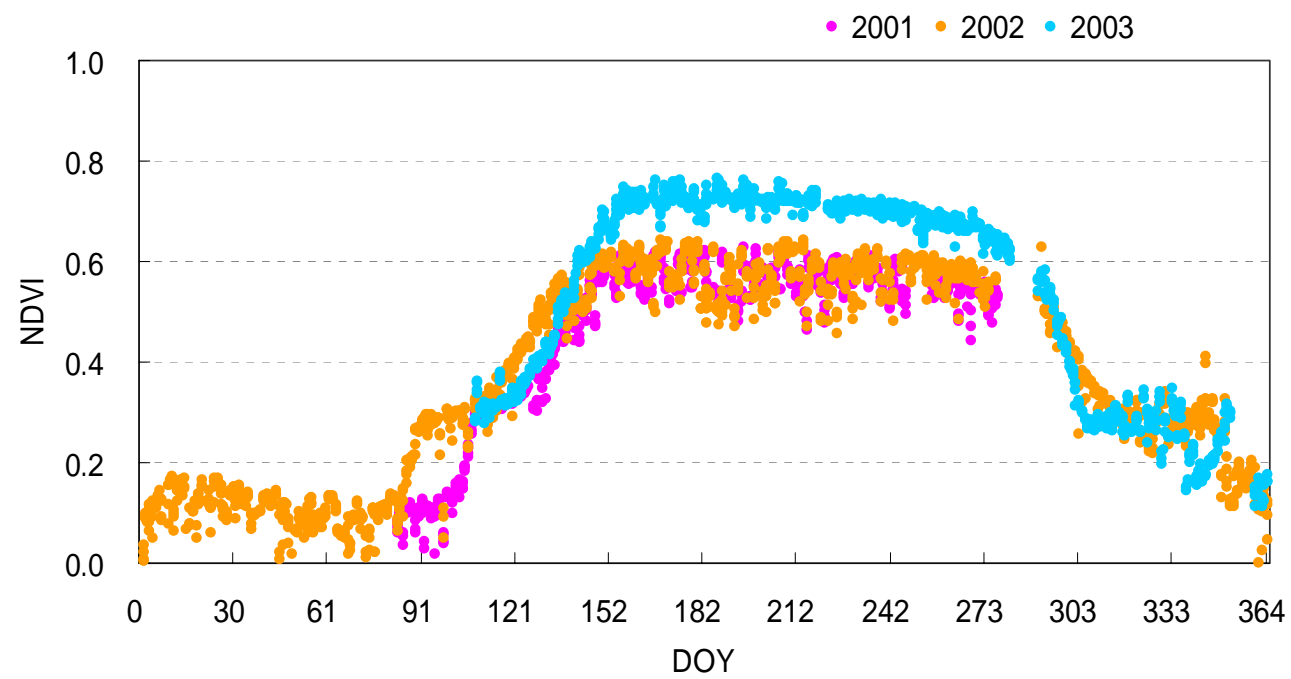
Inter-annual comparison of NDVI between 2001-2004



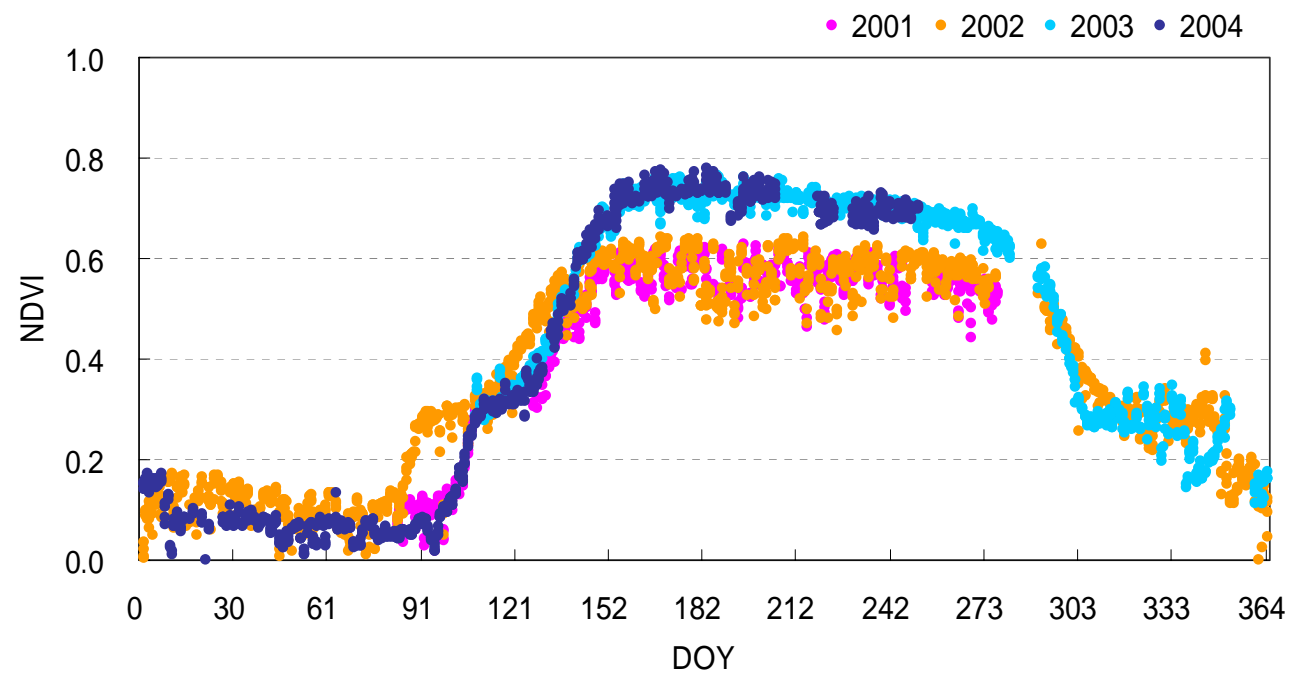
Inter-annual comparison of NDVI between 2001-2004



Inter-annual comparison of NDVI between 2001-2004

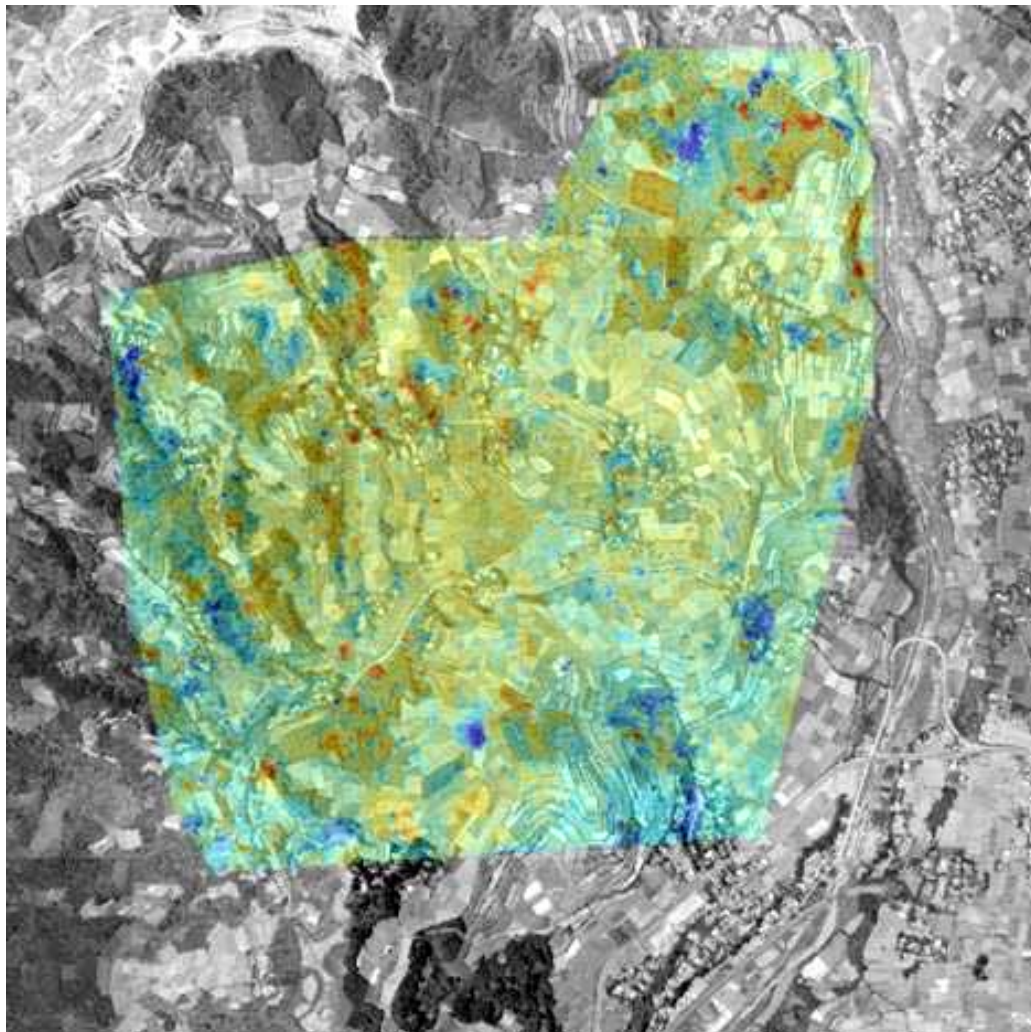


Inter-annual comparison of NDVI between 2001-2004

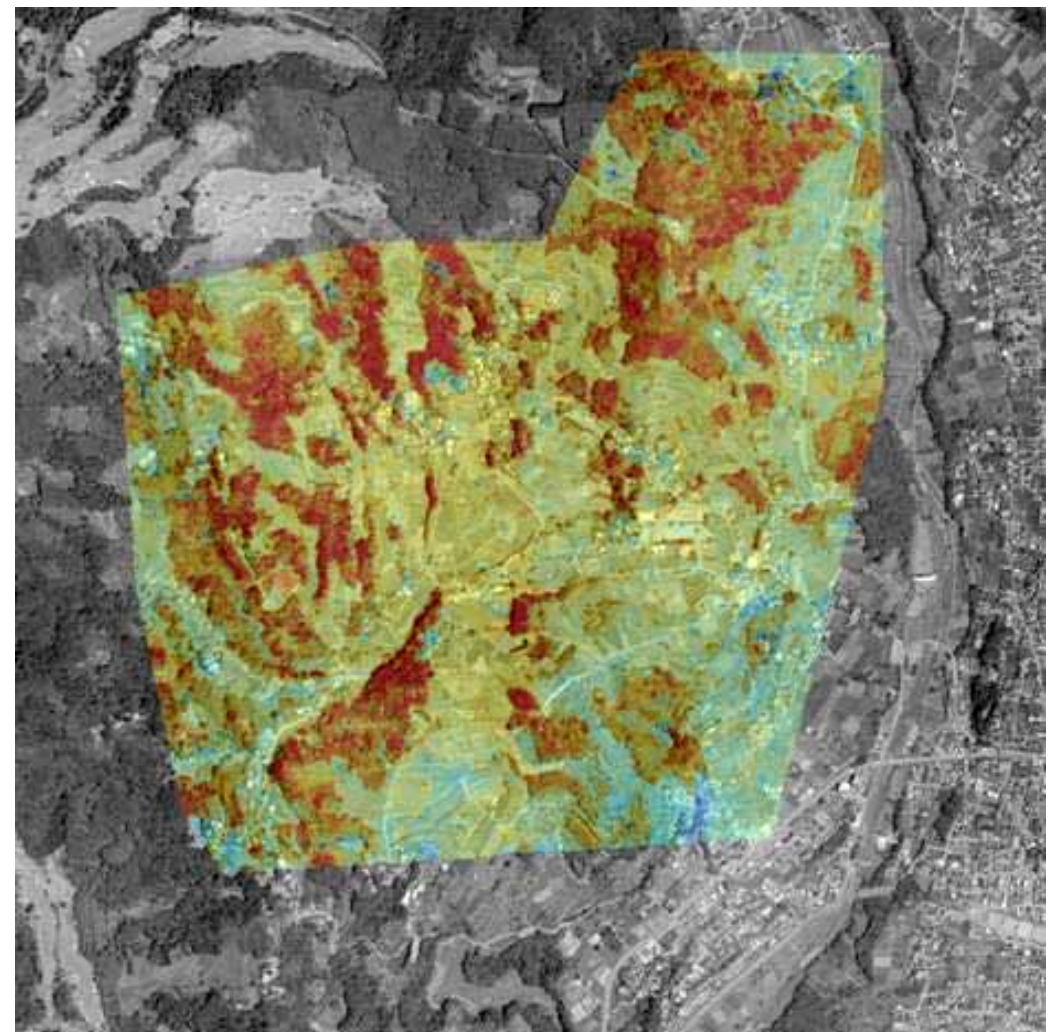


Change of DSM for 50 years

1946 1967



1967 2002



The aerial photograph in 1946 was taken by the U.S. Forces.

